

รหัสโครงการ SUT3-305-43-24-35



รายงานการวิจัย

โปรตีนเอสและทรานสกลูตามิเนสในปลาน้ำจืดเศรษฐกิจ
Proteinases and Transglutaminase in Freshwater Fish

ได้รับทุนอุดหนุนการวิจัยจาก
มหาวิทยาลัยเทคโนโลยีสุรนารี

ผลงานวิจัยเป็นความรับผิดชอบของหัวหน้าโครงการวิจัยแต่เพียงผู้เดียว

รหัสโครงการ SUT3-305-43-24-35



รายงานการวิจัย

โปรตีนเอสและทรานสกลูตามิเนสในปลาน้ำจืดเศรษฐกิจ
Proteinases and Transglutaminase in Freshwater Fish

คณะผู้วิจัย

หัวหน้าโครงการ

ผู้ช่วยศาสตราจารย์ ดร. จิรวัดน์ ยงสวัสดิกุล

สาขาวิชาเทคโนโลยีอาหาร

สำนักวิชาเทคโนโลยีการเกษตร

ได้รับทุนอุดหนุนการวิจัยจากมหาวิทยาลัยเทคโนโลยีสุรนารี

ปีงบประมาณ พ.ศ. ๒๕๔๓ - พ.ศ. ๒๕๔๔

ผลงานวิจัยเป็นความรับผิดชอบของหัวหน้าโครงการวิจัยแต่เพียงผู้เดียว

กรกฎาคม ๒๕๔๗

กิตติกรรมประกาศ

การวิจัยครั้งนี้ได้รับทุนอุดหนุนการวิจัยจากมหาวิทยาลัยเทคโนโลยีสุรนารี ปีงบประมาณ 2543-2544 ผู้วิจัยขอขอบคุณผู้ช่วยวิจัย คุณเพ็ญประภา ปิยธรรมวิบูลย์ คุณอนุศักดิ์ วรเท่า คุณวรรณภา ไหวพริบ และคุณศรัชย์ สินสุวรรณ ที่ทำงานอย่างอดทน มุมานะ จนทำให้โครงการสำเร็จ ล่วง ขอขอบคุณ คุณศรัชย์ สินสุวรรณ และ คุณจารุณี ผลมาตย์ ที่ช่วยจัดรูปเล่มของรายงาน ขอขอบคุณ คุณสุภากาญจน์ บุญอยู่ ที่ช่วยจัดทำเอกสารการเบิกจ่ายและจัดทำบัญชีเป็นที่เรียบร้อย

บทคัดย่อ

จากการศึกษาปลาน้ำจืด 8 ชนิด ได้แก่ปลานิล(*Oreochromis niloticus*) ปลายี่สกเทศ (*Labeo rohita*) ปลานวลจันทร์ (*Cirrhina microlepis*) ปลาอุกแอฟริกัน(*Clarias gariepinus*) ปลาจีน (*Hypophthalmichthys molitrix*) ปลาช่อน (*Channa striatus*) ปลาคะเพียน (*Puntius gonionotus*) และปลาไน (*Cyprinus carpio*) พบว่าปลานิลมีกิจกรรมทรานสกลูทามิเนสสูงสุดคือ 60.3 ± 0.3 unit/g muscle ส่วนปลาอุกแอฟริกันมีกิจกรรมโปรตีนเนสสูงสุด คือ 3.27 ± 0.6 μmol of tyrosine/g muscle/h รองลงมาคือปลายี่สกเทศซึ่งมีกิจกรรมโปรตีนเนส 2.03 ± 0.2 μmol of tyrosine/g muscle/h โปรตีนในกล้ามเนื้อปลานิลและปลายี่สกเทศสามารถเร่งปฏิกิริยาได้ดีที่ 65 องศาเซลเซียส การเร่งกิจกรรมการย่อยสลายกล้ามเนื้อของปลานิลเกิดสูงสุดที่พีเอช 5 และลดลงเมื่อพีเอชเพิ่มขึ้น ส่วนในปลายี่สกเทศเกิดสูงสุดในช่วงพีเอช 5.5, 7, และ 8.5 กิจกรรมการย่อยสลายโปรตีนกล้ามเนื้อปลานิลและปลายี่สกเทศเกิดสูงสุดเมื่อเติมโซเดียมคลอไรด์ที่ 0.5% และมีแนวโน้มลดลงเมื่อความเข้มข้นโซเดียมคลอไรด์เพิ่มขึ้น โปรตีนเนสในปลานิลเป็นประเภทที่ยึดติดกับกล้ามเนื้อซึ่งไม่สามารถถูกกำจัดได้ด้วยการล้าง กิจกรรมการย่อยสลายโปรตีนกล้ามเนื้อปลานิลถูกยับยั้งโดย phenylmethyl sulfonyl fluoride (PMSF), *p*-tosyl-L-lysyl-chloromethylmethyl ketone (TLCK) และ leupeptin ซึ่งบ่งชี้ว่า ซีรีนโปรตีนเอสมีบทบาทสำคัญในการย่อยสลายโปรตีนกล้ามเนื้อปลานิล ส่วน trans-epoxysuccinyl-L-leucylamido(4-guanidino)-butane (E-64) สามารถยับยั้งกิจกรรมการย่อยสลายโปรตีนกล้ามเนื้อในปลายี่สกได้สูงสุด ซึ่งแสดงถึงบทบาทของโปรตีนเอสกลุ่มซิสตีอินต่อการย่อยสลายโปรตีนกล้ามเนื้อในปลายี่สกเทศ

ค่าแรงและระยะทาง ณ จุดแตกหัก เพิ่มขึ้นเมื่อบ่มเนื้อปลานิลที่ 40 องศาเซลเซียส ($p < 0.05$) แต่ลดลงพร้อมกับปริมาณ โอลิโกเปปไทด์ที่เพิ่มขึ้นเมื่อบ่มที่ 65 องศาเซลเซียส การเติมแคลเซียมในระดับ 0.1-0.3% ร่วมกับการบ่มที่ 40 องศาเซลเซียส สามารถปรับปรุงลักษณะเนื้อสัมผัสของเจลปลานิลบดให้ดีขึ้น ($p < 0.05$) โดยตัวอย่างดังกล่าวมีการลดลงของมัชไอซินสายหลัก (MHC) ร่วมกับการเพิ่มขึ้นของโปรตีนขนาดใหญ่ (HMW) ซึ่งบ่งชี้ถึงกิจกรรมทรานสกลูทามิเนสในกล้ามเนื้อปลา ผลของเซตจึงเกิดเพียงเล็กน้อยในเจลปลายี่สกเทศ แต่เกิดการย่อยสลายโปรตีนกล้ามเนื้ออย่างเด่นชัดที่ 65 องศาเซลเซียส ลักษณะทางเนื้อสัมผัสของเจลปลานวลจันทร์ดีขึ้นเมื่อบ่มที่ 40-55 องศาเซลเซียส ($p < 0.05$) แต่แคลเซียมคลอไรด์ไม่มีผลต่อการปรับปรุงคุณภาพเจลปลานวลจันทร์ ($p > 0.05$)

จากการศึกษาผลของแคลเซียมคลอไรด์ต่อการปรับปรุงเนื้อสัมผัสของเจลปลานิลพบว่า นอกจากแคลเซียมมีผลกระตุ้นการทำงานของทรานสกลูทามิเนสในเนื้อปลาแล้ว แคลเซียมยังมีผลต่อ

รูปแบบโครงสร้าง (conformation) ของแอกโตมัยโอซินด้วย การเกาะตัว (aggregation) ของแอกโตมัยโอซินที่ 4 และ 40 องศาเซลเซียสเพิ่มขึ้นตามปริมาณแคลเซียม แรงกระทำไฮโดรโฟบิกเป็นแรงกระทำที่เด่นในการเกาะตัวของแอกโตมัยโอซินที่ 4 องศาเซลเซียส ในขณะที่ทั้งแรงกระทำไฮโดรโฟบิกและพันธะโควาเลนต์ที่ไม่ใช่พันธะไดซัลไฟด์เกี่ยวข้องกับการเกาะตัวของแอกโตมัยโอซินที่ 40 องศาเซลเซียส ปริมาณแอลฟา-เฮลิกซ์ของแอกโตมัยโอซินบ่มที่ 4 องศาเซลเซียส 24 ชั่วโมงและ 40 องศาเซลเซียส 30 นาทีลดลงเมื่อระดับการเติมแคลเซียมเพิ่มขึ้น โดยมีค่าต่ำสุดที่แคลเซียมเข้มข้น 30-50 มิลลิโมลาร์ การสูญเสียโครงสร้างทุติยภูมิเกิดขึ้นพร้อมกับการเพิ่มพื้นผิวไฮโดรโฟบิก ส่งผลให้เกิดแรงกระทำไฮโดรโฟบิกเพิ่มขึ้นระหว่างแอกโตมัยโอซิน คุณสมบัติทางเนื้อสัมผัสของแอกโตมัยโอซินเจลเพิ่มขึ้นเมื่อปริมาณแคลเซียมเพิ่มขึ้นถึง 100 มิลลิโมลาร์

Abstract

Proteolytic and transglutaminase (TGase) activities of various freshwater fish species were investigated. These species included tilapia (*Oreochromis niloticus*), rohu (*Labeo rohita*), small scale mud carp (*Cirrhina microlepis*), African catfish (*Clarias gariepinus*), silver carp (*Hypophthalmichthys molitrix*), striped snake-head fish (*Channa striatus*), common silver barb (*Puntius gonionotus*), and common carp (*Cyprinus carpio*). Tilapia contained the highest TGase activity of 60.3 ± 0.3 unit/g muscle, while African catfish contained the highest autolytic activity of 3.27 ± 0.6 μ mol of tyrosine/g muscle/h, followed by rohu of 2.03 ± 0.2 μ mol of tyrosine/g muscle/h. Optimum temperature for autolytic activity of both tilapia and rohu was at 65°C . Autolytic activity of tilapia was highest at pH 5 and decreased as pH increased. Optimum pH for autolytic activity of rohu was at pH 5.5, 7, and 8.5. Autolytic activity of both species was the highest at 0.5% NaCl and decreased as NaCl concentration increased. Proteinases in tilapia appeared to be myofibril-bound proteinases which could not be completely removed by washing. Autolytic activity of tilapia was inhibited by phenylmethyl sulfonyl fluoride (PMSF), *p*-tosyl-L-lysyl-chloromethyl ketone (TLCK), and leupeptin, indicating the involvement of serine proteinase in textural degradation of tilapia mince. In contrast, autolytic activity of rohu was somewhat inhibited by trans-epoxysuccinyl-L-leucylamido(4-guanidino)-butane (E-64), suggesting that cysteine proteinase(s) were responsible for textural degradation in rohu.

Breaking force and deformation of tilapia mince gel increased when preincubated at 40°C ($p < 0.05$), but decreased concomitantly with an increase in oligopeptides when preincubated at 65°C . Addition of 0.1-0.3% CaCl_2 in conjunction with preincubation at 40°C improved textural properties of tilapia mince gel ($p < 0.05$). In these samples, loss of myosin heavy chain (MHC) was found concomitantly with an increase in higher molecular weight proteins (HMW), suggesting the cross-linking reaction catalyzed by endogenous TGase. Setting effect appeared to be minimal in rohu mince. In contrast, proteolytic degradation was obvious at 65°C . Textural properties of small scale mud carp were improved when preincubated at 40 - 55°C ($p < 0.05$), but CaCl_2 had no effect on improving textural properties ($p > 0.05$).

Gel enhancing effect of CaCl_2 in tilapia gel was further studied. Besides activating endogenous TGase, Ca^{2+} appeared to affect actomyosin conformation. Aggregation of tilapia actomyosin increased with Ca^{2+} concentration. Hydrophobic interaction was predominant in aggregates induced at 4°C , while both hydrophobic interaction and nondisulfide covalent bondings were involved in aggregates formed at 40°C . α -Helical content of actomyosin incubated at either 4°C for 24 h or 40°C for 30 min decreased with Ca^{2+} concentration and reached the minimum at 30-50 mM CaCl_2 . Loss of secondary structure occurred in concomitant with an increased surface hydrophobicity, which in turn promoted hydrophobic interaction of actomyosin. Textural properties of actomyosin gels also increased with Ca^{2+} concentration up to 100 mM.

สารบัญ

	หน้า
กิตติกรรมประกาศ	i
บทคัดย่อภาษาไทย	ii
บทคัดย่อภาษาอังกฤษ	iv
สารบัญ	vi
สารบัญตาราง	vii
สารบัญภาพ	viii
บทนำ	1
วัตถุประสงค์	7
ขอบเขตการวิจัย	7
วิธีดำเนินการวิจัย	9
ชุดการทดลองที่ 1 กิจกรรมการย่อยสลายตัวเองและกิจกรรม ทรานสกลูทามิเนสในปลาน้ำจืดชนิดต่าง ๆ	9
ชุดการทดลองที่ 2 การย่อยสลายตัวเองของเนื้อปลานิลและปลาชี่สกเทศ	10
ชุดการทดลองที่ 3 ผลของระดับแคลเซียมต่อการเกิดเจลของปลาน้ำจืด	12
ชุดการทดลองที่ 4 ผลของแคลเซียมไอออนต่อการเปลี่ยนแปลงรูปแบบ โครงสร้างของแอคโตมัยโอซินจากปลานิล	14
ผลการวิจัย	
1. กิจกรรมการย่อยสลายตัวเองและกิจกรรมทรานสกลูทามิเนสในปลาน้ำจืด ชนิดต่าง ๆ	17
2. การย่อยสลายตัวเองของเนื้อปลานิลและปลาชี่สกเทศ	19
3. ผลของระดับแคลเซียมต่อการเกิดเจลของปลาน้ำจืด	25
4. ผลของแคลเซียมไอออนต่อการเปลี่ยนแปลงรูปโครงสร้างของ แอคโตมัยโอซินจากปลานิล	35
สรุป	48
เอกสารอ้างอิง	49
ประวัตินักวิจัย	53

สารบัญตาราง

	หน้า
ตารางที่ 1 ผลผลิตและมูลค่ารวมของปลาน้ำจืดในประเทศไทยในปี พ.ศ. 2544	1
ตารางที่ 2 กิจกรรมการย่อยสลายตัวเองและทรานกลูทามิเนสในกล้ามเนื้อปลาน้ำจืด สายพันธุ์ต่างๆ	18
ตารางที่ 3 ระดับการยับยั้งกิจกรรมการย่อยสลายโปรตีนกล้ามเนื้อโดยสารยับยั้ง โปรตีนเอสต่างๆ	24
ตารางที่ 4 กิจกรรมการย่อยสลายตัวเองและทรานกลูทามิเนสในกล้ามเนื้อปลา	26

สารบัญภาพ

	หน้า
รูปที่ 1 ผลของอุณหภูมิต่อการย่อยสลายโปรตีนกล้ามเนื้อปลานิลและปลาชี่สกเทศ	20
รูปที่ 2 ผลของพีเอชต่อการย่อยสลายโปรตีนกล้ามเนื้อปลานิลและปลาชี่สกเทศ	20
รูปที่ 3 SDS-PAGE ของโปรตีนกล้ามเนื้อปลานิล (a) และปลาชี่สกเทศ (b) บ่มที่ 65 องศาเซลเซียส เป็นเวลา 0.5-4 ชั่วโมง R = เนื้อปลาที่ไม่ได้บ่ม , S = Molecular weight standard, MHC = myosin heavy chain	21
รูปที่ 4 ปริมาณ โอลิโกเปปไทด์ที่เกิดขึ้นจากการบ่มเนื้อปลานิลและปลาชี่สกเทศที่ 65 องศาเซลเซียสเป็นเวลาต่างๆ	21
รูปที่ 5 ผลของระดับโซเดียมคลอไรด์ต่อกิจกรรมการย่อยสลายตัวเองของเนื้อปลานิลและปลาชี่สกเทศ	22
รูปที่ 6 ผลของการล้างต่อกิจกรรมการย่อยสลายโปรตีนกล้ามเนื้อในปลานิลและปลาชี่สกเทศ	23
รูปที่ 7 ค่าแรง (a) และระยะทาง (b) ณ จุดแตกหักของเจลจากเนื้อปลานิลที่ระดับการเติมแคลเซียมไอออนต่างๆ และบ่มที่อุณหภูมิต่างๆ 4C = บ่มที่ 4 องศาเซลเซียส 24 ชั่วโมง 25C = บ่มที่ 25 องศาเซลเซียส 4 ชั่วโมง 40C 55C 65C = บ่มที่ 40, 55, 65 องศาเซลเซียสตามลำดับ 1 ชั่วโมง 90C = ให้ความร้อนที่ 90 องศาเซลเซียส 30 นาที	27
รูปที่ 8 ค่าแรง (a) และระยะทาง (b) ณ จุดแตกหัก ของเจลจากเนื้อปลาชี่สกเทศที่ระดับการเติมแคลเซียมไอออนต่างๆ ตัวอักษรย่อเหมือนรูปที่ 7	29
รูปที่ 9 ค่าแรง (a) และระยะทาง (b) ณ จุดแตกหัก ของเจลจากเนื้อปลานวลจันทร์ที่ระดับการเติมแคลเซียมไอออนต่างๆ ตัวอักษรย่อเหมือนรูปที่ 7	30
รูปที่ 10 ปริมาณ โอลิโกเปปไทด์ในเจลเนื้อปลาชนิดต่างๆ ที่ไม่ได้เติมแคลเซียม ไอออน และบ่มที่อุณหภูมิต่างๆ	31

สารบัญภาพ (ต่อ)

	หน้า
รูปที่ 11 SDS-PAGE ของเจลโปรตีนจากปลานิล (a) ปลาอีตงเทศ (b) และปลานวลจันทร์ (c) บ่มที่อุณหภูมิต่างๆ S = standard molecular weight, P = paste, 4-65 = อุณหภูมิในการบ่มก่อนให้ความร้อนที่ 90 องศาเซลเซียส, 90 = ตัวอย่างให้ความร้อนที่ 90 องศาเซลเซียส โดยไม่ได้บ่ม, MHC = myosin heavy chain	33
รูปที่ 12 SDS-PAGE (5% acylamide) ของเจลปลานิลที่เติมแคลเซียมในระดับ 0 - 0.3% และบ่มที่ 40 องศาเซลเซียส 1 ชั่วโมง และให้ความร้อนที่ 90 องศาเซลเซียส 30 นาที (a) และไม่ได้บ่มโดยให้ความร้อนที่ 90 องศาเซลเซียส 30 นาที (b) S = Standard molecular weight, 0 - 0.3 = ระดับการเติมแคลเซียมเป็น %, MHC = Myosin heavy chain, HMP = high molecular weight protein	34
รูปที่ 13 ผลของระดับแคลเซียมต่อการละลายของแอคโตมัยโอซินปลานิล N = Negative control (เติม EGTA), C = control, 10-100 = ความเข้มข้นของแคลเซียมในหน่วยมิลลิโมลาร์	36
รูปที่ 14 การเปลี่ยนแปลงค่าความขุ่นของสารละลายแอคโตมัยโอซินปลานิลบ่มที่ 40 องศาเซลเซียส 30 นาที ที่ระดับแคลเซียม 0 - 100 มิลลิโมลาร์	36
รูปที่ 15 SDS-PAGE ของสารละลายแอคโตมัยโอซินปลานิล ในสารละลายโซเดียมคลอไรด์เข้มข้น 0.4 โมลาร์และอิมิดาโซลบัฟเฟอร์เข้มข้น 10 มิลลิโมลาร์ บ่มที่ความเข้มข้นแคลเซียม 10 มิลลิโมลาร์ (a), 20 - 40 มิลลิโมลาร์ (b), 50 - 100 มิลลิโมลาร์ (c) S = standard molecular weight, N = megateive control (+EGTA), C = control, 10 - 100 = ความเข้มข้นของแคลเซียมในหน่วย มิลลิโมลาร์และไม่มีกรบ่ม, 10H - 100H = ตัวอย่างซึ่งมีแคลเซียมและบ่มที่ 40 องศาเซลเซียส 30 นาที	37
รูปที่ 16 SDS-PAGE ของสารละลายแอคโตมัยโอซินปลานิล ในสารละลายโซเดียมคลอไรด์เข้มข้น 0.4 โมลาร์และอิมิดาโซลบัฟเฟอร์เข้มข้น 10 มิลลิโมลาร์ บ่มที่ความเข้มข้นแคลเซียมไอออน 70 มิลลิโมลาร์ (a), 100 มิลลิโมลาร์ (b) S = standard molecular weight, C = control, 0.5 - 4 = เวลาในการบ่มที่ 40 องศาเซลเซียสมีหน่วยเป็นชั่วโมง	38

สารบัญภาพ (ต่อ)

	หน้า
รูปที่ 17 SDS-PAGE ของสารละลายแอกโตมัยโอซินปลานิล ในสารละลายโซเดียมคลอไรด์เข้มข้น 0.4 โมลาร์และอิมิดาโซลบัฟเฟอร์เข้มข้น 10 มิลลิโมลาร์บ่มที่ความเข้มข้นแคลเซียม 100 มิลลิโมลาร์ (C) และมีสารยับยั้งทรานกลูตามิเนส, NEM และ PMSF โดยบ่มที่ 40 องศาเซลเซียส 2 ชั่วโมง S = standard molecular weight	39
รูปที่ 18 รูปแบบ SDS-PAGE ของสารละลายแอกโตมัยโอซินบ่มที่ 40 องศาเซลเซียส 2 ชั่วโมง ในภาวะที่ไม่เติมแคลเซียม (a) และ แคลเซียม 100 มิลลิโมลาร์และละลายในสารละลาย SDS เข้มข้น 3 – 10% และ SDS เข้มข้น 5% + BME เข้มข้น 2%, S = standard molecular weight, C = ตัวอย่างที่ไม่ได้ละลายใน SDS	40
รูปที่ 19 รูปแบบ SDS-PAGE ของสารละลายแอกโตมัยโอซินปลานิล ในสารละลายโซเดียมคลอไรด์เข้มข้น 0.4 โมลาร์และอิมิดาโซลบัฟเฟอร์เข้มข้น 10 มิลลิโมลาร์โดยไม่มีแคลเซียม (a) และ แคลเซียมเข้มข้น 100 มิลลิโมลาร์ (b) บ่มที่ 4 องศาเซลเซียสเป็นระยะเวลา 0-24 ชั่วโมง 0-24 = ตัวอย่างบ่มเป็นเวลาต่างๆ และผสมกับ treatment buffer, sds0 - sds24 = ตัวอย่างที่ละลาย SDS เข้มข้น 5% ก่อนผสม treatment buffer, S = standard molecular weight	42
รูปที่ 20 การเปลี่ยนแปลงค่าพื้นผิวไฮโดรโฟบิกของแอกโตมัยโอซินปลานิลที่ระดับแคลเซียมต่างๆ และบ่มที่ 4 องศาเซลเซียส (a) และ 40 องศาเซลเซียส (b) เป็นระยะเวลาต่างๆ	43
รูปที่ 21 CD spectra ของแอกโตมัยโอซินปลานิลที่แคลเซียมระดับต่างๆ ที่ 4 องศาเซลเซียส (a) และเมื่อบ่มที่ 40 องศาเซลเซียส 30 นาที (b)	45
รูปที่ 22 การเปลี่ยนแปลงโครงสร้างเฮลิกซ์ของแอกโตมัยโอซินที่ระดับแคลเซียมและสภาวะการบ่มต่างๆ	46
รูปที่ 23 ค่าแรง (a) และระยะทาง ณ จุดแตกหัก (b) ของเจลแอกโตมัยโอซินปลานิลที่ระดับการเติมแคลเซียมและสภาวะในการบ่ม	47

บทที่ 1

บทนำ

ความสำคัญ ที่มาของปัญหาที่ทำการวิจัยและทบทวนเอกสารที่เกี่ยวข้อง

ประเทศไทยมีอัตราการขยายตัวการเพาะเลี้ยงสัตว์น้ำตั้งแต่ปี พ.ศ. 2526-2536 ประมาณร้อยละ 10.85 (www.fao.org) ซึ่งนับเป็นประเทศที่มีการขยายตัวของการเพาะเลี้ยงปลาน้ำจืดในระดับสูงรองจากประเทศเวียดนาม (ร้อยละ 15.97) และประเทศจีน (ร้อยละ 13.86) ในปี 2544 มูลค่าผลผลิตปลาน้ำจืดของประเทศคิดเป็น 279,696 ตัน คิดเป็นมูลค่า 9.3 พันล้านบาท (www.fisheries.go.th) โดยปลาที่มีผลผลิตและมูลค่าสูง ได้แก่ ปลานิล ปลาดุก ปลาตะเพียน ปลาสลิคและปลาสรวย ดังรายละเอียดในตารางที่ 1.

ตารางที่ 1 ผลผลิตและมูลค่ารวมของปลาน้ำจืดในประเทศไทยในปี พ.ศ. 2544

ชนิดของปลา	ผลผลิตรวม (ตัน)	มูลค่า (ล้านบาท)
ปลานิล (Nile tilapia)	84,480	2,269,588
ปลาดุก (Walking catfish)	77,905	2,032,625
ปลาตะเพียน (Thai silver carp)	42,152	1,119,297
ปลาสลิค (Nake skin gourami)	22,519	898,385
ปลาสรวย (Striped catfish)	14,638	215,691
ปลาช่อน (Striped snake-head)	6,830	345,610
ปลาไน (Common carp)	4,773	146,659
ปลาชี่สกเทศ (Rohu)	1,610	44,525
ปลาแรด (Giant gourami)	1,167	65,380
ปลานวลจันทร์ (Small scale mud carp)	799	17,007
ปลาหมอไทย (Common climbing perch)	403	16,428

ที่มา: กรมประมง (www.fisheries.go.th)

นอกจากปลานิลซึ่งมีการส่งออกในรูปปลาแช่แข็งแล้ว ปลาน้ำจืดชนิดอื่นมักนิยมบริโภคภายในประเทศ โดยบริโภคในครัวเรือน และไม่มีการใช้ประโยชน์ในเชิงอุตสาหกรรมมากนัก ดังนั้นความต้องการปลาน้ำจืดของตลาดภายในประเทศจึงไม่แน่นอน ปลาน้ำจืดจึงมีมูลค่าต่ำ อย่างไรก็ตามหากมีการใช้ประโยชน์จากปลาน้ำจืดเพื่อเป็นวัตถุดิบในระดับอุตสาหกรรม ความต้องการปลาน้ำจืดจะเพิ่มขึ้น เป็นผลให้ราคามีเสถียรภาพมากขึ้น

โปรตีนจากกล้ามเนื้อปลาสามารถแบ่งออกเป็นประเภทใหญ่ ๆ ได้ 3 ประเภท คือ

1. มัยโอไฟบริลลาร์ (Myofibrillar proteins) คือ โปรตีนโครงสร้างหลักของกล้ามเนื้อซึ่งมีหน้าที่เกี่ยวข้องกับการเคลื่อนไหวของกล้ามเนื้อ ในกล้ามเนื้อปลาโดยทั่วไปมีโปรตีนมัยโอไฟบริลลาร์คิดเป็นร้อยละ 70-79 ของปริมาณโปรตีนทั้งหมดในกล้ามเนื้อ (Lanier, 2000) โปรตีนในกลุ่มนี้ประกอบไปด้วย มัยโอซิน (myosin) แอกติน (actin) โทรโปมัยโอซิน (tropomyosin) โทรโปนิน (troponin) เป็นต้น โปรตีนมัยโอไฟบริลลาร์ไม่ละลายน้ำ แต่ละลายในสารละลายเกลือที่มีความเข้มข้นของไอออน (ionic strength) สูงคือที่ความเข้มข้นของโซเดียมคลอไรด์ร้อยละ 1-8 โปรตีนโปรตีนเหล่านี้ไม่ละลายในน้ำหรือสารละลายที่มีความเข้มข้นไอออนต่ำ (ร้อยละ 0.05-0.5) โปรตีนมัยโอไฟบริลลาร์มีโครงสร้างเป็นเส้นใย (fibrous) และเป็นโปรตีนที่มีความสามารถในการเกิดเจล ซึ่งเป็นการเรียงตัวอย่างมีระเบียบของโปรตีนเกิดเป็นโครงร่าง 3 มิติ ทำให้มีความสามารถในการอุ้มน้ำ และเกิดเนื้อสัมผัสหลากหลาย นอกจากนี้โปรตีนมัยโอไฟบริลลาร์ยังมีความสามารถในการเป็นอิมัลซิไฟเออร์ (emulsifier) โปรตีนหลักที่มีความสามารถในการเกิดเจลคือมัยโอซิน

2. โปรตีนซาร์โคพลาสติก (Sarcoplasmic proteins) โปรตีนในกลุ่มนี้เป็นโปรตีนที่ละลายน้ำหรือละลายในสารละลายความเข้มข้นไอออนต่ำ โดยทั่วไปกล้ามเนื้อปลาประกอบด้วยโปรตีนซาร์โคพลาสติกร้อยละ 18-25 ของปริมาณโปรตีนทั้งหมด โปรตีนซาร์โคพลาสติกเป็นโปรตีนที่มีรูปร่างกลม (globular proteins) และประกอบไปด้วยโปรตีนชนิดต่างๆ เช่น ฮีม (heme) และเอนไซม์ต่างๆ ในกล้ามเนื้อเช่น เอนไซม์ในกลุ่มโปรตีนเอส (proteinases) เอนไซม์ทรานสกลูตามิเนส (transglutaminase) เป็นต้น

3. โปรตีนสโตรมา (Stroma proteins) คือ โปรตีนเนื้อเยื่อเกี่ยวพัน (connective tissue) เป็นโปรตีนที่ไม่ละลายน้ำและสารละลายเกลือ แต่สามารถละลายได้ในสภาวะที่มีความเป็นกรด-ด่างสูง โปรตีนสโตรมาไม่มีบทบาทต่อการเกิดเจล ในกล้ามเนื้อมีองค์ประกอบของโปรตีนสโตรมาประมาณร้อยละ 3-5 ของปริมาณโปรตีนทั้งหมด คอลลาเจนเป็นโปรตีนสำคัญในกลุ่มนี้

การเกิดเจลเป็นคุณสมบัติเชิงหน้าที่ (functionality) ที่สำคัญประการหนึ่งของโปรตีนกล้ามเนื้อปลา คุณสมบัติภายใน (intrinsic properties) ของโปรตีนกล้ามเนื้อ เช่น ปริมาณเอนไซม์ในโปรตีนซาร์

โคพลาสติก จะแตกต่างกันตามแต่ชนิดของปลา ดังนั้นองค์ความรู้เกี่ยวกับเอนไซม์โปรตีนเอสและทรานสกลูตามิเนสในกล้ามเนื้อปลา จะทำให้เกิดการใช้ประโยชน์จากในปลาน้ำจืดได้เหมาะสมและสูงสุด และยังสามารถปรับปรุงคุณภาพของเจลปลาน้ำจืดได้อย่างเป็นระบบ อันจะเป็นการเพิ่มมูลค่าของปลาน้ำจืดต่อไป

เอนไซม์โปรตีนเอส (Proteinases)

โปรตีนเอสเป็นเอนไซม์ที่เร่งปฏิกิริยาการย่อยสลายโปรตีน ซึ่งสามารถจำแนกประเภทตามตำแหน่งของพันธะเปปไทด์ที่ย่อยสลาย (hydrolyse) ได้ 2 ประเภทคือ เอนโดโปรตีนเอส (endoproteinase) และ เอกโซโปรตีนเอส (exoproteinases) โดยเอนโดโปรตีนเอสนั้นจะเร่งปฏิกิริยาการย่อยสลายเปปไทด์ที่อยู่ในสายโปรตีนทำให้เกิดเปปไทด์สายสั้น (oligopeptides) ในขณะที่เอกโซโปรตีนเอสจะสลายพันธะเปปไทด์ที่อยู่ด้านนอกของสายโปรตีนได้ผลิตภัณฑ์เป็นกรดอะมิโน เอนโดโปรตีนเอสเป็นเอนไซม์ที่มีผลกระทบต่อคุณสมบัติในการเกิดเจลของโปรตีนกล้ามเนื้อโดยตรง เมื่อสายโปรตีนกล้ามเนื้อถูกย่อยสลายเกิดเป็นเปปไทด์สายสั้น ความสามารถในการเกิดเจลย่อมลดลง เอนโดโปรตีนเอสสามารถจำแนกออกเป็น 4 ประเภทตามชนิดของกรดอะมิโนที่ active site ของเอนไซม์ ได้แก่ ซีรีน (serine) ซิสทีอีน (cysteine) แอสพาติก (aspartic) และเมธาทาลโล (metallo) โปรตีนเอส นอกจากนี้ยังสามารถแบ่งประเภทของโปรตีนเอสตามค่าพี-เอช ที่เหมาะสมต่อการเร่งปฏิกิริยาได้เป็น acid, netural และ alkaline proteinase ซึ่งคือโปรตีนเอสที่สามารถเร่งปฏิกิริยาในสภาวะที่เป็นกรด เป็นกลาง และเป็นด่าง ตามลำดับ

Acid proteinases โปรตีนเอสประเภทนี้อยู่ในส่วนของไลโซโซม (lysosome) ของเซลล์ ซึ่งมีชื่อโดยรวมว่าคาเทพซิน (cathepsins) เอนไซม์กลุ่มนี้ทำหน้าที่ย่อยสลายโปรตีนภายในเซลล์ มีรายงานการพบเอนไซม์ประเภทนี้ในกล้ามเนื้อปลาหลายชนิด ปลาชาลมอนในระยะวางไข่มีกิจกรรมของเอนไซม์ในกลุ่มคาเทพซิน-บี (B) คาเทพซิน-ดี (D) คาเทพซิน-เอช (H) และ คาเทพซิน-แอล (L) สูงกว่าในช่วงปกติ (Yamashita and Konagaya 1990b; Yamashita and Konagaya, 1991) คาเทพซิน-บี จัดเป็นซิสทีอีน โปรตีนเอสเนื่องจากมีกรดอะมิโนซิสทีอีนที่บริเวณเร่งปฏิกิริยา (active site) เอนไซม์นี้สามารถเร่งปฏิกิริยาได้ดีในช่วงพี-เอช 5.5-6 และที่พบในปลาไน (carp) ปลากระบอก (grey mullet) และปลานิล (tilapia) มีขนาดประมาณ 23-29 กิโลดาลตัน (Makinodan et al., 1971; Sherekar et al., 1988) เอนไซม์คาเทพซิน-บีในปลาแปซิฟิกไวท์คิง (Pacific whiting) มีกิจกรรมลดลงเมื่อล้างกล้ามเนื้อปลาด้วยน้ำ (An et al., 1994) ดังนั้นจึงสันนิษฐานว่าเอนไซม์นี้น่าจะอยู่ในส่วนของเหลวซาร์โคพลาสติก (sarcoplasmic fluid)

คาเทพซิน-ดี เป็นเอนไซม์ที่เชื่อว่ามียับยั้งสำคัญต่อการเสื่อมสลายของโปรตีนกล้ามเนื้อขณะแช่เย็น เอนไซม์นี้มีกรดอะมิโนแอสพาติกที่บริเวณเร่งปฏิกิริยา (active site) และสามารถเร่งปฏิกิริยาได้ดีที่

ค่าพี-เอช 3-4.5 มีรายงานว่าคาเทพซิน-ดี สามารถย่อยสลายไททิน (titin) คอนเนคติน (connectin) โปรตีน-ซี (C-protein) โปรตีน-เอ็ม (M-protein) และมายโอซิน (myosin) ได้ดี และสลายโปรตีนแอกติน (actin) โทรโปนิน-ที (troponin-T) โทรโปนิน-ไอ (troponin-I) และโทรโปมายโอซิน (tropomyosin) ในอัตราที่ช้ากว่า เอนไซม์นี้สามารถถูกยับยั้งได้โดย pepstatin ซึ่งเป็นสารยับยั้งจำเพาะสำหรับแอซิดโปรตีนเอส อย่างไรก็ตามมีรายงานว่าคาเทพซิน-ดีไม่ใช่ออนไซม์ที่มีบทบาทสำคัญต่อการเสื่อมสลายของโปรตีนกล้ามเนื้อในระหว่างการเกิดเจล เนื่องจากกิจกรรมของเอนไซม์ลดลงที่ค่าพี-เอชที่เป็นกลาง (Kang and Lanier, 2000)

คาเทพซิน-เอช เป็นเอนโดโปรตีนเอสที่มีซิสตีอินที่บริเวณเร่ง และสามารถแสดงกิจกรรมของอะมิโนเปปติเดส (aminopeptidase) ซึ่งจัดเป็นเอกโซเปปติเดสได้อีกด้วย คาเทพซิน-เอช มีขนาดโมเลกุลประมาณ 28 กิโลดาลตัน และสามารถเร่งปฏิกิริยาได้ดีที่พี-เอช 7 Schwartz and Bird (1977) รายงานว่าคาเทพซิน-เอช สามารถเร่งปฏิกิริยาการย่อยสลายมายโอซินได้เร็วกว่าคาเทพซิน-บี 2-3 เท่า นอกจากนี้ An et al. (1994) รายงานว่าพบกิจกรรมของคาเทพซิน-เอชในเนื้อปลาแปซิฟิกไวท์ดิง สูงสุดที่ 20 องศาเซลเซียส อย่างไรก็ตามหลังกระบวนการล้าง ตรวจไม่พบกิจกรรมของเอนไซม์ดังกล่าว เนื่องจากคาเทพซิน-เอชแสดงค่ากิจกรรมที่อุณหภูมิที่ค่อนข้างต่ำ (25-30 องศาเซลเซียส) ดังนั้นเอนไซม์นี้อาจไม่มีบทบาทต่อการเสื่อมสลายของเจล เนื่องจากการเกิดเจลของโปรตีนกล้ามเนื้อปลาจำเป็นต้องได้รับการเหนี่ยวนำโดยความร้อน

คาเทพซิน-แอล จัดเป็นเอนโดโปรตีนเอสที่สามารถย่อยสลายมายโอซินในอัตราที่เร็วกว่าคาเทพซิน-บีประมาณ 10 เท่า (Schwartz and Bird, 1977) เอนไซม์นี้มีหลายไอโซฟอร์ม (isoform) โดยมีค่าพี-ไอประมาณ 3.0-6.5 และสามารถเร่งปฏิกิริยาในช่วงค่าพี-เอชที่กว้างประมาณ 3.0-6.5 (Kang and Lanier, 2000) คาเทพซิน-แอลถูกยับยั้งโดย ไอโอโดอะซีเตท (iodoacetate) ลูเปปทิน (leupeptin) และ แอนติเพน (antipain) แต่ไม่ถูกยับยั้งโดย เพปสตาติน (pepstatin) และ ฟีนิลมีเทนซัลโฟนิลฟลูออไรด์ (phenylmethane sulfonyl fluoride) นอกจากนี้คาเทพซิน-แอล สามารถถูกกระตุ้นได้ด้วยสารประกอบที่มีหมู่ซัลไฟไฮดริล (sulfhydryl group) เช่น ซีสตีอิน (cysteine) เบต้า-เมอแคปโทเอทานอล (β -mercaptoethanol) คาเทพซิน-แอลเป็นเอนไซม์ที่มีบทบาทต่อการเสื่อมสลายของเนื้อปลาชาลมอนในช่วงระยะหลังวางไข่ ทำให้เกิดลักษณะเนื้อสัมผัสที่ยุ่ยละ (Yamashita and Konagaya, 1990a) นอกจากนี้ An et al. (1994) คาเทพซิน-แอล เป็นเอนไซม์หลักที่ทำให้เกิดเนื้อสัมผัสยุ่ยละในเนื้อปลาและซูริมิจากปลาแปซิฟิกไวท์ดิง เอนไซม์นี้ถูกกำจัดออกไม่หมดขั้นตอนการล้าง คาเทพซิน-แอลจากปลาแปซิฟิกไวท์ดิง มีขนาดประมาณ 28.8 กิโลดาลตัน สามารถเร่งปฏิกิริยาได้สูงสุดที่ 55 องศาเซลเซียส ที่ค่าพี-เอช 5.5 แต่ก็สามารถย่อยสลายโปรตีนมายโอไฟบริลลาร์ได้ที่ค่าพี-เอชที่เป็นกลาง (Seymour et al., 1994)

Neutral proteinases คือเอนไซม์ในกลุ่มคาลเพน (calpain) ซึ่งสามารถย่อยสลายมัดโอซินและแอกตินในสภาวะที่พี-เอชเป็นกลาง และจำเป็นต้องมีแคลเซียมไอออนเป็นตัวกระตุ้น คาลเพนจัดเป็นเอนไซม์ที่มีบทบาทสำคัญต่อการย่อยสลายโปรตีนกล้ามเนื้อ โดยเฉพาะเดสมิน (desmin) นิบูลิน (nebulin) และไททิน (titin) ส่งผลให้เกิดการเสื่อมสลายของ Z-disk และเนื้อนุ่มขึ้น (tenderization) สามารถพบคาลเพนได้ในปลานิล (tilapia) และปลาไน (carp) (Jiang et al., 1991; Toyohara and Makinodan, 1989) และเนื่องจากเอนไซม์สามารถเร่งปฏิกิริยาได้ที่อุณหภูมิต่ำ (4 องศาเซลเซียส) คาลเพนจึงอาจมีบทบาทต่อการเสื่อมสลายของโปรตีนกล้ามเนื้อในช่วงระยะเวลาเริ่มต้นของการเก็บปลา คาลเพนถูกยับยั้งโดย Zn^{2+}

Alkaline proteinases คือเอนไซม์ที่เร่งปฏิกิริยาได้ดีในช่วงค่าพี-เอชที่เป็นด่าง (7.7-8.1) สามารถเร่งปฏิกิริยาได้ดีที่อุณหภูมิค่อนข้างสูง (60-65 องศาเซลเซียส) เอนไซม์ประเภทนี้จะฝังตัวติดกับโปรตีนกล้ามเนื้อ โดยเฉพาะมัดโอซินและแอกติน ดังนั้นจึงเป็นเอนไซม์ที่ก่อให้เกิดปัญหาเนื้อเยื่อและได้มากกว่าเอนไซม์ในกลุ่มคาเซพซิน ซึ่งถูกจำกัดอยู่เฉพาะในส่วนของไลโซโซม (lysosome) Makinodan et al. (1985) รายงานว่า alkaline proteinase เป็นเอนไซม์หลักที่ทำให้เกิดเนื้อสัมผัสขุ่นและในเจลที่เตรียมจากปลา croaker เมื่อสกัด alkaline proteinase จากปลาไน (carp) พบว่าเอนไซม์นี้มีขนาด 780 กิโลดาลตัน (Iwata et al., 1974) ในขณะที่ alkaline proteinase ที่สกัดได้จากกล้ามเนื้อปลา croaker แสดงกิจกรรมได้สูงสุดที่พี-เอช 8 และประกอบด้วย 4 หน่วยย่อย (subunit) ซึ่งแต่ละหน่วยย่อยมีขนาดประมาณ 45-57 กิโลดาลตัน (Makinodan et al., 1985) เนื่องจากมีหลายหน่วยย่อยเอนไซม์จึงไม่มีเสถียรภาพที่อุณหภูมิสูง และสามารถแสดงกิจกรรมได้สูงสุดที่ 50 องศาเซลเซียส ซึ่งเป็นค่าที่ต่ำกว่า alkaline proteinase ที่พบในปลาชนิดอื่น นอกจากนี้ Choi et al. (1999) ทำบริสุทธิ์ (purify) alkaline proteinases จากกล้ามเนื้อปลา Atlantic menhaden ซึ่งพบเอนไซม์ 2 รูปแบบที่มีขนาด 707 และ 450 กิโลดาลตัน และสามารถเร่งปฏิกิริยาได้ดีที่ค่าพี-เอช 8.0 ที่ 55 องศาเซลเซียส และมีคุณสมบัติคล้ายเอนไซม์ทริปซิน เอนไซม์ทั้งสองนี้สามารถเร่งปฏิกิริยาแม้ว่าจะมีเกลือโซเดียมคลอไรด์ ดังนั้นเอนไซม์นี้จึงน่าที่จะเป็นสาเหตุของการเกิดเนื้อเยื่อและของเจล การเกิดเนื้อเยื่อและในปลาทรายแดงก็มีสาเหตุมาจาก alkaline proteinase ซึ่งสามารถย่อยสลายมัดโอซินสายหลัก (myosin heavy chain) ในสภาวะที่มีเกลือได้ (Toyohara et al., 1990)

จะเห็นได้ว่าการศึกษาเอนไซม์โปรตีนในเนื้อปลานั้น ส่วนใหญ่เป็นงานวิจัยจากต่างประเทศที่ศึกษาในปลาทะเล อาจมีปลาน้ำจืดบ้างแต่ไม่มากนัก ยังไม่มีการศึกษาถึงปัญหาเอนไซม์โปรตีนในปลาน้ำจืดที่เพาะเลี้ยงในประเทศไทย หากมีการศึกษาในประเด็นดังกล่าว จะทำให้เกิดความเข้าใจต่อการเกิดเจลของปลาน้ำจืดเพิ่มขึ้น ซึ่งจะเป็นแนวทางการพัฒนาผลิตภัณฑ์และการใช้ประโยชน์จากปลาน้ำจืด

เอนไซม์ทรานสกลูตามิเนส (Transglutaminase, TGase)

ทรานสกลูตามิเนสเป็นเอนไซม์ในกลุ่ม ทรานสเฟอเรส (transferase) ที่มีชื่อตามระบบว่า protein-glutamine γ -glutamyl transferase (EC 2.3.2.13) ซึ่งเร่งปฏิกิริยาการเคลื่อนย้ายกลุ่มเอซิล (acyl transfer reaction) ซึ่งปฏิกิริยาดังกล่าวจะต้องมีสารตั้งต้นที่ให้กลุ่มเอซิล (acyl donor) และสารตั้งต้นที่รับกลุ่มเอซิล (acyl acceptor) สารที่ให้กลุ่มเอซิลคือ กลุ่ม γ -carboxyamide ของกลูตามีนบนสายโปรตีนหรือเปปไทด์ ส่วนสารที่รับกลุ่มเอซิลคือเอมีนปฐมภูมิ (primary amine) หากเกิดปฏิกิริยาระหว่างกลูตามีนและไลซีนซึ่งมีกลุ่มอะมิโนที่ตำแหน่งเอพซิลอน (ϵ -amino) ของสายโปรตีน จะทำให้เกิดการเชื่อมโยงของสายโปรตีนทั้งภายในโมเลกุลของโปรตีน (intra-molecular crosslinking) และระหว่างสายโปรตีน (inter-molecular crosslinking) เกิดพันธะไอโซเปปไทด์ (isopeptide) ที่เรียกว่า ϵ -(γ -glutamyl)lysine ซึ่งเป็นพันธะโควาเลนต์ การเพิ่มจำนวนพันธะดังกล่าวในเจลโปรตีน จะทำให้ลักษณะเนื้อสัมผัสมีความยืดหยุ่นดีขึ้น

ทรานสกลูตามิเนสมีหลายชนิด แบบที่ 1 (type I) เอนไซม์จับอยู่กับ membrane ของไลโซโซมหรือไมโทคอนเดรีย (mitochondria) ดังนั้นในการสกัดเอนไซม์ส่วนนี้อาจหลุดออกมาไม่หมด เอนไซม์แบบที่ 2 (type II) อยู่ในส่วนของ cytosol ซึ่งสามารถละลายออกมาได้เมื่อสกัด ขนาดของเอนไซม์จะแตกต่างกันตามแหล่ง เช่นทรานสกลูตามิเนสจากคัตหมูตะเภ่าเป็นเปปไทด์สายเดี่ยว (monomer) มีขนาด 75-80 กิโลดาลตัน ในขณะที่ทรานสกลูตามิเนสจากเชื้อรา *Physarum polycephalum* มี 2 หน่วยย่อย (subunit) ซึ่งมีขนาด 77 กิโลดาลตัน ส่วน plasma factor XIII ซึ่งจัดเป็นรูปหนึ่งของทรานสกลูตามิเนสมี 4 หน่วยย่อย และมีขนาด 300-350 กิโลดาลตัน (Ashie and Lanier 2000) ทรานสกลูตามิเนสที่พบในปลาเป็นเอนไซม์ที่ประกอบด้วยโปรตีนสายเดี่ยว (monomer) และมีการศึกษากิจกรรมของเอนไซม์นี้ในปลาใน (*Cyprius carpio*) ปลา rainbow trout (*Oncorhynchus mykiss*) ปลา chum salmon (*Oncorhynchus keta*) ปลา atka mackerel (*Pleurogrammus azonus*) และ white croaker (*Argyrosomus argentatus*) (Kishi et al., 1991; Kumazawa et al., 1997; Nozawa et al., 1997) ที่บริเวณเร่งของเอนไซม์ประกอบด้วยกรดอะมิโน 5 ตัวคือ Tyr-Gly-Gln-Cys-Trp และเนื่องจากซิสตีอีน (cys) มีบทบาทในการเร่งปฏิกิริยา (Folk, 1980) ทรานสกลูตามิเนสจึงถูกยับยั้งโดยสารที่ทำปฏิกิริยากับกลุ่มซิสตีอีน เช่น N-ethylmaleimide (NEM), iodoacetic acid (IAA), p-chloromercuribenzoate (PCMB) นอกจากนี้ทรานสกลูตามิเนสยังถูกยับยั้งโดย Cu^{2+} Zn^{2+} (Kumazawa et al., 1997) เนื่องจากไอออนเหล่านี้สามารถจับกับซิสตีอีนที่บริเวณเร่งของเอนไซม์

ทรานสกลูตามิเนสจากเนื้อปลารวมจำเป็นต้องมีแคลเซียมไอออน (Ca^{2+}) เป็นสารกระตุ้น (activator) ซึ่งเป็นคุณสมบัติจำเพาะของทรานสกลูตามิเนสจากสัตว์เลี้ยงลูกด้วยนม ส่วนทรานสกลูตามิเนสจากเชื้อจุลินทรีย์ไม่จำเป็นต้องใช้แคลเซียมไอออนในการเร่งปฏิกิริยา Folk and Cole (1966) รายงานว่า

แคลเซียมไอออนเหนี่ยวนำให้เกิดการเปลี่ยนแปลงรูปแบบ (conformation) ของทรานสกลูตามิเนส ทำให้กลุ่ม SH ของซีสทีนอยู่ในตำแหน่งที่เหมาะสมในการเร่งปฏิกิริยา ปริมาณแคลเซียมไอออนที่ต้องการสำหรับ ทรานสกลูตามิเนสแตกต่างกันตามแหล่งของเอนไซม์ ปริมาณแคลเซียมไอออนที่เหมาะสมสำหรับทรานสกลูตามิเนสจากปลา walley pollock คือ 3 มิลลิโมลาร์ ในขณะที่ปริมาณที่เหมาะสมสำหรับปลา red sea bream และปลาไนคือ 0.5 และ 5 มิลลิโมลาร์ ตามลำดับ (Kishi et al., 1991; Kumazawa et al., 1997; Yasueda et al., 1994) :

เนื่องจากปลาแต่ละชนิดมีปริมาณโปรตีนและทรานสกลูตามิเนสที่ต่างกัน จึงทำให้มีลักษณะเนื้อสัมผัสที่ต่างกัน ปลาที่มีโปรตีนในปริมาณสูง จะเกิดลักษณะเนื้อสัมผัสที่เหลวและเมื่อได้รับความร้อน ในขณะที่ปลาซึ่งมีทรานสกลูตามิเนสในปริมาณสูง จะมีลักษณะเนื้อสัมผัสที่ดีเมื่อนำมาแปรรูปเป็นผลิตภัณฑ์ ดังนั้นความรู้ในเรื่องชนิดและปริมาณของเอนไซม์ในกล้ามเนื้อปลาจึงเป็นข้อมูลพื้นฐานที่สำคัญเพื่อนำปลานชนิดนั้นๆ มาแปรรูปเพื่อเพิ่มมูลค่า ซึ่งจะนำไปสู่การผลิตผลิตภัณฑ์ที่มีคุณภาพ

วัตถุประสงค์

1. เพื่อศึกษาปริมาณโปรตีน และปรากฏการณ์เนื้ออยู่และอันเนื่องจากเอนไซม์ในปลาน้ำจืดเศรษฐกิจที่สำคัญ เช่น ปลานิล ปลายี่สกเทศ และปลานวลจันทร์ เป็นต้น
2. เพื่อศึกษาปริมาณทรานสกลูตามิเนสและการเชื่อมโยงสายโปรตีนอันเนื่องจากกิจกรรมของเอนไซม์ชนิดนี้ในปลาน้ำจืดเศรษฐกิจที่สำคัญในข้อ 1
3. เพื่อศึกษาปัจจัยที่มีผลต่อการเกิดเจลของโปรตีนปลาน้ำจืด

ขอบเขตการวิจัย

เพื่อศึกษากิจกรรมเอนไซม์โปรตีนในปลาน้ำจืดชนิดต่าง ๆ และศึกษาถึงปัจจัยต่าง ๆ เช่น อุณหภูมิ ความเป็นกรด-ด่าง ต่อการเกิดปรากฏการณ์เนื้ออยู่และในปลาแต่ละชนิด และศึกษากิจกรรมของทรานสกลูตามิเนสในปลาน้ำจืดแต่ละชนิด นอกจากนี้ศึกษาถึงปัจจัยที่มีผลต่อการเชื่อมโยงโปรตีน (cross-linking) ในปลาน้ำจืด รวมถึงบทบาทของโปรตีนและทรานสกลูตามิเนสและแคลเซียมไอออนต่อการเกิดเจลของปลาน้ำจืด

วิธีดำเนินการวิจัยโดยย่อ

ศึกษากิจกรรมของโปรตีนและทรานสกลูทามิเนสในกล้ามเนื้อปลาน้ำจืดสายพันธุ์ต่างๆ เช่น ปลานิล ปลาไน ปลาตะเพียน และอื่นๆ เป็นต้น โดยวิเคราะห์กิจกรรมของโปรตีนสจากกรย่อยสลายตัวเองของโปรตีนกล้ามเนื้อ (autolysis assay) และใช้วิธีสกัดเคซีนโดยใช้เคซีน (casein) เป็นสารตั้งต้น วิเคราะห์การเชื่อมสลายโปรตีนกล้ามเนื้อด้วยเทคนิค sodium dodecylsulfate polyacrylamide gel electrophoresis (SDS-PAGE) วิเคราะห์กิจกรรมทรานสกลูทามิเนสโดยสารตั้งต้นสังเคราะห์ monodansyl cadaverine และ N,N'-dimethylated casein จากนั้นคัดเลือกปลาที่มีศักยภาพมาศึกษาคุณสมบัติในการเกิดเจล และปัจจัยที่มีผลต่อลักษณะเนื้อสัมผัส เช่น อุณหภูมิในการบ่ม ปริมาณการเติมแคลเซียมไอออน นอกจากนี้ศึกษาผลของแคลเซียมไอออนต่อการเปลี่ยนแปลงโครงสร้างของแอคโตมัยโอซินจากปลานิล

ประโยชน์ที่คาดว่าจะได้รับ

ทำให้ทราบชนิดของปลาน้ำจืดที่มีศักยภาพที่สามารถพัฒนาและแปรรูปเป็นผลิตภัณฑ์ชนิดต่างๆ และทำให้ทราบถึงสถานะในการแปรรูปที่เหมาะสมเพื่อหลีกเลี่ยงการทำงานของโปรตีน และสถานะที่ส่งเสริมการทำงานของทรานสกลูทามิเนส ความรู้ดังกล่าวจะเป็นข้อมูลสำคัญในการพัฒนาการแปรรูปปลาน้ำจืดที่เหมาะสมและการส่งเสริมการเพาะเลี้ยงปลาน้ำจืด

หน่วยงานที่นำผลวิจัยไปใช้ประโยชน์

กองพัฒนาอุตสาหกรรมสัตว์น้ำ กรมประมง กองประมงน้ำจืด โรงงานแปรรูปผลิตภัณฑ์ประมงขนาดเล็ก ขนาดกลางและขนาดใหญ่

บทที่ 2

วิธีดำเนินการวิจัย

วัสดุและสารเคมี

ปลานิล (*Oreochromis niloticus*) เป็นปลาที่เพาะเลี้ยงในฟาร์มมหาวิทยาลัยเทคโนโลยีสุรนารี จ. นครราชสีมา มีขนาดประมาณ 500-800 กรัม/ตัว จับปลาแช่ในน้ำแข็งเป็นเวลา 30 นาที จากนั้นชำแหละเอาส่วนเนื้อเพื่อใช้ในการวิเคราะห์ต่อไป ส่วนปลาชุกเทศ (*Labeo rohita*) ปลานวลจันทร์ (*Cirrhiana microlepis*) นั้นซื้อจากตลาดค้าส่งปลาน้ำจืดประจำจังหวัดนครราชสีมา (ตลาดย่าโม) ส่วนปลาชนิดอื่นเป็นปลาสดที่ซื้อจากตลาดค้าปลา สารเคมีที่ใช้ในงานวิจัยเป็นคุณภาพที่ใช้ในงานวิเคราะห์ห้องปฏิบัติการ (Analytical grade)

การเตรียมตัวอย่าง

ทำการชำแหละแล้เอาเฉพาะส่วนเนื้อปลา บดให้ละเอียด เพื่อใช้ในการวิเคราะห์ต่อไป

วิธีการทดลอง

ชุดการทดลองที่ 1 กิจกรรมการย่อยสลายตัวเองและกิจกรรมของเอนไซม์ทรานสกลูตามิเนสในปลาน้ำจืดชนิดต่างๆ (Autolytic and transglutaminase activity of freshwater fish muscle proteins)

1.1 การวิเคราะห์กิจกรรมการย่อยสลายตัวเอง

วิเคราะห์กิจกรรมโปรตีนเนสในกล้ามเนื้อปลาน้ำจืดชนิดต่างๆ คือ ปลานิล (*Oreochromis niloticus*) ปลาดุกแอฟริกัน (*Clarias garispinus*) ปลาชุกเทศ (*Labeo rohita*) ปลาจีน (*Hypophthalmichthys molitrix*) ปลาไน (*Cyprinus carpio*) ปลาช่อน (*Chana striatus*) ปลานวลจันทร์ (*Cirrhino microlepis*) และปลาตะเพียน (*Puntius gonionotus*) ตามวิธีของ Yongsawatdigul and Piyadhamviboon (2004) ชั่งตัวอย่างเนื้อปลาบด 3 กรัม บ่มในอ่างน้ำควบคุมอุณหภูมิ 65 องศาเซลเซียส เป็นเวลา 1 ชั่วโมง จากนั้นเติมสารละลายกรดไตรคลอโรอะซิติก (trichloroacetic acid) เข้มข้น 5% ปริมาตร 27 มิลลิลิตร ปั่นผสมให้เข้ากันด้วยเครื่องปั่นผสมเนื้อเยื่อ (IKA Works Asia, Bhd, Malaysia) และปั่นเหวี่ยงที่ความเร็วรอบ 8,000 รอบ/นาที (Rotor PK 121R, ACCEL Co., Italy) เป็น

เวลา 15 นาที ที่ 4 องศาเซลเซียส วัดปริมาณโอลิโกเปปไทด์ในสารละลายส่วนใสตามวิธี Lowry (1951) โดยใช้สารละลายไทโรซีน (tyrosine) เป็นสารมาตรฐาน

1.2 การวิเคราะห์กิจกรรมของเอนไซม์ทรานสกลูตามิเนส

วิเคราะห์กิจกรรมเอนไซม์ทรานสกลูตามิเนสของปลาน้ำจืดชนิดต่างๆ ตามข้อ 1.1 โดยดัดแปลงจากวิธีของ Takagi et al. (1986) บ่มสารละลายผสมซึ่งประกอบด้วยสารตั้งต้น N,N'-dimethylated casein (DMC) ความเข้มข้น 1.25 มิลลิกรัม/มิลลิลิตร และ monodansyl cadaverine (MDC) เข้มข้น 18.75 ไมโครโมลาร์ และ DTT เข้มข้น 3.75 มิลลิโมลาร์ แคลเซียมคลอไรด์เข้มข้น 6.25 มิลลิโมลาร์, Tris-HCl เข้มข้น 10 มิลลิโมลาร์, pH 7.5 และ crude enzyme ปริมาตร 100 ไมโครลิตร ที่อุณหภูมิ 37°C เป็นเวลา 10 นาที จากนั้นหยุดปฏิกิริยาโดยเติมสารละลาย EDTA เพื่อให้ได้ความเข้มข้นรวมสุดท้ายเป็น 20 มิลลิโมลาร์ วัดการเรืองแสง (fluorescence) ของผลิตภัณฑ์ โดยใช้ excitation และ emission wavelength ที่ 350 และ 480 นาโนเมตรตามลำดับ เตรียมตัวอย่างควบคุมโดยทำการทดลองเช่นเดียวกับข้างต้น ยกเว้นเติมสารละลาย EDTA ก่อนที่จะเติมเอนไซม์ กำหนดให้ 1 ยูนิตคือปริมาณของเอนไซม์ที่เชื่อมโยงเชื่อมโยง MDC 1 นาโนโมลกับ DMC ที่อุณหภูมิ 37 องศาเซลเซียส ในเวลา 1 นาที โดยใช้ค่า enhancement factor (EF) ซึ่งเป็นค่าที่แสดงถึงการเพิ่มขึ้นของการเรืองแสงเนื่องจากการเชื่อมโยง MDC กับ DMC เท่ากับ 1.93 ซึ่งเป็นค่าที่ได้จากการทดลองตามรายละเอียดใน Takagi et al. (1986)

ชุดการทดลองที่ 2 การย่อยสลายตัวเองของเนื้อปลานิลและปลายี่สกเทศ (Autolytic activity of tilapia and rohu)

เนื่องจากปลานิลและปลายี่สกเทศเป็นปลาที่มีไขมันต่ำ และมีผลผลิตค่อนข้างสูงโดยเฉพาะปลานิล เนื้อปลาทั้งสองสายพันธุ์สามารถนำมาแปรรูปเป็นเจลโปรตีนปลาได้ กิจกรรมการย่อยสลายตัวเองจึงมีผลกระทบต่อคุณสมบัติการเกิดเจลโดยตรง ดังนั้นจึงศึกษากิจกรรมการย่อยสลายตัวเองของเนื้อปลาทั้ง 2 ชนิด

2.1 ผลของอุณหภูมิ

ศึกษาผลของอุณหภูมิต่อการย่อยสลายตัวเองของเนื้อปลานิลและปลาช่อนเทศ โดยทำการทดลองเช่นเดียวกับข้างต้น โดยบ่มตัวอย่างที่ 0, 27, 40, 50, 60, 65, 70 และ 80 องศาเซลเซียส เป็นเวลา 1 ชั่วโมง

2.2 ผลของพีเอช

ศึกษาผลของพีเอชต่อการย่อยสลายตัวเองของเนื้อปลาทั้ง 2 ชนิด โดยบ่มเนื้อปลา 3 กรัมในสารละลายบัฟเฟอร์ McIlvaine เข้มข้น 0.2 โมลาร์ (พีเอช 5-8) สารละลายบัฟเฟอร์ Tris เข้มข้น 0.2 โมลาร์ (พีเอช 8.5-10) ปริมาตร 18 มิลลิลิตร ที่ 65 องศาเซลเซียส เป็นเวลา 1 ชั่วโมง หยุดปฏิกิริยาโดยใช้สารละลายกรดไตรคลอโรอะซิติกเข้มข้น 7.5% ปริมาตร 18 มิลลิลิตร จากนั้นวิเคราะห์ปริมาณโอลิโกเปปไทด์ ดังกล่าวข้างต้น

2.3 ผลของโซเดียมคลอไรด์

ศึกษาผลของเกลือโซเดียมคลอไรด์ต่อการย่อยสลายตัวเองของเนื้อปลาทั้ง 2 ชนิด โดยบดผสมเนื้อปลากับเกลือโซเดียมคลอไรด์ที่ระดับความเข้มข้น 0, 0.5, 1, 2, 3, 4% บ่มตัวอย่างที่ 65 องศาเซลเซียสเป็นเวลา 1 ชั่วโมง และวิเคราะห์ปริมาณโอลิโกเปปไทด์ ตามรายละเอียดข้างต้น

2.4 ผลของการล้าง

ศึกษาผลของการล้างต่อการเกิดกิจกรรมการย่อยสลายตัวเอง โดยล้างเนื้อปลานิลและปลาช่อนเทศในน้ำกลั่นเย็นในอัตราส่วน 1 ต่อ 3 ปั่นเหวี่ยงส่วนผสมที่ $5,000 \times g$ ที่ 4 องศาเซลเซียส เป็นเวลา 10 นาที ทำซ้ำอีกครั้ง ส่วนครั้งที่ 3 ใช้น้ำเกลือเข้มข้น 0.3% แทนการใช้ น้ำกลั่น วิเคราะห์การย่อยสลายตัวเองของตัวอย่างที่ 65 องศาเซลเซียส เป็นเวลา 1 ชั่วโมง

2.5 ผลของสารยับยั้งโปรตีน

บดผสมเนื้อปลานิลและปลาช่อนเทศโดยเติมโซเดียมคลอไรด์ 1% และสารยับยั้งโปรตีนชนิดต่างๆ ที่ระดับความเข้มข้นต่างๆ ได้แก่ soybean trypsin inhibitor (500 $\mu\text{g/g}$) trans-epoxysuccinyl-L-leucylamido(4-guanidino)-butane (E-64) (3 mmole/g), pepstatin A (3 mg/g), leupeptin (2 mmole/g), phenylmethyl sulfonyl fluoride (PMSF) (4 mmole/g), ethylenediamine tetraacetic acid

(EDTA) (5 $\mu\text{mole/g}$), และ *p*-tosyl-L-lysyl-chloromethylmethyl ketone (TLCK) (1 mmole/g) จำนวนระดับการยับยั้ง (Degree inhibition) ตามสมการ

$$\text{Degree inhibition (\%)} = \frac{(TC - TC_b) - (TI - TI_b)}{TC - TC_b} \times 100$$

เมื่อ TC คือปริมาณไทโรซีนของตัวอย่างควบคุมที่ไม่ได้เติมสารยับยั้งและบ่มที่ 65 องศาเซลเซียส

TC_b คือปริมาณไทโรซีนของตัวอย่างควบคุมที่ไม่ได้เติมสารยับยั้งและไม่ได้บ่ม

TI คือปริมาณไทโรซีนของตัวอย่างที่เติมสารยับยั้งและบ่มที่ 65 องศาเซลเซียส

TI_b คือปริมาณไทโรซีนของตัวอย่างที่เติมสารยับยั้งและไม่ได้บ่ม

2.6 การวิเคราะห์ทางสถิติ

รายงานค่าเฉลี่ยจากผลการทดลอง 2 ซ้ำ วิเคราะห์ความแตกต่างของค่าเฉลี่ยโดยการวิเคราะห์ค่าความแปรปรวน (Analysis of variance, ANOVA) โดยใช้โปรแกรม SAS (1996)

ชุดการทดลองที่ 3 ผลของระดับแคลเซียมต่อการเกิดเจลของปลาน้ำจืด (Effect of calcium on gel-forming ability of freshwater fish muscle proteins)

ศึกษาผลของแคลเซียมไอออนต่อการเกิดเจลของปลาน้ำจืด 3 ชนิดคือ ปลานิล ปลาช่อนเทศ และปลานวลจันทร์ เตรียมเจลโดยสับผสมเนื้อปลาในเครื่องสับผสม silent cutter (UM5; Stephan Machinery Co., Columbus, Ohio, USA) เติมเกลือโซเดียมคลอไรด์ในปริมาณ 2% ของน้ำหนักทั้งหมด เติมแคลเซียมคลอไรด์ที่ระดับ 0, 0.1, 0.2 และ 0.3% โดยละลายในน้ำกลั่น 2 มิลลิลิตร ก่อนเติมลงในเพส (paste) ปั่นผสมเนื้อปลาเป็นเวลา 6 นาที โดยปั่นผสมภายใต้สุญญากาศเป็นเวลา 3 นาทีเพื่อกำจัดฟองอากาศ บรรจุเพสในถุงบรรจุ (casing) ขนาดเส้นผ่าศูนย์กลาง 3 เซนติเมตร จากนั้นนำไปบ่มที่ 4 องศาเซลเซียสเป็นเวลา 24 ชั่วโมง ที่ 25 องศาเซลเซียส 4 ชั่วโมง ที่ 40, 55, และ 65 องศาเซลเซียส เป็นเวลา 1 ชั่วโมง จากนั้นนำตัวอย่างทั้งหมด และตัวอย่างที่ไม่มีการบ่มไปให้ความร้อนในอ่างน้ำควบคุมอุณหภูมิที่ 90 องศาเซลเซียส เป็นเวลา 30 นาที เมื่อครบกำหนดเวลาทำให้ตัวอย่างเย็นโดยแช่ในน้ำผสมน้ำแข็ง เก็บตัวอย่างทั้งหมดเพื่อวิเคราะห์ลักษณะเนื้อสัมผัส ปริมาณโพลิโกเปปไทด์ และการเปลี่ยนแปลงของโปรตีนด้วย SDS-PAGE

3.1 การวิเคราะห์ลักษณะเนื้อสัมผัส

ตัดตัวอย่างเจลให้มีความสูง 3 เซนติเมตร วัดค่าแรงเจาะทะลุ (puncture force) โดยใช้เครื่อง Texture Analyzer (Stable Micro System, Surrey, England) และหัววัด spherical probe ที่มีเส้นผ่านศูนย์กลาง 5 มิลลิเมตร อัตราการเคลื่อนที่ของหัววัดคือ 1 มิลลิเมตร/วินาที บันทึกค่าแรง ณ จุดแตกหัก (breaking force) และระยะทาง ณ จุดแตกหัก (deformation)

3.2 การวิเคราะห์โอลิโกเปปไทด์

ชั่งตัวอย่างเจล 3 กรัม บดผสมกับสารละลายกรดไตรคลอโรอะซิติกเข้มข้น 5% ปริมาตร 27 มิลลิลิตร โดยใช้เครื่องปั่นผสมเนื้อเยื่อ (IKA Works Asia, Bhd, Malaysia) จากนั้นปั่นเหวี่ยงที่ความเร็วรอบ 8,000 รอบ/นาที (Rotor PK 121R, ACCEL Co., Italy) เป็นเวลา 15 นาที ที่ 4 องศาเซลเซียส วัดปริมาณโอลิโกเปปไทด์ในสารละลายส่วนน้ำตามวิธี Lowry (1951) โดยใช้สารละลายไทโรซีน (tyrosine) เป็นสารมาตรฐาน กำหนดปริมาณโอลิโกเปปไทด์ที่ละลายได้ในหน่วยนาโนโมลต่อกรัม ตัวอย่าง

3.3 การวิเคราะห์ SDS-PAGE

บดผสมตัวอย่าง 3 กรัมในสารละลายโซเดียมโดเดซิลซัลเฟต (sodium dodecylsulfate) เข้มข้น 5% ด้วยเครื่องปั่นผสมเนื้อเยื่อ (IKA Works Asia, Bhd, Malaysia) บ่มตัวอย่างที่ 85 องศาเซลเซียสเป็นเวลา 30 นาที วิเคราะห์ปริมาณโปรตีนของสารละลายส่วนน้ำ และวิเคราะห์องค์ประกอบของโปรตีนด้วย SDS-PAGE ตามวิธีของ Laemmli (1970)

3.4 การวิเคราะห์ทางสถิติ

วางแผนการทดลองแบบ split plot โดย main plot คือระดับแคลเซียม (0, 0.1, 0.2, 0.3%) และ sub-plot คืออุณหภูมิ (4, 25, 40, 55, 65, 90 องศาเซลเซียส) ทำการทดลอง 2 ซ้ำโดยแต่ละซ้ำเป็น block วิเคราะห์ความแตกต่างโดยใช้ Duncan Multiple Range Test (DMRT) ที่ระดับความเชื่อมั่น 95% วิเคราะห์ข้อมูลโดยใช้โปรแกรม SAS (1996)

ชุดการทดลองที่ 4 ผลของแคลเซียมไอออนต่อการเปลี่ยนแปลงรูปแบบโครงสร้างของแอกโตมัยโอซินจากปลาไนล์ (Effect of calcium ion on conformational changes of tilapia actomyosin)

4.1 การสกัดแอกโตมัยโอซิน

ตัดแปลงตามวิธีของ Ogawa et al. (1999) โดยใช้กล้ามเนื้อปลา 50 g ปั่นผสมกับสารละลายโซเดียมคลอไรด์ (NaCl) เข้มข้น 50 มิลลิโมลาร์ และ imidazole buffer เข้มข้น 10 มิลลิโมลาร์ (pH 7.0) ปริมาตร 250 มิลลิลิตร ซึ่งมีส่วนผสมของ PMSF (Phenylmethanesulfonyl fluoride) เข้มข้น 0.05 มิลลิโมลาร์ เป็นเวลา 2 นาที จากนั้นนำไปปั่นเหวี่ยงที่ $10,000 \times g$ ที่ 4 องศาเซลเซียส เป็นเวลา 5 นาที นำตะกอนไปปั่นผสมกับสารละลายข้างต้น และนำไปปั่นเหวี่ยงอีกครั้ง เก็บส่วนตะกอนและนำไปปั่นผสมกับสารละลายโซเดียมคลอไรด์เข้มข้น 0.6 โมลาร์ (10 mM Imidazole buffer, pH 7.0) ปริมาตร 500 มิลลิลิตร จากนั้นนำไปปั่นเหวี่ยงที่ $10,000 \times g$ ที่ 4 องศาเซลเซียส เป็นเวลา 5 นาที เจือจางสารละลายส่วนใสด้วยน้ำกลั่นกำจัดไอออน (distilled deionized water) ที่เย็นในปริมาตร 3 เท่าของสารละลายส่วนใส นำสารละลายที่เจือจางไปปั่นเหวี่ยงที่ $10,000 \times g$ ที่ 4 องศาเซลเซียส เป็นเวลา 15 นาที เก็บส่วนตะกอนและนำไปปั่นผสมกับสารละลายโซเดียมคลอไรด์เข้มข้น 50 มิลลิโมลาร์ (10 mM Imidazole buffer, pH 7.0) ปริมาตร 250 มิลลิลิตร จากนั้นนำไปปั่นเหวี่ยงที่ $10,000 \times g$ ที่ 4 องศาเซลเซียส เป็นเวลา 10 นาที เก็บตะกอนแอกโตมัยโอซินนำไปปั่นเหวี่ยงที่ $12,520 \times g$ ที่ 4 องศาเซลเซียส เป็นเวลา 15 นาที และนำไปใช้ในการทดลองต่อไป

4.2 การละลายของแอกโตมัยโอซิน

นำตะกอนแอกโตมัยโอซินละลายกับสารละลายโซเดียมคลอไรด์ (NaCl) เข้มข้น 0.4 โมลาร์ (10 mM Imidazole buffer, pH 7.0) ที่มีส่วนผสมของแคลเซียมคลอไรด์ (CaCl_2) ที่ความเข้มข้นต่างๆ (10 - 100 มิลลิโมลาร์) หรือ Ethylene glycol-O, O'-bis(2-aminoethyl)-N, N, N', N'-tetraacetic acid (EGTA) เข้มข้น 1 มิลลิโมลาร์ ในอัตราส่วน 1 ต่อ 9 กวนผสมที่ 4 องศาเซลเซียส เป็นเวลา 30 นาที จากนั้นนำไปปั่นเหวี่ยงที่ $8,000 \times g$ ที่ 4 องศาเซลเซียส เป็นเวลา 15 นาที เก็บสารละลายส่วนใสวิเคราะห์หาปริมาณโปรตีนหรือใช้ในการทดลองต่อไป

4.3 พื้นผิวไฮโดรโฟบิกของแอกโตมัยโอซิน

วิเคราะห์ Surface hydrophobicity ตามวิธีของ Kato and Nakai (1980) โดยเจือจางสารละลายแอกโตมัยโอซินเข้มข้น 0.125, 0.25, 0.5, 0.75, และ 1 mg/ml ด้วยสารละลายโซเดียมคลอไรด์ (NaCl) เข้มข้น 0.4 โมลาร์, 10 mM Imidazole buffer (pH 7.0) ที่มีส่วนผสมของแคลเซียมคลอไรด์ (CaCl₂) เข้มข้น 10, 50, และ 100 มิลลิโมลาร์ เติมสารละลาย 1-anilinonaphthlene-8-sulfonic acid (ANS) เข้มข้น 8 มิลลิโมลาร์ ปริมาตร 10 ไมโครลิตรในสารละลายโปรตีน 2 มิลลิลิตร ผสมให้เข้ากันและเก็บไว้ในที่มืด 10 นาที วัดค่าการเรืองแสง (Fluorescence) ที่ความยาวคลื่น excitation 374 นาโนเมตร และความยาวคลื่น emission 485 นาโนเมตรด้วยเครื่อง spectrofluorometer (RF-1501; Shimadzu Co., Tokyo, Japan) คำนวณค่าพื้นผิวไฮโดรโฟบิกจากค่าความชันของเส้นกราฟที่พล็อตระหว่างค่าการเรืองแสงและค่าความเข้มข้นโปรตีน (w/v)

4.4 การวิเคราะห์โครงสร้างทุติยภูมิ

เจือจางสารละลายแอกโตมัยโอซินด้วยสารละลายโซเดียมคลอไรด์ (NaCl) เข้มข้น 0.4 โมลาร์, 20 mM Tris-Cl buffer (pH 7.0) ที่มีส่วนผสมของแคลเซียมคลอไรด์ (CaCl₂) เข้มข้น 10, 30, 50, 70, และ 100 มิลลิโมลาร์ ให้มีความเข้มข้น 0.25 มิลลิกรัม/มิลลิลิตร วัด circular dichroism spectra ของแอกโตมัยโอซิน ด้วยเครื่อง spectropolarimeter (PS150J; JASCO, Tokyo, Japan) โดยใช้ quartz cell ซึ่งมี path length 200 ไมโครเมตร และควบคุมอุณหภูมิในระหว่างการวัดที่ 4 และ 40 องศาเซลเซียส กำหนดให้ค่า molar ellipticity ของแอกโตมัยโอซินคือ 115 กรัม/โมล และคำนวณค่า α -helical (%) จากสมการของ Ogawa et al. (1995)

$$\alpha\text{-Helicity (\%)} = 100 \times \{ [\Theta]_{222} / -40,000 \}$$

เมื่อ $[\Theta]_{222}$ คือค่า ellipticity ที่ความยาวคลื่น 222 nm

4.5 การวิเคราะห์ SDS-PAGE

การวิเคราะห์ SDS-PAGE โดยใช้ polyacrylamide เข้มข้น 10% ตามรายละเอียดในข้อ 3.3 ส่วนที่ความเข้มข้นของ polyacrylamide 5% นั้นดัดแปลงจากวิธีของ Huff-Lonergan et al. (1996) โดยนำสารละลายส่วนสิบผสมกับ treatment buffer (Tris-HCl เข้มข้น 20 มิลลิโมลาร์, EDTA เข้มข้น 2 มิลลิโมลาร์, SDS เข้มข้น 2%, glycerol เข้มข้น 20 %, BME เข้มข้น 2%, bromophenol blue จำนวนเล็กน้อย (อัตราส่วน 1 : 1 ต้มในน้ำเดือด 3 นาที ปริมาณตัวอย่างที่ใช้คือ 80 ไมโครกรัม เตรียมเจล acrylamide เข้มข้น 5 % จากสารละลาย acrylamide (acrylamide: N,N'-bis methylene acrylamide

100:1) เข้มข้น 30%, สารละลาย Tris-HCl เข้มข้น 0.375 โมลาร์ พี-เอช 8.8, EDTA เข้มข้น 2 มิลลิโมลาร์, SDS เข้มข้น 1%, ammonium persulfate เข้มข้น 0.1%, TEMED เข้มข้น 0.67% ใช้กระแสไฟฟ้า 20 มิลลิแอมแปร์ต่อเจล ย้อมสีโปรตีนด้วย Coomassie brilliant blue R-250

4.6 การประเมินลักษณะเนื้อสัมผัสของเจล

บดผสมแอคโตมัยโอซินกับโซเดียมคลอไรด์โดยมีความเข้มข้นสุดท้าย 0.4 โมลาร์ และ imidazole buffer เข้มข้น 10 มิลลิโมลาร์ (pH 7.0) และแคลเซียมคลอไรด์เข้มข้น 10, 20, 30, 40, 50, 70 และ 100 มิลลิโมลาร์ ตามลำดับ ใน mortar and pestle บรรจุเพส (paste) ในไมโครเพลต (microplate) ขนาดเส้นผ่านศูนย์กลาง 5 มิลลิเมตร สูง 10 มิลลิเมตร บ่มที่อุณหภูมิ 4 องศาเซลเซียส เป็นเวลา 12 ชั่วโมง และ 40 องศาเซลเซียส 30 นาที จากนั้นให้ความร้อนที่ 90 องศาเซลเซียส เป็นเวลา 15 นาที จากนั้นทำให้เย็นและเก็บที่อุณหภูมิ 4 องศาเซลเซียสข้ามคืน วิเคราะห์ลักษณะเนื้อสัมผัสโดยเครื่อง Texture analyzer TA-XT2 (Stable Micro System, England) โดยใช้หัววัดรูปทรงกระบอก (cylinder probe) ขนาดเส้นผ่านศูนย์กลาง 2 มิลลิเมตร อัตราการเคลื่อนที่ของหัววัด 1 มิลลิเมตร/วินาที

4.7 การวิเคราะห์ทางสถิติ

วางแผนการทดลองแบบ split plot โดย main plot คือระดับแคลเซียม และ sub-plot คืออุณหภูมิ (4 องศาเซลเซียส 24 ชั่วโมง จากนั้นให้ความร้อนที่ 90 องศาเซลเซียส 15 นาที, 40 องศาเซลเซียส 30 นาที จากนั้นให้ความร้อนที่ 90 องศาเซลเซียส 15 นาที, 90 องศาเซลเซียส 15 นาที) ทำการทดลอง 2 ซ้ำ โดยแต่ละซ้ำเป็น block วิเคราะห์ความแตกต่างโดยใช้ Duncan Multiple Range Test (DMRT) ที่ระดับความเชื่อมั่น 95% วิเคราะห์ข้อมูลโดยใช้โปรแกรม SAS (1996)

บทที่ 3

ผลการวิจัย

1. กิจกรรมการย่อยสลายตัวเองและกิจกรรมเอนไซม์ทรานสกลูตามิเนสในปลาน้ำจืดชนิดต่างๆ (Autolytic and transglutaminase activity of freshwater fish muscle proteins)

จากการศึกษากิจกรรมการย่อยสลายตัวเองของปลาน้ำจืดชนิดต่างๆ พบว่าปลาแคตฟิชแอฟริกัน (African catfish) เป็นปลาที่มีกิจกรรมการย่อยสลายตัวเองสูงสุด รองลงมาคือ ปลายี่สกเทศ (rohu) ปลานิล (tilapia) ปลานวลจันทร์ (small scale mud carp) และปลาจีน (silver carp) ตามลำดับ (ตารางที่ 2) ปลาแคตฟิชแอฟริกันเป็นปลาที่ไม่นิยมนำมาบริโภคเนื่องจากมีเนื้อสัมผัสที่ยู่และ ซึ่งจากการศึกษานี้ชี้ให้เห็นว่าสาเหตุดังกล่าวเกิดจากกิจกรรมการย่อยสลายตัวเองของโปรตีนในกล้ามเนื้อ ปลาแคตฟิชแอฟริกันเป็นปลาที่เลี้ยงง่าย มีอัตราการเจริญเติบโตสูง มีความต้านทานโรคสูง (มาณพและคณะ 2536) และมีขนาดใหญ่ (น้ำหนักตัวประมาณ 1-1.5 กิโลกรัม) มีปริมาณเนื้อมาก และมีไขมันสูงด้วย (ประมาณ 17-25%) ซึ่งอาจเหมาะสำหรับการนำมาเป็นวัตถุดิบในการแปรรูปผลิตภัณฑ์ที่ต้องเติมไขมัน เช่น ไส้กรอก อย่างไรก็ตามปัญหาการเกิดการย่อยสลายโปรตีนกล้ามเนื้อโดยโปรตีนเอส เป็นปัจจัยสำคัญซึ่งมีผลกระทบต่อคุณภาพเนื้อสัมผัสของผลิตภัณฑ์ ดังนั้นการใช้ประโยชน์จากเนื้อปลาแคตฟิชแอฟริกันจึงจำเป็นต้องคำนึงถึงปัญหาของกิจกรรมโปรตีนเอสในกล้ามเนื้อเป็นสำคัญ

ปลายี่สกเทศ ปลานิล ปลานวลจันทร์ และปลาจีน เป็นปลาเนื้อขาวที่มีไขมันค่อนข้างต่ำ (1-3%) จึงเหมาะที่จะใช้เป็นวัตถุดิบสำหรับผลิตภัณฑ์ที่เป็นเจล กิจกรรมการย่อยสลายตัวเองของกล้ามเนื้อปลานิล ปลานวลจันทร์และปลายี่สกเทศ มีค่าใกล้เคียงกัน (ตารางที่ 2) ส่วนปลาจีน ปลาช่อน (stripe snake-head fish) ปลาตะเพียน (silver barb) และปลาไน (common carp) จัดเป็นปลาที่มีกิจกรรมการย่อยสลายตัวเองค่อนข้างน้อย ดังนั้นปัญหาเนื้อยู่และอาจไม่ใช่ปัญหาสำคัญในปลาเหล่านี้ อย่างไรก็ตาม ทั้งปลาจีน ปลาช่อน และปลาตะเพียน เป็นปลาที่มีราคาสูงและมีปริมาณการบริโภคที่แน่นอน จึงอาจไม่เหมาะที่จะนำมาใช้เป็นวัตถุดิบในเชิงอุตสาหกรรมโดยเฉพาะในส่วนของเนื้อปลาสด ปลาไน อาจเป็นปลาที่มีศักยภาพเนื่องจากเป็นปลาที่มีปริมาณเนื้อสูง และไม่มีปัญหาในการเกิดเนื้อยู่และ

เมื่อพิจารณากิจกรรมทรานสกลูตามิเนส พบว่าปลานิลเป็นปลาที่มีกิจกรรมเนื้อปลาดังกล่าวสูงที่สุด (ตารางที่ 2) ส่วนปลาแคตฟิชแอฟริกัน ปลายี่สกเทศ ปลานวลจันทร์และปลาไน เป็นกลุ่มปลาที่มีกิจกรรมของเอนไซม์ทรานสกลูตามิเนสรองลงมา ส่วนปลาจีน ปลาช่อน และปลาตะเพียนจัดเป็นปลาที่มีกิจกรรมของเอนไซม์น้อย จากข้อมูลนี้อาจสามารถอนุมานได้ว่า ปลานิล ปลาไน ปลายี่สกเทศ และ

ปลานวลจันทร์ อาจเป็นปลาน้ำจืดที่สามารถเกิดเจลได้ดี หากมีการใช้กระบวนการแปรรูปที่เหมาะสม โดยเฉพาะหากสามารถยับยั้งกิจกรรมของเอนไซม์โปรตีนเอส และส่งเสริมกิจกรรมของเอนไซม์ทรานสกลูตามิเนส ส่วนเนื้อปลาอุกแอฟริกันนั้น แม้จะมีกิจกรรมของเอนไซม์ทรานสกลูตามิเนสค่อนข้างสูง แต่ก็จัดว่ามีกิจกรรมโปรตีนเอสที่ค่อนข้างสูงเช่นกัน การแปรรูปจำเป็นต้องใช้สภาวะที่สามารถยับยั้งกิจกรรมโปรตีนเอสได้รวดเร็ว นอกจากนี้ปลาอุกแอฟริกันเป็นปลาที่มีไขมันสูง ซึ่งไขมันอาจมีผลต่อการเกิดโปรตีนเจล แต่อาจเหมาะสมสำหรับผลิตภัณฑ์เจลอิมัลชัน (emulsion) ได้หากมีวิธีการในการยับยั้งกิจกรรมโปรตีนเอสที่มีประสิทธิภาพ

ตารางที่ 2 กิจกรรมการย่อยสลายตัวเองและทรานสกลูตามิเนสในกล้ามเนื้อปลาน้ำจืดสายพันธุ์ต่างๆ

Species	Autolytic activity ¹ ($\mu\text{mole/g muscle/h}$)	TGase activity ¹ (Unit/g muscle)
African catfish (<i>Clarias gariepinus</i>)	3.27 ± 0.6	14.6 ± 0.8
Rohu (<i>Labeo rohita</i>)	2.03 ± 0.2	11.4 ± 0.4
Tilapia (<i>Oreochromis niloticus</i>)	1.97 ± 2.1	60.8 ± 0.3
Small scale mud carp (<i>Cirrhina microlepis</i>)	1.82 ± 0.06	10.5 ± 0.2
Silver carp (<i>Hypophthalmichthys molitrix</i>)	1.24 ± 0.07	3.3 ± 1.0
Striped snake-head fish (<i>Channa striatus</i>)	0.62 ± 0.04	2.7 ± 0.1
Common silver barb (<i>Puntius gonionotus</i>)	0.40 ± 0.01	3.9 ± 0.6
Common carp (<i>Cyprinus carpio</i>)	0.36 ± 0.06	18.0 ± 0.7

¹ ค่าเฉลี่ย \pm ค่าเบี่ยงเบนมาตรฐาน (จำนวนตัวอย่าง = 6)

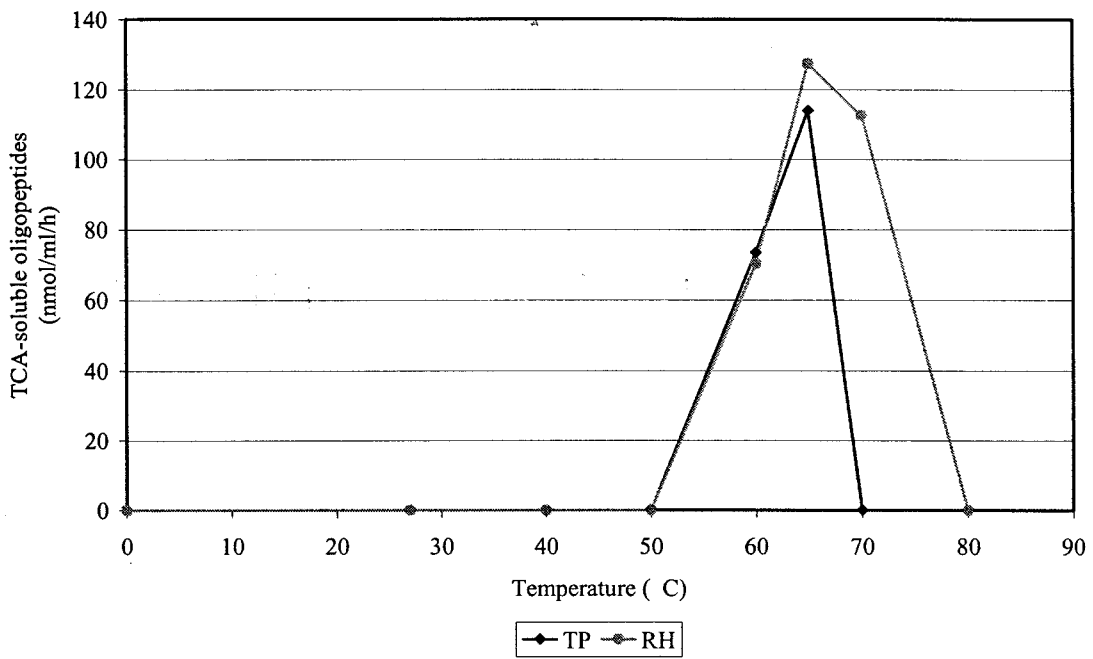
2. การย่อยสลายตัวเองของเนื้อปลานิลและปลายี่สกเทศ (Autolytic activity of tilapia and rohu)

2.1 สภาวะที่เหมาะสมต่อกิจกรรมการย่อยสลายตัวเอง

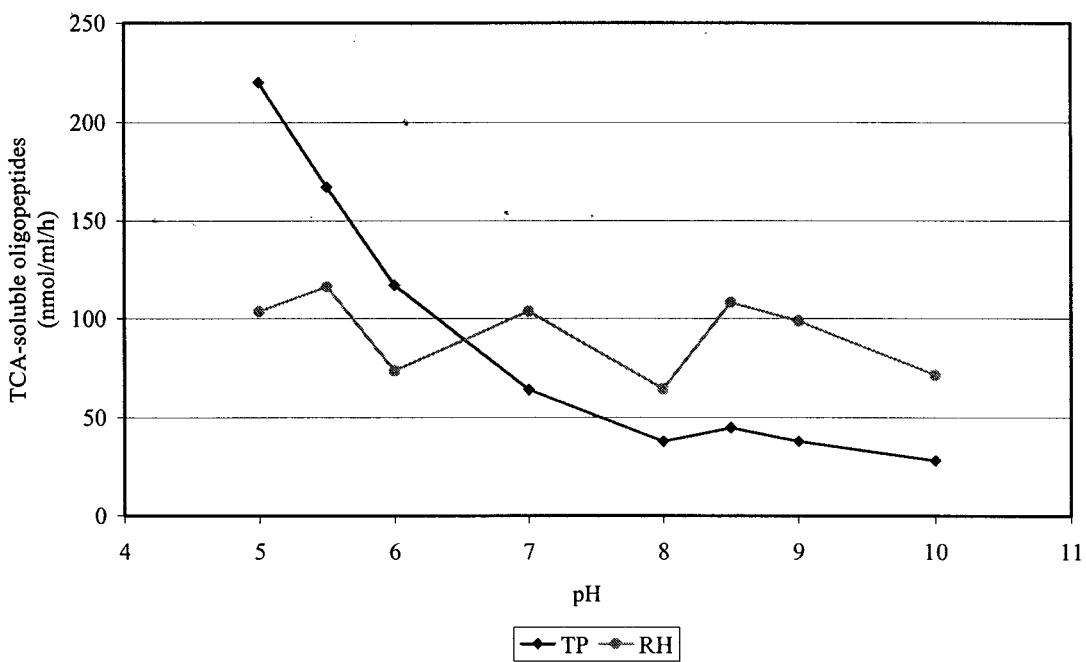
ระดับการย่อยสลายตัวเองของกล้ามเนื้อปลานิลและปลายี่สกเทศเกิดขึ้นในระดับที่สามารถตรวจพบได้เมื่อบ่มที่อุณหภูมิสูงกว่า 50 องศาเซลเซียส และเพิ่มขึ้นตามอุณหภูมิ จนมีค่าสูงสุดที่ 65 องศาเซลเซียส (รูปที่ 1) นอกจากนี้ยังพบกิจกรรมการเสื่อมสลายของกล้ามเนื้อที่ 70 องศาเซลเซียสในปลายี่สกเทศ ซึ่งนับเป็นอุณหภูมิที่ค่อนข้างสูง การเสื่อมสลายของโปรตีนกล้ามเนื้อปลาส่วนใหญ่พบในช่วง 60-65 องศาเซลเซียส Yongsawatdigul et al. (2000) พบการเสื่อมสลายโปรตีนกล้ามเนื้อของซูริมีปลานิลเกิดสูงสุดที่ 65 องศาเซลเซียส ส่วนในปลาปากคมพบว่าเกิดขึ้นสูงสุดที่ 65 องศาเซลเซียสเช่นกัน (Yongsawatdigul and Piyadhamviboon, 2004)

การย่อยสลายกล้ามเนื้อของปลานิลลดลงเมื่อพีเอชเพิ่มขึ้น ปลานิลเกิดการย่อยสลายสูงสุดที่พีเอช 5 (รูปที่ 2) ซึ่งสูงกว่าที่เกิดขึ้นในปลายี่สกเทศ Acid proteinase คือกลุ่มโปรตีนเอนไซม์ที่สามารถเร่งปฏิกิริยาได้สูงที่สภาวะกรด ดังนั้นอาจกล่าวได้ว่า acid proteinase อาจมีบทบาทสำคัญต่อการเกิดการย่อยสลายโปรตีนกล้ามเนื้อของปลานิล Jiang et al. (1992) รายงานว่า คาเทปซินดี (cathepsin D) สามารถย่อยสลายมายโอไฟบริลของปลานิลได้สูงสุดที่พีเอช 5.5 ในขณะที่โปรตีนเอนไซม์ไลโซโซม (lysosomal proteinases) สามารถเร่งปฏิกิริยาได้ดีที่สุดที่พีเอช 6.5 พีเอชในช่วงที่ศึกษา (5-10) ไม่มีผลต่อการย่อยสลายโปรตีนกล้ามเนื้อของปลายี่สกเทศมากเท่ากับในปลานิล ดังจะเห็นได้ว่าปริมาณโอลิโกเปปไทด์ที่เกิดจากการเสื่อมสลายมีค่าใกล้เคียงกัน เนื่องจากระยะจริงของการนำเนื้อปลาไปใช้นั้นค่าพีเอชของระบบมักอยู่ในช่วง 6.5-7.5 ซึ่งยังคงเกิดการเสื่อมสลายของโปรตีนกล้ามเนื้อในปลาทั้งสอง โดยการเสื่อมสลายที่ค่าพีเอช 7-7.5 นั้นเกิดในปลายี่สกเทศสูงกว่าในปลานิล ปลาส่วนใหญ่ที่มีการศึกษามาแล้ว จะพบการเสื่อมสลายในช่วงพีเอชที่เป็นด่าง (7.7-8.1) เนื่องจากเอนไซม์ในกลุ่ม alkaline proteinase (Iwata et al., 1974) จากผลการศึกษานี้ alkaline proteinases ไม่มีบทบาทเด่นที่ย่อยสลายโปรตีนกล้ามเนื้อในปลานิลและปลายี่สกเทศ

การเสื่อมสลายของมายโอซินสายหลัก (myosin heavy chain, MHC) ของปลานิลเกิดขึ้นเมื่อบ่มที่ 65 องศาเซลเซียส เป็นเวลา 30 นาที และการเสื่อมสลายเพิ่มขึ้นตามระยะเวลาการบ่มจนถึง 4 ชั่วโมง (รูปที่ 3a) นอกจากนี้ยังพบการเสื่อมสลายของมายโอซินสายหลักในปลายี่สกเทศ (รูปที่ 3b) กิจกรรมการย่อยสลายตัวเองของปลายี่สกเทศสูงกว่าปลานิลที่ระยะเวลาการบ่มใดๆ ในช่วง 4 ชั่วโมง (รูปที่ 4) อย่างไรก็ตามการเสื่อมสลายของกล้ามเนื้อปลานิลและปลายี่สกเทศน้อยกว่าปลาปากคม (lizardfish) หรือปลาแปซิฟิกไวท์คิง (Pacific whiting) (An et al., 1994) ซึ่งเป็นปลาที่มีปัญหาเกี่ยวกับเอนไซม์โปรตีนเอนไซม์ในกล้ามเนื้ออย่างรุนแรง เป็นที่น่าสังเกตว่าแอคตินหรือโปรตีนอื่นๆ ไม่มีการเสื่อมสลายอย่าง

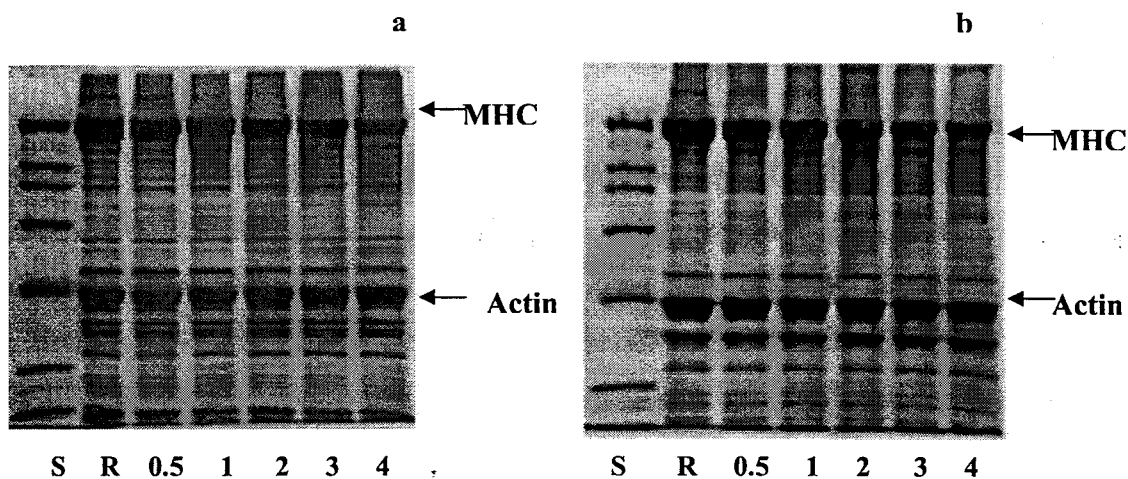


รูปที่ 1 ผลของอุณหภูมิต่อการย่อยสลายโปรตีนกล้ามเนื้อปลานิลและปลายี่สกเทศ

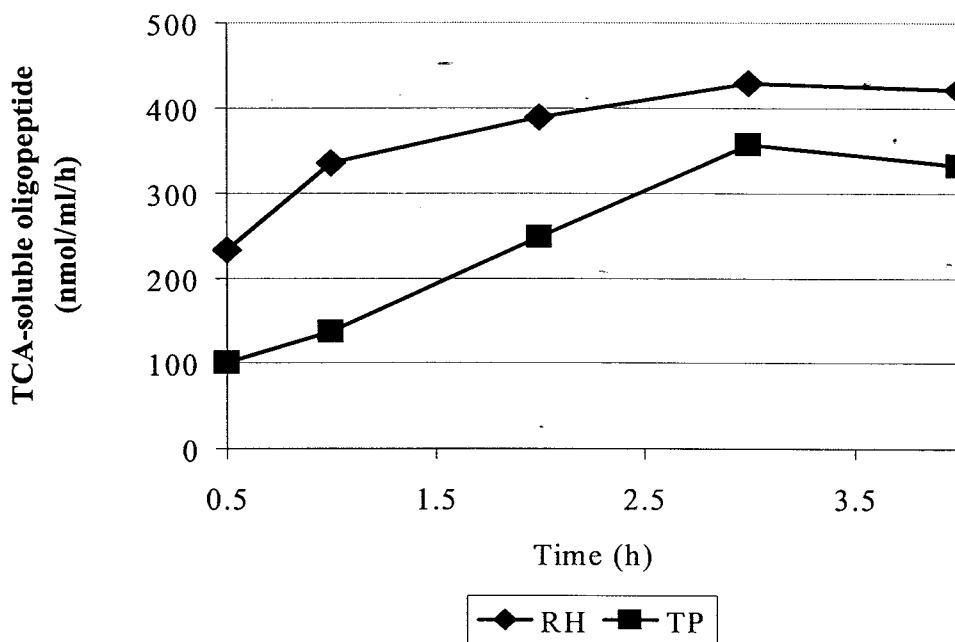


รูปที่ 2 ผลของพีเอชต่อการย่อยสลายโปรตีนกล้ามเนื้อปลานิลและปลายี่สกเทศ

เด่นชัด (รูปที่ 3a, b) ซึ่งอาจเป็นการบ่งชี้ว่าระดับของกิจกรรมโปรตีนในกล้ามเนื้อไม่สูงมากนัก



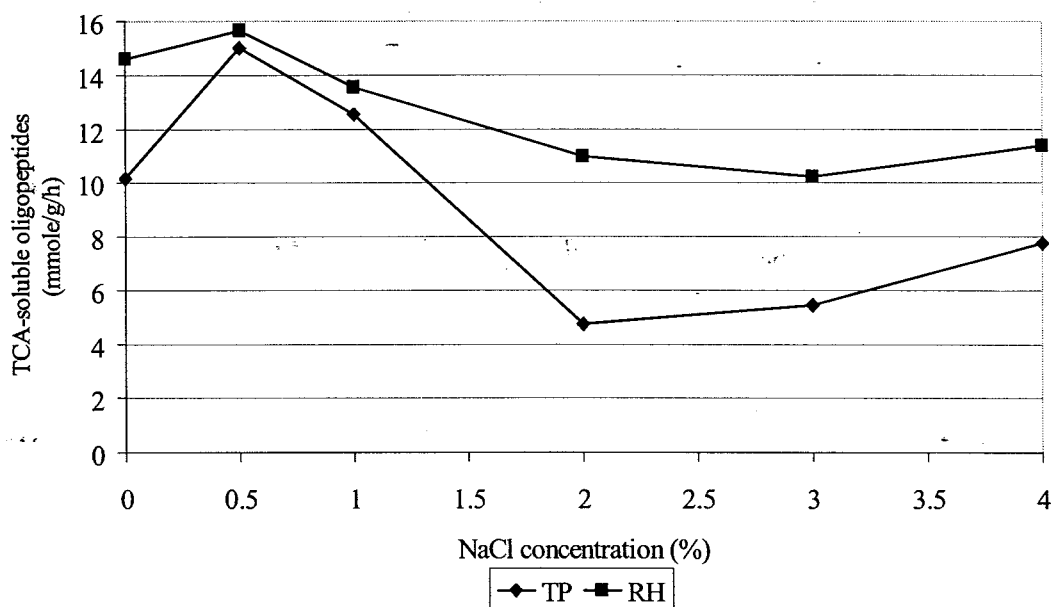
รูปที่ 3 SDS-PAGE ของโปรตีนกล้ามเนื้อปลานิล (a) และปลายี่สกเทศ (b) บ่มที่ 65 องศาเซลเซียสเป็นเวลา 0.5-4 ชั่วโมง R=เนื้อปลาที่ไม่ได้บ่ม, S = Molecular weight standard, MHC = myosin heavy chain



รูปที่ 4 ปริมาณโอลิโกเปปไทด์ที่เกิดขึ้นจากการบ่มเนื้อปลานิลและปลายี่สกเทศที่ 65 องศาเซลเซียสเป็นเวลาต่างๆ

2.2 ผลของความเข้มข้นโซเดียมคลอไรด์ต่อการย่อยสลายตัวเอง

เนื่องจากในกระบวนการผลิตเจลจากเนื้อปลาจำเป็นต้องเติมเกลือเพื่อละลายโปรตีนมายโอไฟบริลลาร์ จึงศึกษาผลของเกลือต่อกิจกรรมการย่อยสลายตัวเอง ซึ่งพบว่ากิจกรรมการย่อยสลายตัวเองเพิ่มสูงสุดที่ความเข้มข้นเกลือโซเดียมคลอไรด์ 0.5% จากนั้นลดลงเมื่อความเข้มข้นเกลือเพิ่มขึ้น (รูปที่ 5) เนื่องจากโปรตีนมายโอไฟบริลลาร์เป็นโปรตีนที่ละลายในน้ำเกลือหรือสารละลายที่มีความเข้มข้นไอออน (ionic strength) สูง เมื่อความสามารถในการละลายของโปรตีนกล้ามเนื้อซึ่งเป็นสารตั้งต้นดีขึ้น จึงทำให้เอนไซม์สามารถเข้าทำปฏิกิริยากับสารตั้งต้นได้ดีขึ้น กิจกรรมการย่อยสลายจึงมากขึ้น แต่เมื่อความเข้มข้นของไอออนเพิ่มขึ้นเกิน 0.5% อาจมีผลยับยั้งการทำงานของโปรตีนเอนไซม์ กิจกรรมการย่อยสลายจึงลดลง เนื่องจากระดับโซเดียมคลอไรด์ที่เติมในผลิตภัณฑ์เนื้อปลาบดเพื่อให้เกิดเจลคือประมาณ 1-2% ซึ่งปริมาณดังกล่าวสามารถยับยั้งกิจกรรมของโปรตีนเอนไซม์ได้สูงถึง 50% ในเนื้อปลานิล และ 30% ในปลาชี่ก ดังนั้นปัญหาในการเกิดโปรตีนในเจลปลานิลจึงไม่อาจรุนแรงนัก

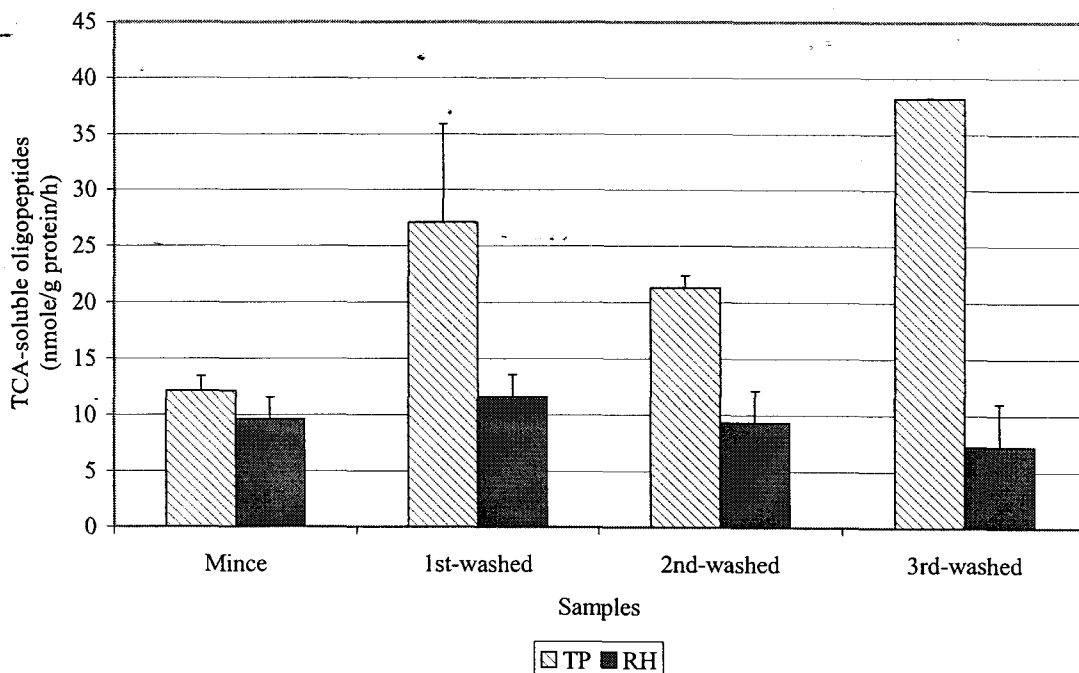


รูปที่ 5 ผลของระดับโซเดียมคลอไรด์ต่อกิจกรรมการย่อยสลายตัวเองของเนื้อปลานิลและปลาชี่กเทศ

2.3 ผลของการล้างเนื้อปลาต่อกิจกรรมการย่อยสลายตัวเอง

กระบวนการล้างเนื้อปลาดังเช่นในกระบวนการผลิตซูริมี มีผลลดกิจกรรมโปรตีนเอสโดยเฉพาะหากเป็นโปรตีนที่อยู่ในส่วนของ sarcoplasmic fraction ซึ่งเป็นส่วนที่ละลายน้ำ ดังนั้นจึงศึกษาผลของการล้างต่อกิจกรรมการย่อยสลายตัวเอง ซึ่งจากการศึกษาพบว่ากิจกรรมของโปรตีนเอสในเนื้อปลานิลเพิ่มขึ้นตามจำนวนรอบของการล้าง ($p < 0.05$) (รูปที่ 6) โปรตีนเอสในเนื้อปลานิลอาจเป็นโปรตีนที่ยึดเกาะกับส่วนของเส้นใยกล้ามเนื้อ หรือที่เรียกว่า myofibril-bound proteinase ซึ่งไม่สามารถถูกกำจัดออกโดยการล้าง การเพิ่มจำนวนรอบของการล้างทำให้โปรตีนมัคโอฟิบริลลาร์เข้มข้นขึ้น ซึ่งหากโปรตีนที่ยึดเกาะที่เส้นใยกล้ามเนื้อ กิจกรรมโปรตีนเอสจะเพิ่มขึ้น Cao et al. (2000) รายงานการพบ myofibril-bound proteinase ในปลาปากคม (lizardfish) ซึ่งเร่งกิจกรรมการย่อยสลายมัคโอซินสายหลักที่ 55-60 องศาเซลเซียส นอกจากนี้ Cao et al. (1999) ยังพบโปรตีนที่ยึดเกาะกับเส้นใยกล้ามเนื้อในปลาไน

การเพิ่มจำนวนรอบของการล้างมีแนวโน้มลดกิจกรรมการย่อยสลายตัวเองในเนื้อปลายี่สกเทศ แต่ไม่มีความแตกต่างกัน ($p > 0.05$) โปรตีนเอสที่มีบทบาทในปลายี่สกเทศอาจอยู่ในส่วน sarcoplasmic fraction ซึ่งสามารถถูกกำจัดออกในระหว่างการล้างแต่อาจไม่มากอย่างมีนัยสำคัญ การล้างเนื้อปลาจึงไม่ใช่แนวทางที่มีประสิทธิภาพในการลดปัญหาโปรตีนเอสทั้งในปลานิลและปลายี่สกเทศ ในทางตรงกันข้ามเป็นการลดปริมาณผลผลิตลงอีกด้วย



รูปที่ 6 ผลของการล้างต่อกิจกรรมการย่อยสลายโปรตีนกล้ามเนื้อในปลานิลและปลายี่สกเทศ

2.4 ผลของสารยับยั้งต่อกิจกรรมการย่อยสลายโปรตีนกล้ามเนื้อ

ศึกษาผลของสารยับยั้งโปรตีนเอสต่อกิจกรรมการย่อยสลายโปรตีนกล้ามเนื้อ ซึ่งพบว่า

leupeptin, phenylmethanesulfonyl fluoride (PMSF) และ *p*-tosyl-L-lysyl-chloromethylmethylketone (TLCK) สามารถยับยั้งกิจกรรมการย่อยสลายโปรตีนกล้ามเนื้อในปลาชนิดได้สูงสุด (ตารางที่ 3) ผลดังกล่าวบ่งชี้ว่าเอนไซม์ในกลุ่มซีรีน โปรติเนสอาจมีบทบาทสำคัญต่อการย่อยสลายโปรตีนกล้ามเนื้อ ปลาชนิด เนื่องจาก EDTA สามารถยับยั้งกิจกรรมการย่อยสลายโปรตีนกล้ามเนื้อปลาชนิดได้มากกว่า 50% ซึ่งอาจบ่งชี้ว่า metallo proteinase อาจเป็นเอนไซม์ที่มีบทบาทต่อการย่อยสลายโปรตีนกล้ามเนื้อเช่นกัน

ตารางที่ 3 ระดับการยับยั้งกิจกรรมการย่อยสลายโปรตีนกล้ามเนื้อโดยสารยับยั้งโปรตีนเอสต่างๆ

Inhibitors	Concentration	Degree inhibition (%)	
		Tilapia	Rohu
Leupeptin	3 mmole/g	62.41±1.54	0
STI	500 µg/g	40.74±0.37	11.66±0.64
PMSF	12 mmole/g	73.88±3.17	0
TLCK	1 mmole/g	57.60±2.54	0
E-64	6 mmole/g	39.25±0.48	48.89±0.007
EDTA	15 µmole/g	56.49±2.35	100
Pepstatin A	3 mg/g	7.30±1.03	0

แอซิดโปรตีนเอส (acid proteinase) ไม่ใช่กลุ่มเอนไซม์ที่มีบทบาทต่อการย่อยสลายโปรตีนกล้ามเนื้อในปลาชนิดนี้ เนื่องจากค่าพีเอชที่ศึกษานั้นอยู่ในช่วง 6.5-6.8 ซึ่งเอนไซม์ในกลุ่มแอซิดโปรตีนเอสไม่สามารถเร่งปฏิกิริยาได้ดี

การย่อยสลายกล้ามเนื้อปลาซึ่งสกัดถูกยับยั้งได้สมบูรณ์เมื่อเติม EDTA ที่ความเข้มข้น 15 $\mu\text{mole/g}$ (ตารางที่ 3) ส่วน E-64 ซึ่งเป็นสารยับยั้งซิสตีอินโปรติเอสสามารถยับยั้งได้ประมาณ 48% และสารยับยั้งในกลุ่มซีรีนโปรตีนเอสและแอซิดโปรตีนเอสไม่แสดงผลการยับยั้ง จากผลดังกล่าวแสดงให้เห็นว่า metallo proteinase อาจเป็นกลุ่มเอนไซม์ที่มีบทบาทต่อการเกิดปรากฏการณ์เนื้อมีรสขมในปลาซึ่งสกัด ในขณะที่ยีสตีอินโปรติเอสอาจมีบทบาทรองลงมา

3. ผลของระดับแคลเซียมต่อการเกิดเจลของปลาน้ำจืด (Effect of calcium on gel-forming ability of freshwater fish muscle proteins)

3.1 คุณลักษณะทางเนื้อสัมผัส

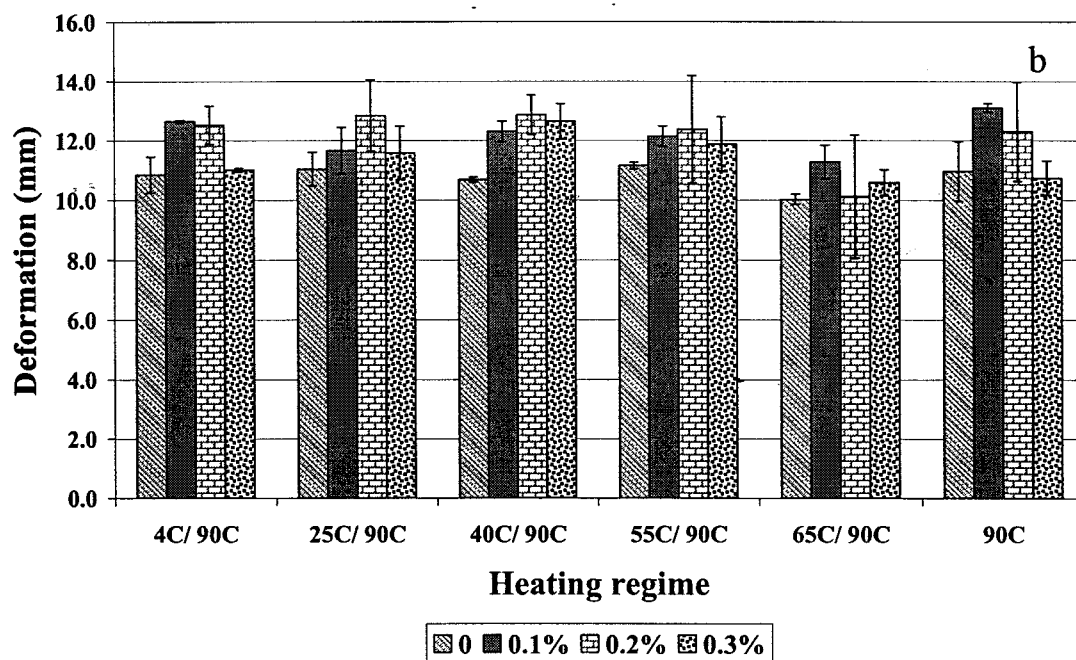
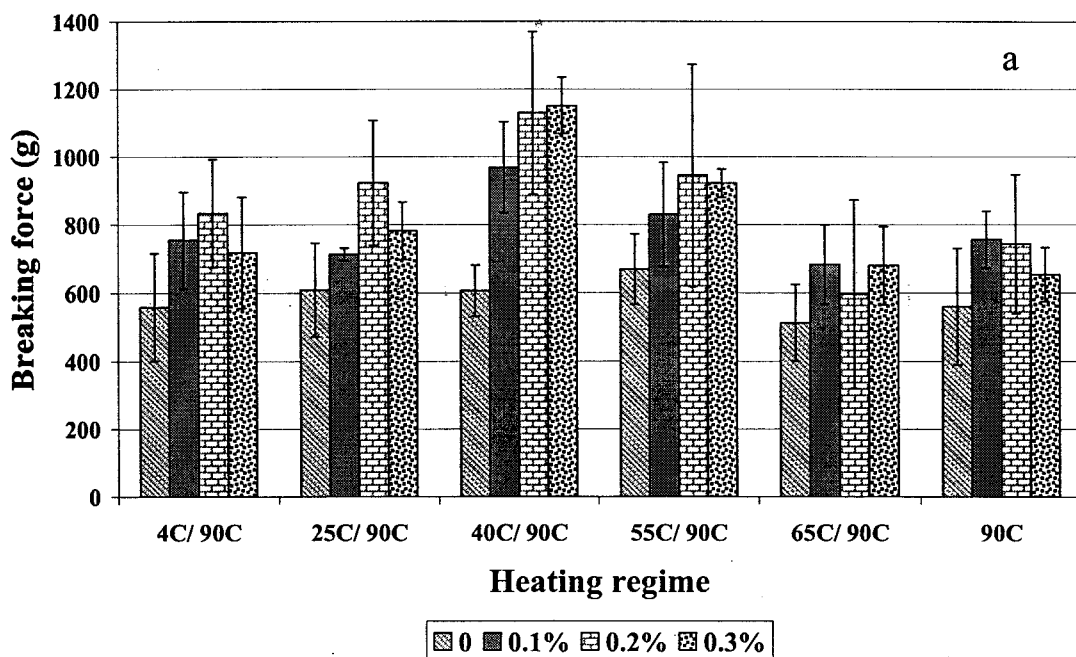
อุณหภูมิในการบ่มและระดับแคลเซียมมีผลต่อค่าแรง ณ จุดแตกหักของเจลเนื้อปลานิล ($p < 0.05$) การบ่มที่ 40 องศาเซลเซียสทำให้ได้ค่าแรงสูงสุดที่ระดับการเติมแคลเซียม 0.1-0.3% ($p < 0.05$) ส่วนในตัวอย่างที่ไม่ได้เติมแคลเซียมนั้นการบ่มเพส (paste) ของเนื้อปลานิลที่ 40 หรือ 55 องศาเซลเซียสเป็นเวลา 1 ชั่วโมงหรือที่ 25 องศาเซลเซียสเป็นเวลา 4 ชั่วโมง ทำให้ค่าแรง ณ จุดแตกหักของเจลเพิ่มขึ้น (รูปที่ 7a) การบ่มที่ 55 องศาเซลเซียสทำให้ได้เจลที่มีค่าแรง ณ จุดแตกหักสูงกว่าที่อุณหภูมิอื่น ซึ่งเป็นการบ่งชี้ถึงการเกิดเซตติง (setting) ซึ่งโดยทั่วไปปลาที่อาศัยในแถบน้ำอุ่นเช่นปลา croaker มักเกิดเซตติงที่ 40 องศาเซลเซียส (Kamath et al., 1992) อย่างไรก็ตาม Yongsawatdigul et al. (2002) พบว่าซูริมิจากปลาทรายแดง ซึ่งเป็นปลาในแถบศูนย์สูตรสามารถเกิดเซตติงที่ 25 องศาเซลเซียสได้ เซตติงเกิดเนื่องจากการเชื่อมโยงสายโปรตีนโดยกิจกรรมของเอนไซม์ทรานสกลูตามิเนส ซึ่งจากการวิเคราะห์กิจกรรมของทรานสกลูตามิเนสพบว่ามีค่าสูงสุดในเนื้อปลานิล (ตารางที่ 4) เป็นที่น่าสังเกตว่าในเนื้อปลานิลนั้นสามารถเกิดเซตติงได้ที่อุณหภูมิสูงถึง 55 องศาเซลเซียส ซึ่งยังไม่มีการรายงานมาก่อน จากการศึกษาคุณสมบัติทางชีวเคมีของเอนไซม์ทรานสกลูตามิเนสบริสุทธิ์จากปลานิล Worratao and Yongsawatdigul (2004) พบว่าเอนไซม์ดังกล่าวแสดงกิจกรรมได้สูงสุดที่ 37-50 องศาเซลเซียส การบ่มเจลซึ่งมีเส้นผ่านศูนย์กลาง 3 เซนติเมตรในอ่างน้ำร้อน 55 องศาเซลเซียส มีผลทำให้อุณหภูมิภายในเพิ่มขึ้นอย่างช้าๆ เนื่องจากข้อจำกัดของการนำความร้อน ดังนั้นตัวอย่างจึงอาจอยู่ในช่วงอุณหภูมิที่เหมาะสมต่อการเร่งกิจกรรมของทรานสกลูตามิเนส (37-50 องศาเซลเซียส) ในระยะเวลาหนึ่ง

ตารางที่ 4 กิจกรรมการย่อยสลายตัวเองและทรานสกลูทามิเนสในกล้ามเนื้อปลา

Species	Autolytic activity ($\mu\text{mol/g}$ muscle/h)	TGase activity (Unit/g sample)
Tilapia	1.80 ± 0.55	154.48 ± 34.18
Rohu	2.0 ± 0.85	6.64 ± 3.80
Small scale mud carp	1.68 ± 0.29	9.27 ± 1.75

การบ่มที่ 65 องศาเซลเซียสเป็นเวลา 1 ชั่วโมงมีผลทำให้ค่าแรง ณ จุดแตกหักลดลงมากกว่าตัวอย่างที่บ่มที่อุณหภูมิอื่น และตัวอย่างที่ไม่ได้บ่ม (90C) (รูปที่ 7a) ซึ่งอาจเกิดจากกิจกรรมของโปรตีนเอสในปลานิล การไม่ได้บ่มตัวอย่าง (90C) ไม่ได้เป็นการส่งเสริมกิจกรรมทรานสกลูทามิเนสขณะเดียวกันก็ไม่ได้ส่งเสริมกิจกรรมโปรตีนเอส ลักษณะเนื้อสัมผัสจึงดีกว่าตัวอย่างบ่มที่ 65 องศาเซลเซียส แต่ต่ำกว่าตัวอย่างซึ่งบ่มที่ 40 หรือ 55 องศาเซลเซียส ส่วนการบ่มที่ 4 องศาเซลเซียสเป็นเวลา 24 ชั่วโมง ไม่ได้เป็นการส่งเสริมให้เกิดเซตติงในเจลปลานิล

การเพิ่มแคลเซียมเป็นการกระตุ้นให้อีอนไนซ์ทรานสกลูทามิเนสมีกิจกรรมสูงขึ้น และเมื่อพิจารณาอุณหภูมิการบ่มที่ 40 องศาเซลเซียส ปริมาณของแคลเซียมคลอไรด์ที่เหมาะสมคือที่ระดับ 0.2% ($p < 0.05$) การเพิ่มปริมาณแคลเซียมให้สูงขึ้นเป็น 0.3% ไม่มีผลต่อการเพิ่มค่าแรง Yongsawatdigul et al. (2002) รายงานว่าปริมาณแคลเซียมไอออนที่ระดับ 0.2% เพิ่มค่าแรง ณ จุดแตกหักของซูริมิจากปลาทรายแดงได้สูงสุด นอกจากนี้ยังพบว่าประสิทธิภาพการเพิ่มค่าแรงโดยแคลเซียมจะเกิดขึ้นได้ดีที่สุดเมื่อบ่มที่ 40 องศาเซลเซียส ซึ่งผลที่ได้คล้ายคลึงกับเจลปลานิล นอกจากนี้ Lee and Park (1998) พบว่าปริมาณของแคลเซียมที่เหมาะสมแตกต่างกันตามสายพันธุ์ปลา โดยระดับของแคลเซียมที่เหมาะสมต่อการเพิ่มค่าความแข็งของเจลซูริมิจากปลา Alaska pollock คือ 0.05-0.1% ในขณะที่ระดับที่เหมาะสมในเจลซูริมิจากปลา Pacific whiting คือ 0.2% ความแตกต่างดังกล่าวเกิดจากปริมาณแคลเซียมไอออนในเนื้อปลาแตกต่างกัน (Lee and Park, 1998) เนื้อปลาที่มีปริมาณไอออนต่ำจำเป็นต้องมีการเติมแคลเซียมในปริมาณที่สูงกว่าเพื่อกระตุ้นการทำงานของทรานสกลูทามิเนส นอกจากนี้กิจกรรมของทรานสกลูทามิเนสในเนื้อปลาที่แตกต่างกันอาจส่งผลให้ระดับแคลเซียมที่เหมาะสมต่อการเพิ่มค่าความแข็งของเจลแตกต่างกัน



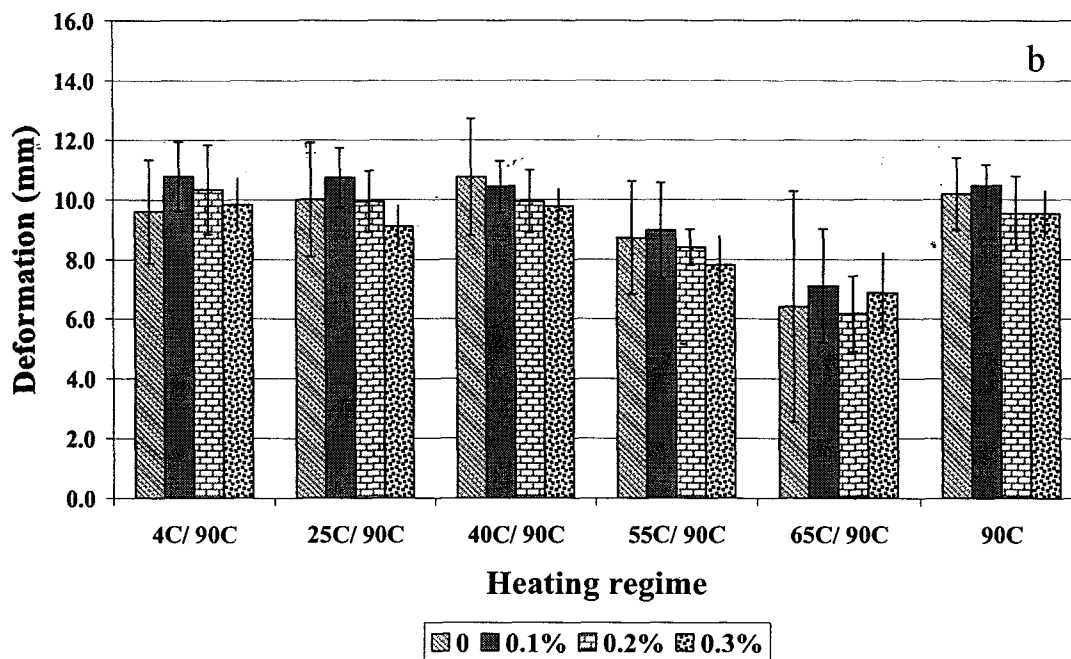
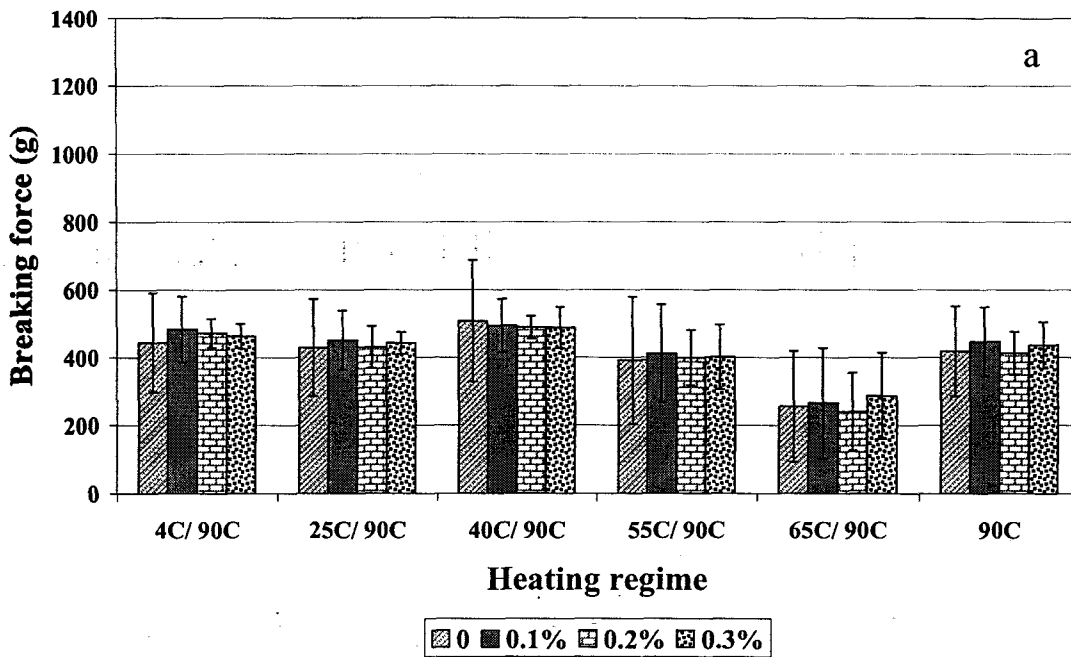
รูปที่ 7 ค่าแรง (a) และระยะทาง (b) ณ จุดแตกหัก ของเจลจากเนื้อปลานิลที่ระดับการเติมแคลเซียมไอออนต่างๆและบ่มที่อุณหภูมิต่างๆ 4C=บ่มที่ 4 องศาเซลเซียส 24 ชั่วโมง 25C=บ่มที่ 25 องศาเซลเซียส 4 ชั่วโมง 40C 55C 65C = บ่มที่ 40, 55, 65 องศาเซลเซียสตามลำดับ 1 ชั่วโมง 90C=ให้ความร้อนที่ 90 องศาเซลเซียส 30 นาที

ระดับแคลเซียมไม่มีผลต่อค่าระยะทาง ณ จุดแตกหัก ($p>0.05$) เจลซึ่งบ่มที่ 4, 25, 40, 55 องศาเซลเซียส และเจลที่ไม่ได้บ่ม มีค่าระยะทางสูงกว่าตัวอย่างบ่มที่ 65 องศาเซลเซียส ($p<0.05$) (รูปที่ 7b) จากการศึกษาที่มีมาก่อน พันธะไอโซเปปไทด์ที่เกิดขึ้นเนื่องจากกิจกรรมทรานสกลูตามิเนส มักส่งผลเพิ่มค่าแรงและ shear stress แต่จะไม่มีผลต่อค่าระยะทางและ shear strain (Lee and Park, 1998; Yongsawatdigul et al., 2002)

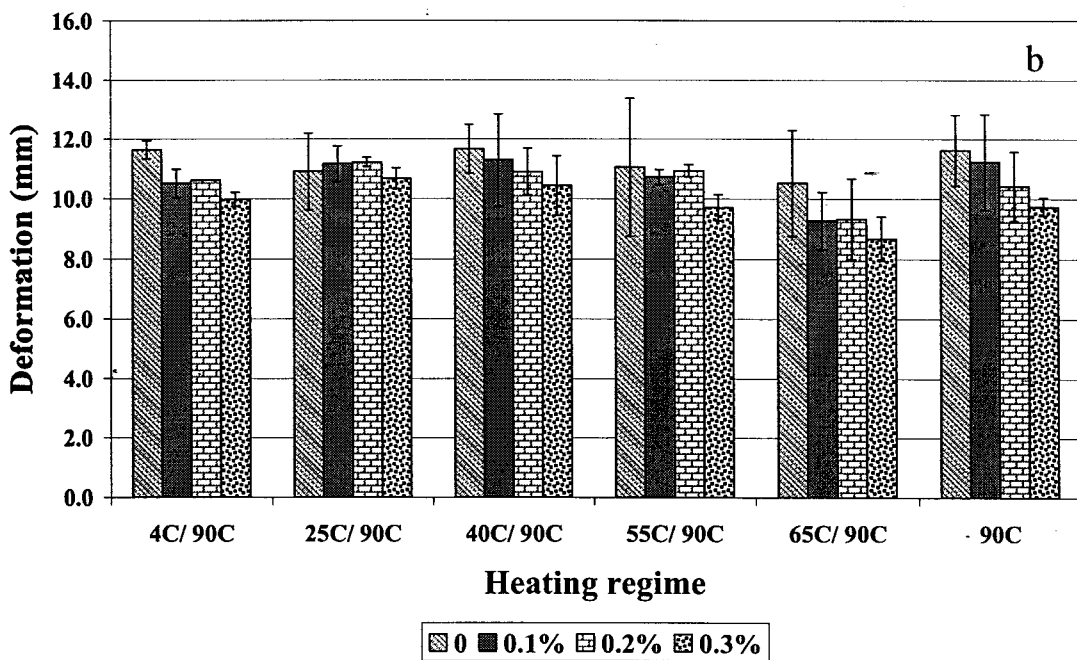
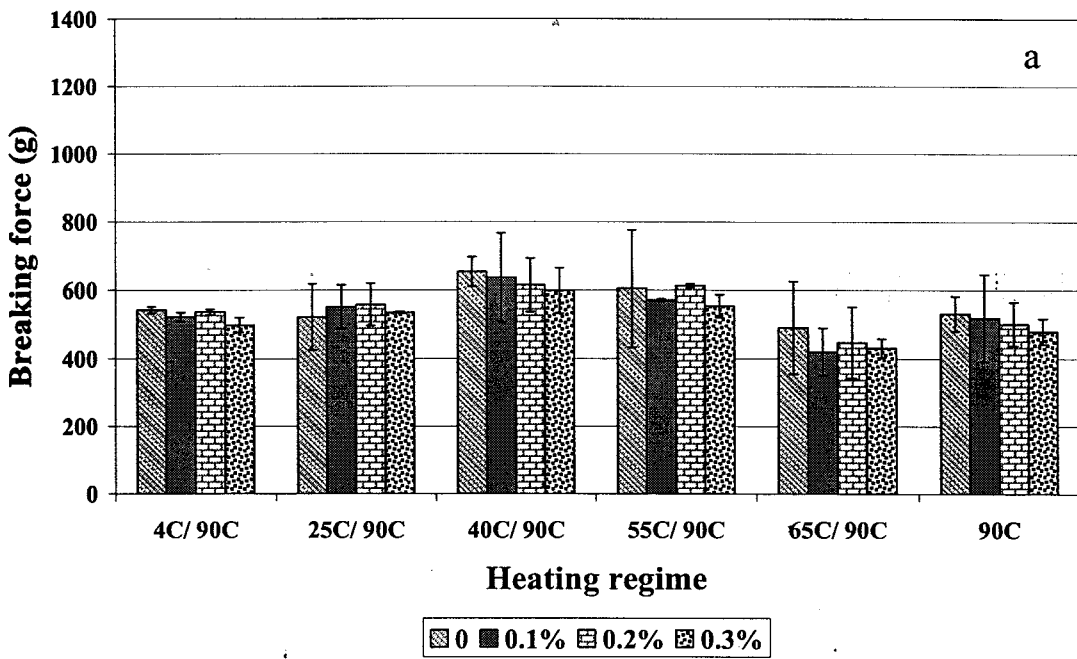
เจลจากเนื้อปลายี่สกเทศมีค่าแรง ณ จุดแตกหักต่ำกว่าเจลจากปลานิลที่อุณหภูมิการบ่มใดๆ ($p<0.05$) (รูปที่ 8a,b) และเจลจากปลายี่สกเทศมีค่าระยะทาง ณ จุดแตกหักต่ำกว่าปลานิลและปลานวลจันทร์ (รูปที่ 9a,b) อุณหภูมิที่เหนียวทำให้เกิดเซตติงในเจลปลายี่สกเทศคือที่ 40 องศาเซลเซียส ($p<0.05$) (รูปที่ 8a) การลดลงของค่าแรงและระยะทางเกิดขึ้นอย่างเด่นชัดเมื่อบ่มเจลที่ 65 องศาเซลเซียสเป็นเวลา 1 ชั่วโมง ($p<0.05$) (รูปที่ 8a) ทั้งนี้อาจเกิดจากกิจกรรมโปรตีนเอส ดังจะเห็นได้จากกิจกรรมการย่อยสลายโปรตีนกล้ามเนื้อของปลายี่สกเทศมีค่าสูงสุด (ตารางที่ 4) และเมื่อพิจารณากิจกรรมทรานสกลูตามิเนสแล้วพบว่ามีการเพิ่มต่ำกว่าปลานิล ดังนั้นการเพิ่มขึ้นของค่าแรงเนื่องจากเซตติงจึงไม่สูงเมื่อเทียบกับปลานิล เป็นที่น่าสังเกตว่าการบ่มที่ 55 องศาเซลเซียสเป็นเวลา 1 ชั่วโมงมีผลเสียต่อคุณภาพทางเนื้อสัมผัสของเจลปลายี่สกเทศทั้งในด้านค่าแรงและระยะทาง (รูปที่ 8a,b) เนื่องจากกิจกรรมโปรตีนเอสที่ค่อนข้างสูง การบ่มที่อุณหภูมิสูง (55-65 องศาเซลเซียส) เป็นเวลานานทำให้เกิดการเสื่อมสลายของเจล

อุณหภูมิที่สามารถเหนียวทำให้เกิดเซตติงในปลานวลจันทร์คือ 40-55 องศาเซลเซียส (รูปที่ 9a) การบ่มที่ 4 หรือที่ 25 องศาเซลเซียส ไม่มีผลเพิ่มความแข็งของเจล (gel strength) ดังจะเห็นว่าค่าความแรงและระยะทาง ณ จุดแตกหักของตัวอย่างที่บ่มทั้งสองมีค่าไม่แตกต่างจากตัวอย่างที่ไม่ได้บ่ม (90C) ($p>0.05$) การเสื่อมสลายของโปรตีนกล้ามเนื้อเนื่องจากกิจกรรมโปรตีนเอสเกิดขึ้นที่ 65 องศาเซลเซียส ทำให้ค่าแรงและระยะทาง ณ จุดแตกหักลดลงเมื่อเทียบกับตัวอย่างที่ไม่ได้บ่ม

แคลเซียมไม่มีผลเพิ่มค่าความแข็งแรงและระยะทางของเจลจากปลายี่สกเทศและปลานวลจันทร์ ($p<0.05$) ไม่ว่าที่สภาวะการบ่มใดๆ ทั้งนี้อาจเป็นเพราะกิจกรรมของทรานสกลูตามิเนสในกล้ามเนื้อปลาทั้ง 2 ชนิดนี้มีค่าต่ำกว่าในเนื้อปลานิล (ตารางที่ 4) การเพิ่มแคลเซียมจึงไม่มีผลต่อการกระตุ้นกิจกรรมของทรานสกลูตามิเนส นอกจากนี้ปลาทั้งสองสายพันธุ์เป็นปลาที่มีก้างฝอยในกล้ามเนื้อ แม้ว่าในกระบวนการเตรียมเนื้อปลาบดมีการใช้รูตะแกรงขนาดเล็ก (เส้นผ่านศูนย์กลาง 3 มิลลิเมตร) เพื่อกำจัดก้างฝอยดังกล่าว แต่อาจไม่สามารถแยกก้างฝอยได้สมบูรณ์ ซึ่งเมื่อนำมาสัมผัสในขั้นตอนการเตรียมเจล สามารถทำให้ก้างฝอยเป็นชิ้นละเอียดเล็กได้ ซึ่งเป็นการเพิ่มปริมาณ



รูปที่ 8 ค่าแรง (a) และระยะทาง (b) ณ จุดแตกหัก ของเจลจากเนื้อปลาที่สกัดที่ระดับการเติม
แคลเซียมต่างๆ ตัวอักษรย่อเหมือนรูปที่ 7

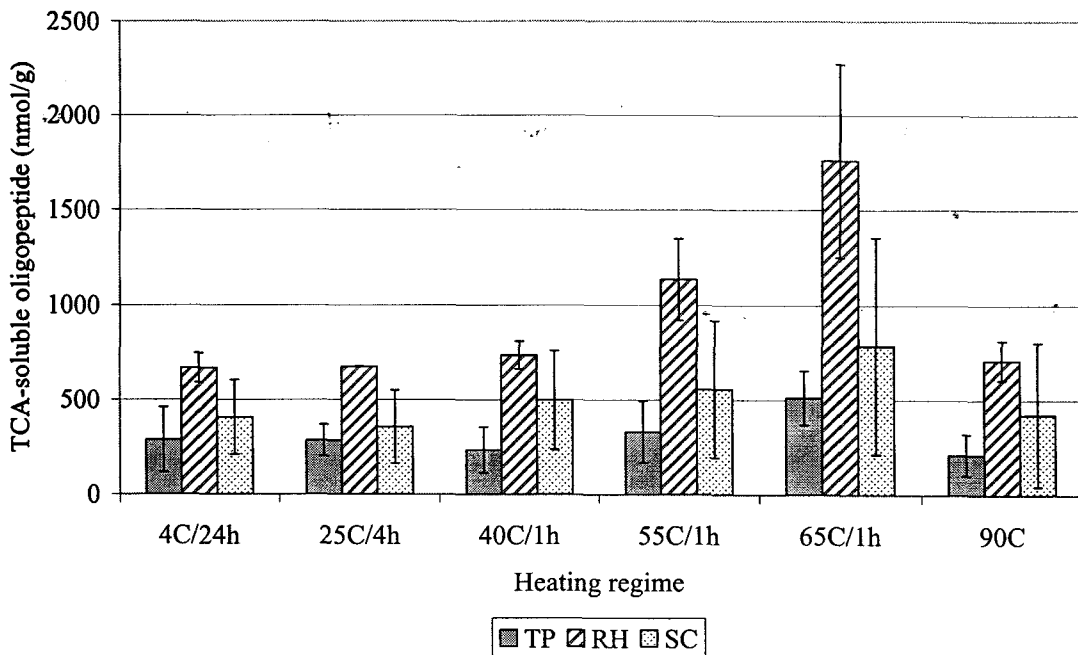


รูปที่ 9 ค่าแรง (a) และระยะทาง (b) ณ จุดแตกหัก ของเจลจากเนื้อปลานวลจันทร์ที่ระดับการเติม แคลเซียมไอออนต่างๆ ตัวอักษรย่อเหมือนรูปที่ 7

แคลเซียมในเนื้อปลาทางอ้อม ด้วยปริมาณแคลเซียมดังกล่าวประกอบกับกิจกรรมทรานสกลูทามิเนสที่ต่ำอยู่แล้วในเนื้อปลา จึงส่งผลให้การเติมแคลเซียมในระดับ 0.1-0.3% ไม่มีผลเพิ่มค่าความแข็งแรงของเจลจากทั้งปลายี่สกเทศและปลานวลจันทร์

3.2 ปริมาณโพลิโกเปปไทด์

ปริมาณโพลิโกเปปไทด์ของเจลจากปลา 3 ชนิดที่ศึกษาไม่แตกต่างกัน ($p>0.05$) (รูปที่ 10) การบ่มเนื้อปลาบดที่ 65 องศาเซลเซียสเป็นเวลา 1 ชั่วโมง ทำให้เกิดการเสื่อมสลายของโปรตีนกล้ามเนื้อปลาทั้ง 3 ชนิดเกิดขึ้นสูงสุด ($p<0.05$) (รูปที่ 10) ผลดังกล่าวสอดคล้องกับลักษณะทางเนื้อสัมผัส การบ่มที่ 4, 25 และ 40 องศาเซลเซียส ไม่ทำให้เกิดการเสื่อมสลายของโปรตีนกล้ามเนื้ออย่างเด่นชัดเนื่องจากปริมาณโพลิโกเปปไทด์ของตัวอย่างทั้ง 3 ไม่แตกต่างกัน ($p>0.05$) ในปลานวลจันทร์กิจกรรมการย่อยสลายกล้ามเนื้อโดยโปรติเนสเริ่มพบที่ 40 องศาเซลเซียส และเพิ่มสูงสุดที่ 65 องศาเซลเซียส อย่างไรก็ตามหากพิจารณาค่าแรง ณ จุดแตกหักของเจลปลานวลจันทร์มีค่าสูงสุดที่ 40 และ 55 องศาเซลเซียส การลดกิจกรรมของโปรติเนสอาจสามารถทำได้โดยการใช้สารยับยั้งโปรติเนส เช่น โซขาว โปรตีนจากเวย์ เป็นต้น แนวโน้มของการเปลี่ยนแปลงปริมาณโพลิโกเปปไทด์ที่ความ



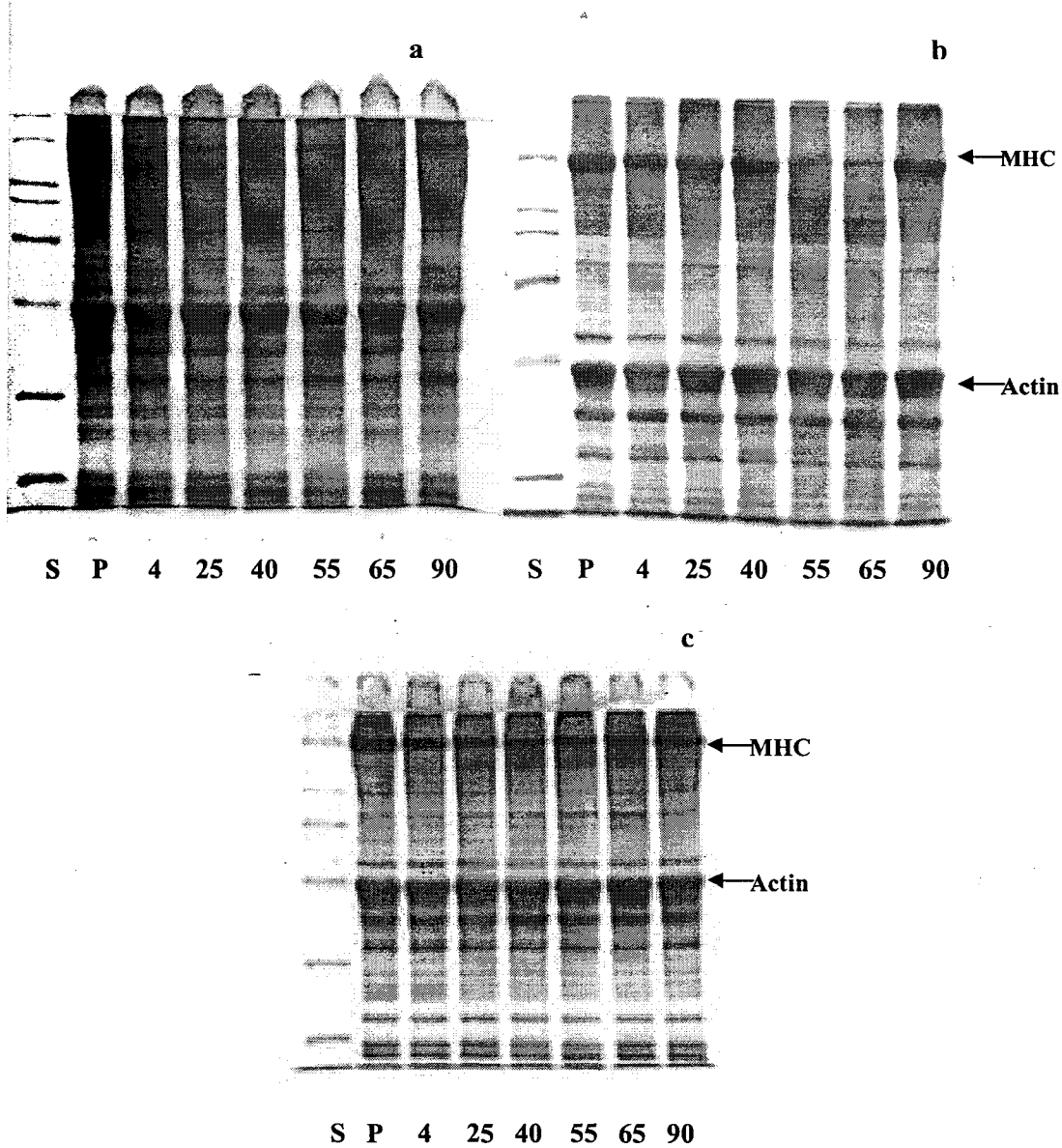
รูปที่ 10 ปริมาณโพลิโกเปปไทด์ในเจลเนื้อปลาชนิดต่างๆที่ไม่ได้เติมแคลเซียมไอออนและบ่มที่อุณหภูมิต่างๆ

เข้มข้นของแคลเซียมคลอไรด์ต่างๆ เป็นเช่นเดียวรูปที่ 10 จึงไม่ได้แสดงไว้ ณ ที่นี้ จากผลการศึกษานี้ อาจกล่าวได้ว่าแคลเซียมไม่มีผลต่อการเกิดปริมาณ โอลิโกเปปไทด์

3.3 การเปลี่ยนแปลงโปรตีนกล้ามเนื้อจากการวิเคราะห์ SDS-PAGE

มัยโอซินสายหลัก (myosin heavy chain) ของเจลปลานิลบ่มที่สภาวะต่างๆ ลดลง เมื่อเทียบกับตัวอย่างที่ไม่ได้รับความร้อน (รูปที่ 11a) การลดลงของมัยโอซินสายหลักที่แต่ละอุณหภูมิการบ่มไม่แตกต่างกัน โดยเฉพาะเมื่อเทียบกับตัวอย่างที่ไม่ได้บ่ม (90C) ดังนั้นการลดลงของมัยโอซินสายหลักที่สังเกตเห็นน่าจะเกิดเนื่องจากการให้ความร้อนมากกว่าเกิดจากการบ่มตัวอย่าง นอกจากนี้ไม่พบการเสื่อมสลายของมัยโอซินสายหลักอย่างเด่นชัดที่ 65 องศาเซลเซียส มัยโอซินสายหลักของปลาชี่สกเทศลดลงอย่างเห็นได้ชัดเมื่อบ่มที่ 65 องศาเซลเซียส 1 ชั่วโมง (รูปที่ 11b) นอกจากนี้ยังพบการเสื่อมสลายของแอกตินหรือซาร์โคพลาสติกโปรตีนที่มีขนาดประมาณ 45 กิโลดาลตัน แสดงให้เห็นถึงกิจกรรมโปรตีนสตีสูงของปลาชี่สกเทศซึ่งสอดคล้องกับปริมาณ โอลิโกเปปไทด์ที่เกิดขึ้นสูงสุด (รูปที่ 10) จากผลของโอลิโกเปปไทด์และ SDS-PAGE จะเห็นได้ว่าปลาชี่สกเทศเป็นปลาที่เกิดปรากฏการณ์เนื้ออยู่และมากที่สุดเมื่อเทียบกับปลานิลและปลานวลจันทร์ ซึ่งผลดังกล่าวอาจอธิบายสาเหตุที่เจลดจากปลาชี่สกเทศมีค่าต่ำ ดังนั้นการนำเนื้อปลาชี่สกเทศมาแปรรูปเป็นผลิตภัณฑ์เนื้อปลาสด หรือผลิตภัณฑ์อื่นๆ ที่ต้องมีกระบวนการให้ความร้อนจึงจำเป็นที่จะต้องคำนึงถึงกิจกรรมโปรตีนสตีในเนื้อปลาด้วย การให้ความร้อนอย่างรวดเร็วเพื่อยับยั้งโปรตีนสตีเช่น ohmic heating (Yongsawatdigul et al., 1995) หรือ microwave heating เป็นแนวทางหนึ่งในการลดปรากฏการณ์เนื้ออยู่และในผลิตภัณฑ์เนื้อปลาชี่สกเทศ

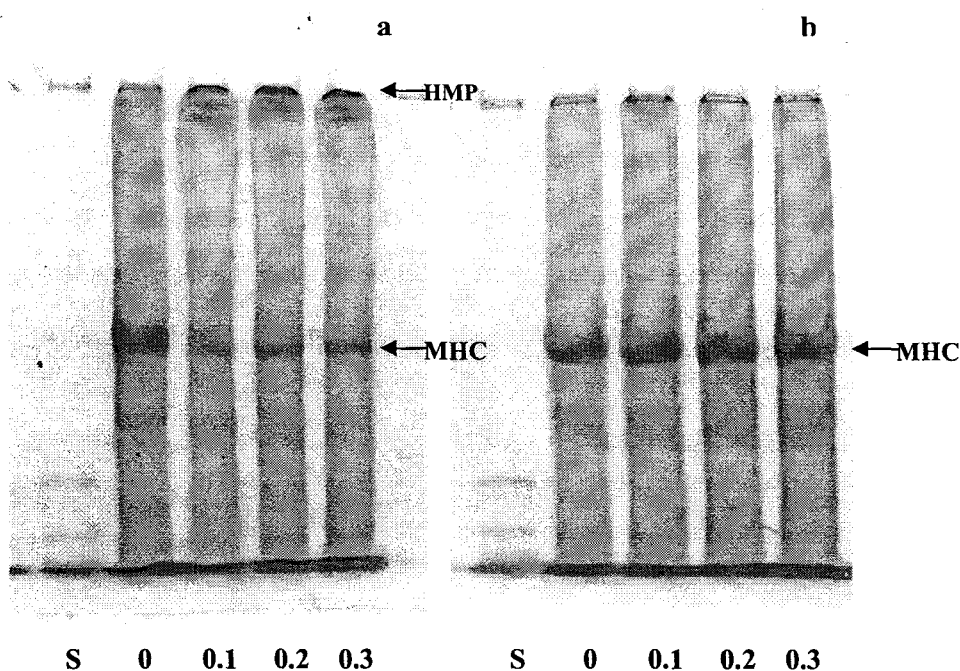
การเสื่อมสลายของมัยโอซินสายหลักในปลานิลและปลานวลจันทร์ไม่แตกต่างกัน (รูปที่ 11a,c) พบการเสื่อมสลายของมัยโอซินสายหลักในปลานิลและปลานวลจันทร์เมื่อบ่มที่ 65 องศาเซลเซียส แต่ในระดับที่น้อยกว่าปลาชี่สกเทศ ระดับความเข้มของแอกตินไม่เปลี่ยนแปลงที่อุณหภูมิการบ่มที่ศึกษา จะเห็นได้ว่าปรากฏการณ์เนื้ออยู่และอาจไม่ใช่ปัญหาสำคัญในปลานิลและปลานวลจันทร์ ดังนั้นปลาทั้งสองชนิดจึงเหมาะที่จะนำมาใช้เป็นวัตถุดิบสำหรับผลิตภัณฑ์ประเภทเจลด แม้การเสื่อมสลายของมัยโอซินสายหลักในปลานวลจันทร์จะใกล้เคียงกับปลานิล (รูปที่ 11a,c) แต่ปริมาณ โอลิโกเปปไทด์ในปลานวลจันทร์มีค่าสูงกว่าในปลานิล (รูปที่ 10) ผลดังกล่าวบ่งชี้ว่าการเสื่อมสลายอาจไม่ได้เกิดขึ้นเฉพาะที่มัยโอซินสายหลัก หรือแอกตินเท่านั้น แต่อาจเกิดขึ้นกับโปรตีนอื่นด้วย ซึ่งการเสื่อมสลายของโปรตีนเหล่านั้นอาจแสดงผลได้ไม่ชัดเจนบน SDS-PAGE เนื่องจากโปรตีนกล้ามเนื้อประกอบด้วยโปรตีนหลายชนิดที่มีขนาดหลากหลาย การเสื่อมสลายของโปรตีนโดยโปรตีนสตี



รูปที่ 11 SDS-PAGE ของเจลโปรตีนจากปลานิล (a) ปลายี่สกเทศ (b) และปลานวลจันทร์ (c) บ่มที่อุณหภูมิต่างๆ S= standard molecular weight, P=paste, 4-65=อุณหภูมิในการบ่มก่อนให้ความร้อนที่ 90 องศาเซลเซียส, 90=ตัวอย่างให้ความร้อนที่ 90 องศาเซลเซียสโดยไม่ได้บ่ม, MHC=myosin heavy chain

ทำให้ได้โปรตีนที่มีขนาดเล็กลงจนมีขนาดใกล้เคียงกับโปรตีนชนิดอื่น ทำให้เกิดการซ้อนทับบน SDS-PAGE ได้

เนื่องจากค่าแรง ณ. จุดแตกหักของเจลปลานิลบ่มที่ 40 องศาเซลเซียสเพิ่มขึ้นตามระดับแคลเซียม (รูปที่ 7a,b) ซึ่งคาดว่าเกิดขึ้นจากการเชื่อมโยงสายโปรตีนด้วยพันธะ ϵ -(γ -glutamyl)lysine ซึ่งเป็นพันธะโควาเลนต์จากการเร่งปฏิกิริยาโดยทรานสกลูตามิเนส ซึ่งเมื่อวิเคราะห์ด้วย SDS-PAGE ที่ความเข้มข้น 5% acylamide พบแถบโปรตีนที่มีมวลโมเลกุลใหญ่ (high molecular weight protein, HMP) ซึ่งไม่สามารถเคลื่อนที่เข้าสู่แผ่นเจลได้ในตัวอย่างที่เติมแคลเซียม 0.1-0.3% (รูปที่ 12a) ส่วนตัวอย่างที่ไม่ได้เติมแคลเซียม หรือเติมแคลเซียมแต่ไม่ได้บ่มจะไม่พบโปรตีนที่มีขนาดใหญ่ดังกล่าว (รูปที่ 12b) ผลดังกล่าวสนับสนุนสมมุติฐานที่ว่าคุณลักษณะทางเนื้อสัมผัสที่ดีขึ้นของเจลปลานิลเมื่อเติมแคลเซียมในระดับ 0.1-0.3% บ่มที่ 40 องศาเซลเซียสเกิดจากกิจกรรมทรานสกลูตามิเนส



รูปที่ 12 SDS-PAGE (5% acylamide) ของเจลปลานิลเติมแคลเซียมในระดับ 0-0.3% บ่มที่ 40 องศาเซลเซียส 1 ชั่วโมงและให้ความร้อนที่ 90 องศาเซลเซียส 30 นาที (a) และให้ความร้อนที่ 90 องศาเซลเซียส 30 นาที โดยไม่ได้บ่ม (b) S= Standard molecular weight, 0-0.3=ระดับการเติมแคลเซียมเป็น%, MHC = myosin heavy chain, HMP = high molecular weight protein

4. ผลของแคลเซียมไอออนต่อการเปลี่ยนแปลงรูปแบบโครงสร้างของแอกโตมัยโอซินจากปลาไนล

(Effect of calcium ion on conformational changes of tilapia actomyosin)

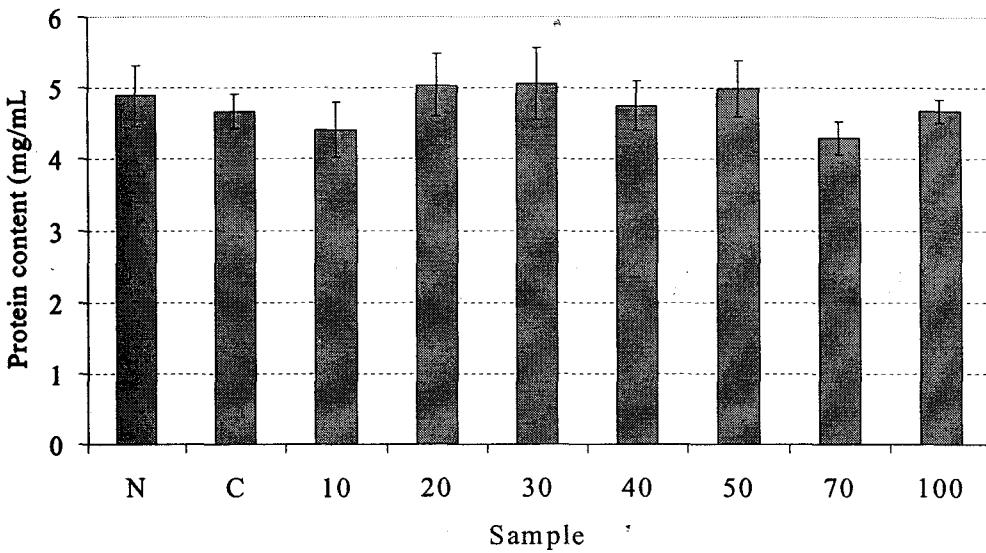
จากผลข้างต้นจะเห็นว่าแคลเซียมมีบทบาทในการเพิ่มค่าความแข็งของเจล เนื่องจากการกระตุ้นกิจกรรมของทรานสกลูทามิเนสในเนื้อปลาไนล ทำให้เกิดการเชื่อมโยงสายโปรตีน แต่เนื่องจากแคลเซียมไอออนมีผลในการทำให้โครงสร้างโปรตีนเกิดความไม่เสถียร (destabilize) โปรตีนเปิดตัวออก และมีความสามารถในการละลายมากขึ้น (salting in) ดังนั้นการเติมแคลเซียมจึงอาจมีผลต่อการเปลี่ยนแปลงรูปแบบโครงสร้าง (conformational changes) ของโปรตีนกล้ามเนื้อโดยตรง ซึ่งการเปลี่ยนแปลงดังกล่าวอาจมีผลต่อลักษณะเนื้อสัมผัสก็เป็นได้ ดังนั้นการศึกษาในส่วนนี้จึงมุ่งศึกษาผลของแคลเซียมต่อการเปลี่ยนแปลงรูปแบบโครงสร้างของแอกโตมัยโอซินจากปลาไนล

4.1 ผลของแคลเซียมต่อการละลายของโปรตีนกล้ามเนื้อ

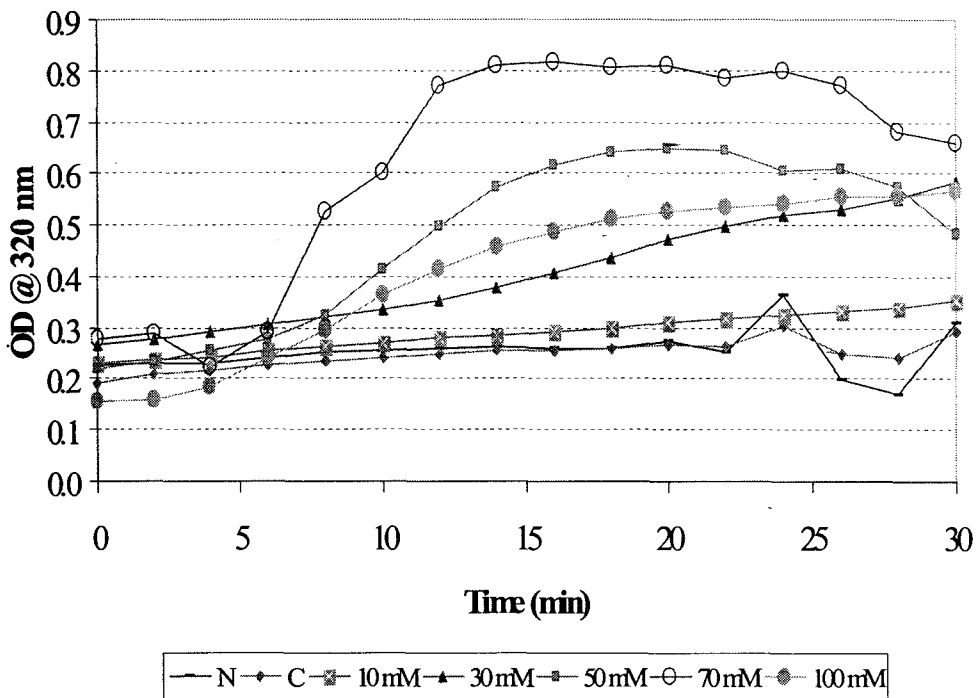
การเติมแคลเซียมในระดับ 10-100 มิลลิโมลาร์ไม่มีผลต่อการละลายของแอกโตมัยโอซิน ($p > 0.05$) (รูปที่ 13) ตัวอย่างควบคุม (C) คือตัวอย่างที่ไม่ได้เติมแคลเซียม แต่เนื่องจากในกล้ามเนื้อปลาอาจมีแคลเซียมอยู่ตามธรรมชาติบ้างในปริมาณน้อย เพื่อจัดผลของแคลเซียมในเนื้อปลา (endogenous calcium) ต่อการละลาย จึงเติม EGTA ซึ่งเป็นสารที่สามารถจับแคลเซียม (N) และจากการศึกษาพบว่าปริมาณแคลเซียมในกล้ามเนื้อปลาก็ไม่ได้มีผลต่อการละลายของแอกโตมัยโอซินปลาไนล

4.2 ผลของแคลเซียมต่อค่าความขุ่นของสารละลายแอกโตมัยโอซิน

ค่าความขุ่น (turbidity) ของสารละลายแอกโตมัยโอซินควบคุม (ไม่มีแคลเซียม C และ N) เปลี่ยนแปลงเพียงเล็กน้อยเมื่อบ่มที่ 40 องศาเซลเซียส 30 นาที ค่าความขุ่นเพิ่มสูงขึ้นเมื่อระดับแคลเซียมเพิ่มสูงขึ้น (รูปที่ 14) การเพิ่มขึ้นของค่าการดูดกลืนแสงที่ 320 นาโนเมตร เกิดจากการเกาะตัวของแอกโตมัยโอซิน (aggregation) ซึ่งเมื่อมีอนุภาคใหญ่ขึ้น การกระเจิงของแสงจึงมากขึ้น ดังนั้นอาจกล่าวได้ว่าการเพิ่มความเข้มข้นของแคลเซียมไอออน ทำให้แอกโตมัยโอซินเกาะตัวมากขึ้นที่ 40 องศาเซลเซียส การเกาะตัวของแอกโตมัยโอซินที่แคลเซียมเข้มข้น 70 มิลลิโมลาร์ เพิ่มสูงขึ้นมากกว่า 2 เท่าเมื่อเทียบกับตัวอย่างควบคุม เป็นที่น่าสังเกตว่าหากเพิ่มแคลเซียมจนถึงระดับ 100 มิลลิโมลาร์ความสามารถในการเกาะตัวมีค่าลดต่ำลง ความเข้มข้นของแคลเซียมที่สูงเกินไปมีผลทำให้เกิดแรงกระทำทางประจุไฟฟ้า (electrostatic interaction) ที่ไม่สมดุล และลดอันตรกิริยา (interaction) ระหว่างโปรตีนและโปรตีนลงได้



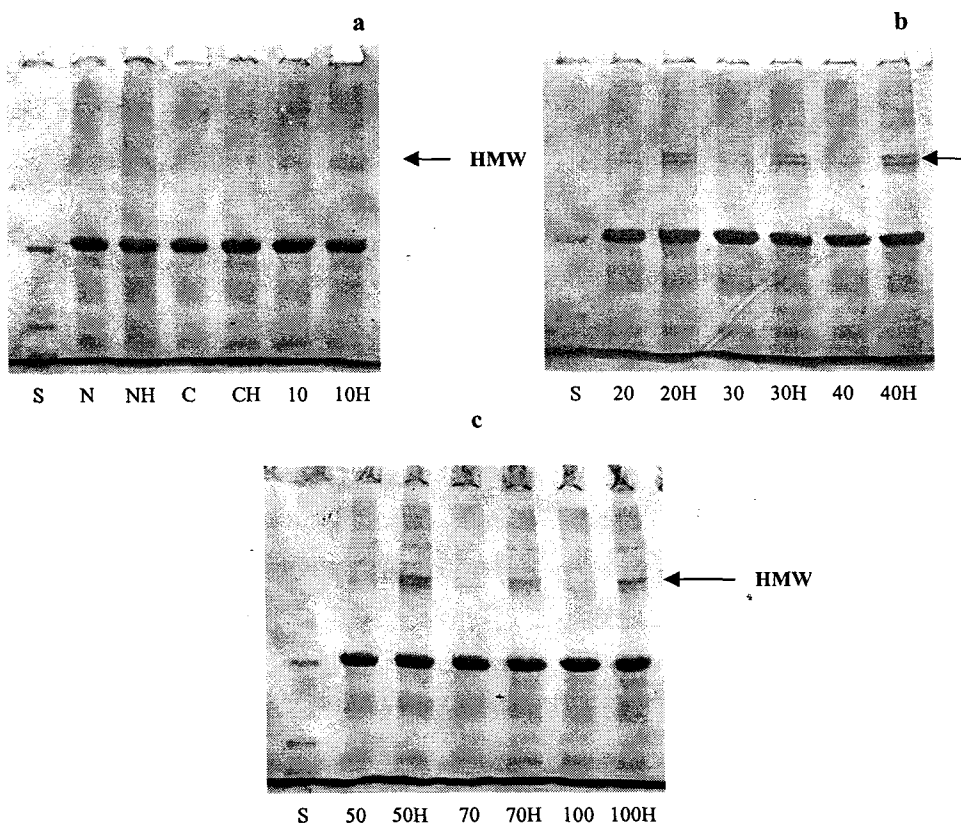
รูปที่ 13 ผลของระดับแคลเซียมต่อการละลายของแอคโตมัยโอซินปลานิด N=negative control (เติม EGTA), C=control, 10-100 = ความเข้มข้นของแคลเซียมในหน่วยมิลลิโมลาร์



รูปที่ 14 การเปลี่ยนแปลงค่าความขุ่นของสารละลายแอคโตมัยโอซินปลานิดบ่มที่ 40 องศาเซลเซียส 30 นาทีที่ระดับแคลเซียม 0-100 มิลลิโมลาร์

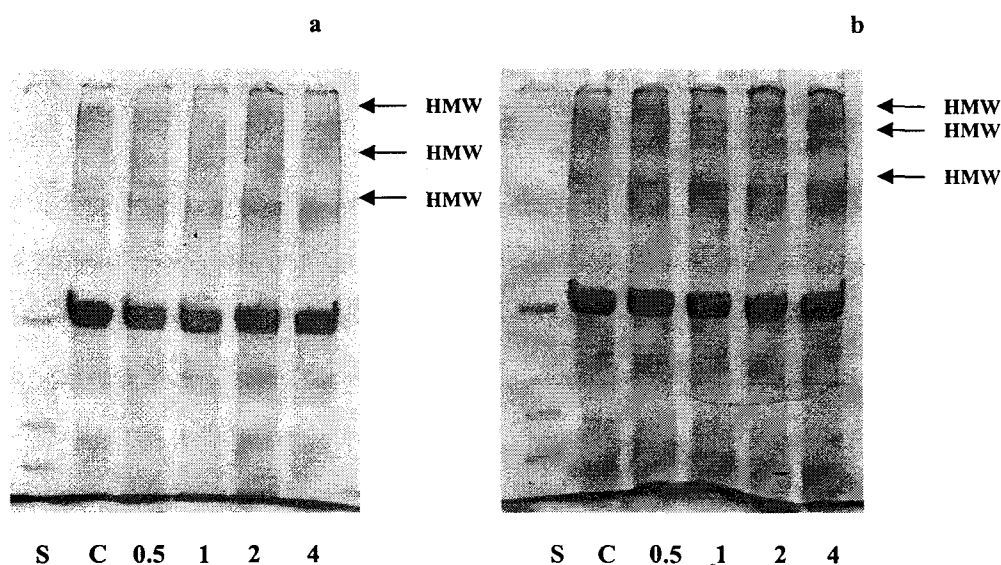
4.3 ผลของแคลเซียมต่อองค์ประกอบโปรตีนจากการวิเคราะห์โดย SDS-PAGE

เมื่อพิจารณาผลของ SDS-PAGE พบว่าการเพิ่มความเข้มข้นของแคลเซียมเหนี่ยวนำให้เกิดการเชื่อมโฆโมเลกุลขนาดใหญ่ (high molecular weight, HMW) เพิ่มขึ้นที่ 40 องศาเซลเซียส (รูปที่ 15) ซึ่งสอดคล้องกับผลของความขุ่น (turbidity) (รูปที่ 14) โฆโมเลกุลขนาดใหญ่นี้ไม่สามารถถูกแยกให้เป็นหน่วยเล็กได้ด้วยสารละลาย sodium dodecyl sulfate (SDS) และ β -mercaptoethanol (BME) แสดงว่าการเกาะตัวเป็นโฆโมเลกุลขนาดใหญ่ไม่ได้เกิดจากแรงกระทำไฮโดรโฟบิก และ/หรือ พันธะไดซัลไฟด์ พันธะไอโซเปปไทด์ซึ่งเกิดจากกิจกรรมของทรานสกลูตามิเนสที่อยู่ในกล้ามเนื้อปลา อาจเป็น



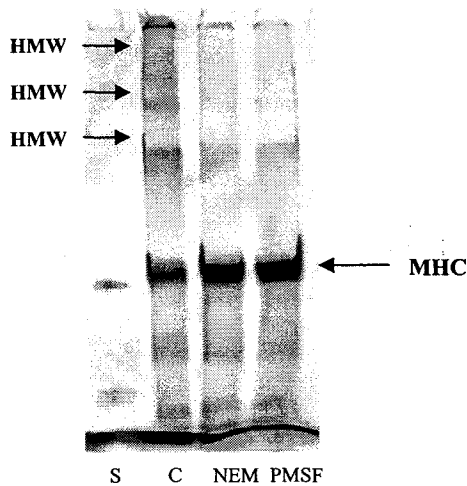
รูปที่ 15 SDS-PAGE ของสารละลายแอกโตมายซินปลาในสารละลายโซเดียมคลอไรด์เข้มข้น 0.4 โมลลาร์และอิมิดาโซลบัฟเฟอร์เข้มข้น 10 มิลลิโมลลาร์ (บ่มที่ความเข้มข้นแคลเซียม 10 มิลลิโมลลาร์ (a), 20-40 มิลลิโมลลาร์ (b), 50-100 มิลลิโมลลาร์ (c) S = standard molecular weight, N = negative control (+EGTA), C = control, 10-100 = ความเข้มข้นของแคลเซียมในหน่วยมิลลิโมลลาร์และไม่มีการบ่ม, 10H-100H = ตัวอย่างซึ่งมีแคลเซียมและบ่มที่ 40 องศาเซลเซียส 30 นาที

พันธะสำคัญที่ทำให้เกิดการยึดเกาะเป็น โมเลกุลขนาดใหญ่นี้ และเนื่องจากเอนไซม์ทรานสกลูตามิเนส เป็นเอนไซม์ที่ต้องการแคลเซียมไอออนเพื่อเร่งปฏิกิริยา ดังนั้นการเพิ่มแคลเซียมไอออนจึงส่งผลให้ ความสามารถในการเร่งปฏิกิริยาดีขึ้น เกิดเป็นโมเลกุลขนาดใหญ่เพิ่มขึ้นซึ่งสอดคล้องกับผลการศึกษา ใน 3.3 เป็นที่น่าสังเกตว่าการเพิ่มแคลเซียม ยังมีผลเพิ่มสารที่ขนาดโมเลกุลใหญ่แม้ในตัวอย่างที่ไม่ได้ ให้ความร้อนโดยเฉพาะที่แคลเซียมเข้มข้น 70 และ 100 มิลลิโมลาร์ โปรตีนที่มีโมเลกุลขนาดใหญ่มี ปริมาณเพิ่มขึ้นตามระยะเวลาในการบ่ม (รูปที่ 16) ซึ่งการเพิ่มขึ้นดังกล่าวอาจมีผลเนื่องจกกิจกรรม ทรานสกลูตามิเนสที่ไม่ได้ถูกกำจัดออกโดยสมบูรณ์ในช่วงของการสกัดแอคโตมัยโอซิน



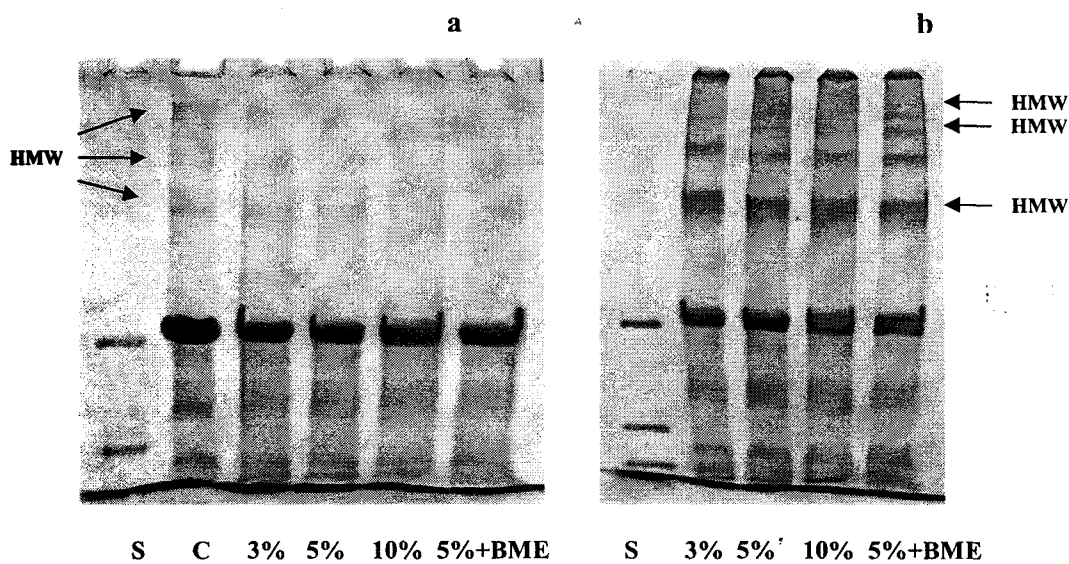
รูปที่ 16 SDS-PAGE ของสารละลายแอคโตมัยโอซินปลานินในสารละลายโซเดียมคลอไรด์ เข้มข้น 0.4 โมลาร์และอิมิดาโซลบัฟเฟอร์เข้มข้น 10 มิลลิโมลาร์ บ่มที่ความเข้มข้นแคลเซียมไอออน 70 มิลลิโมลาร์ (a), 100 มิลลิโมลาร์ (b) S = standard molecular weight, C = control, 0.5-4 = เวลาในการบ่มที่ 40 องศาเซลเซียสมีหน่วยเป็นชั่วโมง

เพื่อพิสูจน์ว่าโปรตีนที่มีโมเลกุลใหญ่ขึ้น เกิดจากกิจกรรมของทรานสกลูตามิเนสในกล้ามเนื้อปลา จึงได้ทดลองบ่มแอคโตมัยโอซินกับสารยับยั้งทรานสกลูตามิเนสคือ phenylmethanesulfonyl fluoride (PMSF) เข้มข้น 1 มิลลิโมลาร์และ N-ethylmaleimide (NEM) เข้มข้น 2 มิลลิโมลาร์ และพบว่าตัวอย่างที่เติมสารยับยั้งมีปริมาณ โปรตีนโมเลกุลใหญ่ลดลง (รูปที่ 17) ซึ่งแสดงว่ากิจกรรมทรานสกลูตามิเนสในเนื้อปลามีบทบาทสำคัญต่อการเพิ่มปริมาณโปรตีนโมเลกุลใหญ่



รูปที่ 17 SDS-PAGE ของสารละลายแอกโตมัยซินปลานิลในสารละลายโซเดียมคลอไรด์เข้มข้น 0.4 โมลาร์และอิมิดาโซลบัฟเฟอร์เข้มข้น 10 มิลลิโมลาร์ บ่มที่ความเข้มข้นแคลเซียม 100 มิลลิโมลาร์ (C) และมีสารยับยั้งทรานสกลูตามิเนส, NEM และ PMSF โดยบ่มที่ 40 องศาเซลเซียส 2 ชั่วโมง S = standard molecular weight

นอกจากพันธะโควาเลนต์ที่เกิดจากการเร่งปฏิกิริยาโดยทรานสกลูตามิเนสแล้ว ยังพบว่าแรงกระทำไฮโดรโฟบิกมีบทบาทสำคัญต่อการเกิดพอลิเมอร์ของแอกโตมัยโอซินปลานิล โดยแคลเซียมมีผลเพิ่มแรงกระทำไฮโดรโฟบิกระหว่างแอกโตมัยโอซิน เมื่อบ่มแอกโตมัยโอซินโดยไม่มีแคลเซียมที่ 40 องศาเซลเซียสเป็นเวลา 2 ชั่วโมง สารละลายแอกโตมัยโอซินสามารถละลายใน treatment buffer ได้ และสังเกตพบพอลิเมอร์ของแอกโตมัยโอซินเล็กน้อย (HMW) (รูปที่ 18a) แต่เมื่อนำตัวอย่างดังกล่าวละลายในสารละลาย SDS เข้มข้น 3-10% และสารละลาย SDS+BME พบว่า HMW หายไป ซึ่งบ่งชี้ว่า HMW ในตัวอย่างที่ไม่มีแคลเซียมอาจเกิดจากการรวมตัวด้วยแรงกระทำไฮโดรโฟบิก แต่เมื่อบ่มสารละลายแอกโตมัยโอซินที่แคลเซียมเข้มข้น 100 มิลลิโมลาร์ ปรากฏว่าสารละลายแอกโตมัยโอซินที่บ่มได้ไม่สามารถละลายใน treatment buffer และไม่สามารถ load ลงเจลได้ (รูปที่ 18b) แต่เมื่อนำสารละลายแอกโตมัยโอซินดังกล่าวมาละลายในสารละลาย SDS เข้มข้น 3-10% และสารละลาย SDS และ BME ปรากฏว่าสามารถแยกองค์ประกอบของแอกโตมัยโอซินได้(รูปที่ 18b) ซึ่งแสดงให้เห็นว่าแคลเซียมเข้มข้น 100 มิลลิโมลาร์ เหนี่ยวนำให้เกิด soluble aggregate ซึ่งเกาะกันด้วยพันธะไฮโดรโฟบิกเป็นสำคัญ นอกจากนี้พันธะไดซัลไฟด์ไม่ใช่พันธะหลักใน soluble aggregate เนื่องจากรูปแบบของ



รูปที่ 18 SDS-PAGE ของสารละลายแอกโตมัยโอซินบ่มที่ 40 องศาเซลเซียส 2 ชั่วโมง ในสถานะที่ไม่มีเติมแคลเซียม (a) และ แคลเซียม 100 มิลลิโมลาร์และละลายในสารละลาย SDS เข้มข้น 3-10% และ SDS เข้มข้น 5%+BME เข้มข้น 2%, S = standard molecular weight, C = ตัวอย่างที่ไม่ได้ละลายใน SDS

โปรตีนไม่แตกต่างกันระหว่างตัวอย่างที่ละลายในสารละลาย SDS และที่ละลายใน SDS+BME (รูปที่ 18b) HMW ที่ปรากฏในสถานะที่มีแคลเซียมคือพันธะโควาเลนต์ที่ไม่ใช่ไดซัลไฟด์ ซึ่งสันนิษฐานว่าเกิดขึ้นเนื่องจากกิจกรรมของทรานสกลูตามิเนส แต่ HMW ที่เกิดขึ้นในสถานะที่ไม่มีแคลเซียมนั้นเกิดจากแรงกระทำไฮโดรโฟบิกเป็นสำคัญ ผลดังกล่าวอธิบายลักษณะเนื้อสัมผัสของปลานิลใน 3.1 การบ่มเนื้อปลาโดยไม่เติมแคลเซียมที่ 40 องศาเซลเซียสทำให้ได้ค่าแรงที่สูงกว่าตัวอย่างที่ไม่ได้บ่ม ซึ่งเกิดขึ้นเนื่องจากแรงกระทำไฮโดรโฟบิกที่เพิ่ม แต่การบ่มในสถานะที่มีแคลเซียมจะยังทำให้ค่าแรงเพิ่มขึ้นทั้งนี้เนื่องจากการเกิด HMW ซึ่งเป็นการเชื่อมโยงโดยพันธะโควาเลนต์ที่ไม่ใช่ไดซัลไฟด์ (non-disulfide covalent bond)

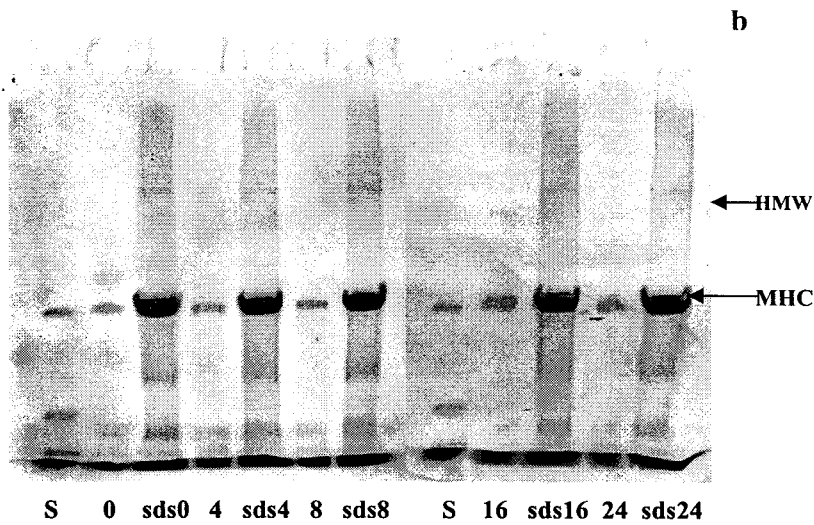
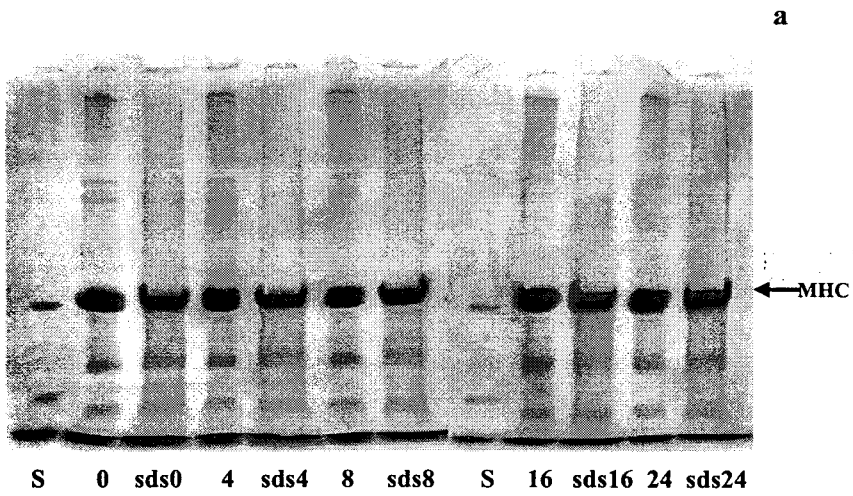
กล่าวโดยสรุปการบ่มแอกโตมัยโอซินปลานิลที่ 40 องศาเซลเซียสในสถานะที่มีแคลเซียมจะเหนี่ยวนำให้เกิด soluble aggregate และ HMW โดย soluble aggregate นั้นเป็นการเกาะตัวกันของแอกโตมัยโอซินด้วยแรงกระทำไฮโดรโฟบิก ส่วน HMW เกิดจากกิจกรรมของ ทรานสกลูตามิเนส การบ่มแอกโตมัยโอซินที่ 40 องศาเซลเซียสในสถานะที่ไม่มีแคลเซียมเหนี่ยวนำให้เกิด HMW เช่นกัน แต่

พันธะหลักที่เกิดขึ้นคือแรงกระทำไฮโดรโฟบิก ปริมาณแคลเซียมที่จำกัดในตัวอย่างที่ไม่ได้เติมแคลเซียมอาจไม่สามารถกระตุ้นกิจกรรมของทรานสกลูตามิเนสทำให้เกิดพันธะโควาเลนต์ได้

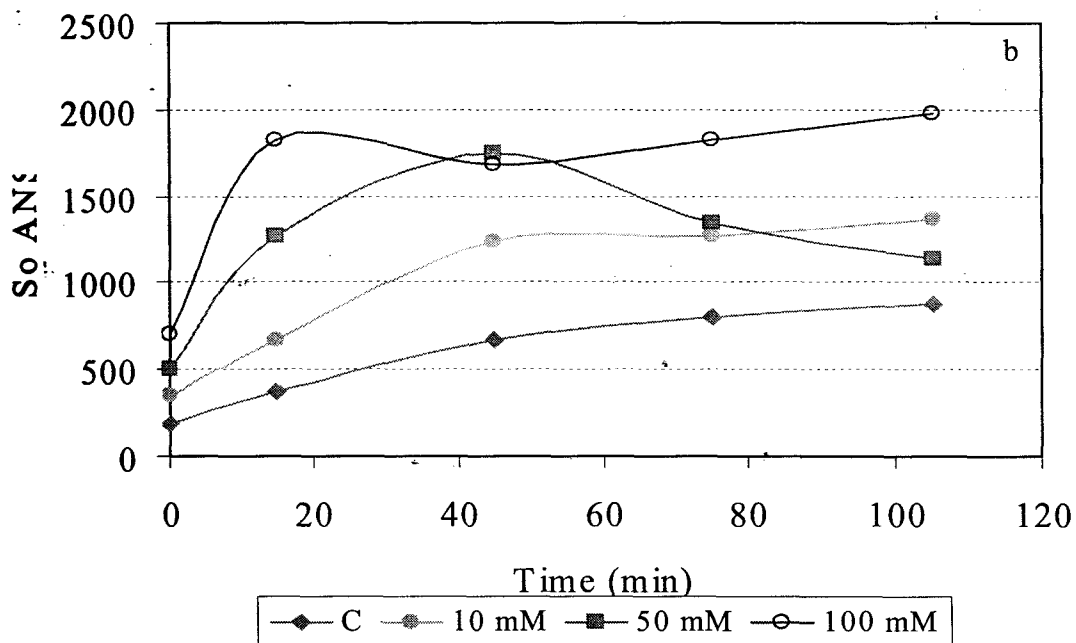
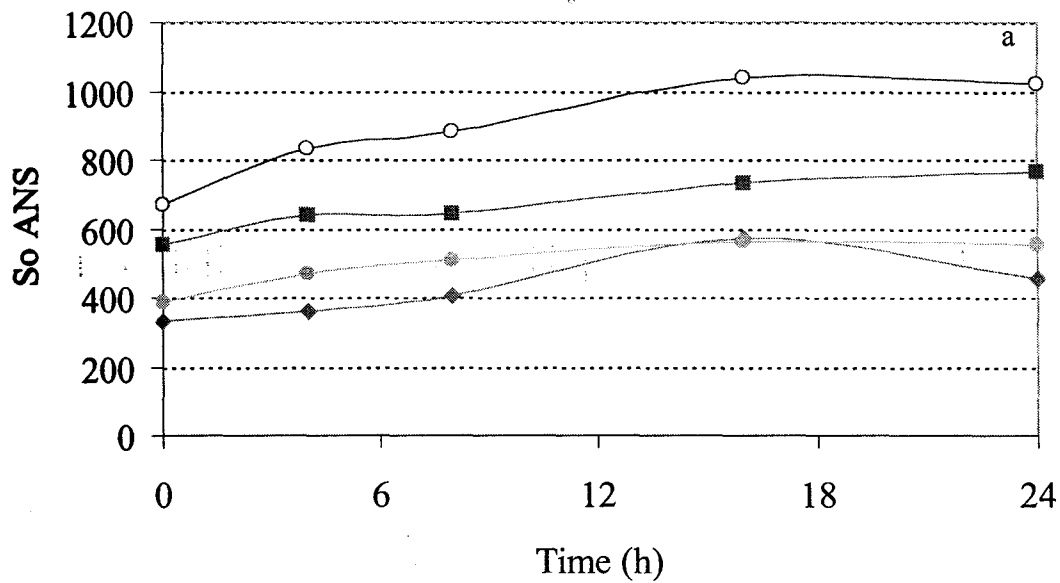
การเติมแคลเซียมนอกจากจะมีผลต่อการเกิด soluble aggregate ของแอกโตมัยโอซินที่ 40 องศาเซลเซียสแล้ว ยังมีผลต่อการเกิด soluble aggregate ที่ 4 องศาเซลเซียสด้วย ในสภาวะที่ไม่มีแคลเซียมองค์ประกอบของแอกโตมัยโอซินที่ไม่ได้เติม SDS (0-24, รูปที่ 19a) และที่เติม SDS (sds0-24, รูปที่ 19a) มีลักษณะคล้ายกัน แสดงว่าไม่เกิด soluble aggregate แต่ที่แคลเซียมเข้มข้น 100 มิลลิโมลาร์ ตัวอย่างที่ไม่ได้ละลายด้วย sds พบมัยโอซินสายหลักเพียงเล็กน้อย (0-24, รูปที่ 19b) และเมื่อนำไปละลายด้วย SDS พบมัยโอซินสายหลักกลับคืนมา (sds0-24, รูปที่ 19b) ซึ่งแสดงว่าแอกโตมัยโอซินเกิด soluble aggregate ขึ้นในสภาวะที่แคลเซียมเข้มข้น 100 มิลลิโมลาร์ โดยพันธะที่ทำให้เกิด soluble aggregate คือพันธะไฮโดรโฟบิก เนื่องจากถูกทำลายด้วยสารละลาย SDS

4.4 ผลของแคลเซียมต่อการเปลี่ยนแปลงพื้นผิวไฮโดรโฟบิกของแอกโตมัยโอซิน

จากผล SDS-PAGE ได้บ่งชี้ว่านอกจากแคลเซียมจะมีผลต่อการเกิดพันธะโควาเลนต์โดยทรานสกลูตามิเนสแล้ว แคลเซียมยังมีผลเหนี่ยวนำให้เกิดแรงกระทำไฮโดรโฟบิกทั้งที่ 4 และ 40 องศาเซลเซียส ซึ่งแรงกระทำดังกล่าวทำให้เกิด soluble aggregate ของแอกโตมัยโอซิน เพื่อพิสูจน์ว่าแคลเซียมมีผลเหนี่ยวนำให้เกิดแรงกระทำไฮโดรโฟบิก จึงวิเคราะห์ปริมาณพื้นผิวไฮโดรโฟบิกของแอกโตมัยโอซิน ในตัวอย่างควบคุมซึ่งไม่มีแคลเซียม ค่าพื้นผิวไฮโดรโฟบิกเพิ่มขึ้นเมื่อระยะเวลาในการบ่มที่ 4 และ 40 องศาเซลเซียสเพิ่มขึ้น (รูปที่ 20a,b) โดยค่าพื้นผิวไฮโดรโฟบิกของแอกโตมัยโอซินบ่มที่ 40 องศาเซลเซียสเพิ่มขึ้นในอัตราที่สูงกว่าที่ 4 องศาเซลเซียส การเพิ่มขึ้นของค่าพื้นผิวไฮโดรโฟบิกเป็นการบ่งชี้ถึงการเปิดตัวออก (unfold) ของโปรตีน การเปิดตัวออกของโปรตีนที่ 40 องศาเซลเซียสเกิดขึ้นมากกว่าที่ 4 องศาเซลเซียส เนื่องจากอุณหภูมิที่แอกโตมัยโอซินในปลาสุญเสียสภาพธรรมชาติ (denature) คือที่ 30-40 องศาเซลเซียส (Lanier, 2000; Yongsawatdigul and Park, 2003) การเพิ่มปริมาณแคลเซียมมีผลให้การเปลี่ยนแปลงพื้นผิวไฮโดรโฟบิกของแอกโตมัยโอซินเพิ่มขึ้นทั้งที่ 4 และ 40 องศาเซลเซียส (รูปที่ 20a,b) ดังนั้นแคลเซียมจึงมีผลเหนี่ยวนำให้แอกโตมัยโอซินเปิดตัวออกมากขึ้นทั้งที่ 4 และ 40 องศาเซลเซียส เมื่อแอกโตมัยโอซินเปิดตัวออก จะเกิดอันตรกิริยาระหว่างโปรตีนด้วยแรงกระทำไฮโดรโฟบิก (hydrophobic interaction) ทำให้เกิด soluble aggregate ของแอกโตมัยโอซิน



รูปที่ 19 SDS-PAGE ของสารละลายแอกโตมัยซินปลานินในสารละลายโซเดียมคลอไรด์ เข้มข้น 0.4 โมลาร์และอิมิดาโซลบัฟเฟอร์เข้มข้น 10 มิลลิโมลาร์ โดยไม่มีแคลเซียม (a) และแคลเซียมเข้มข้น 100 มิลลิโมลาร์ (b) บ่มที่ 4 องศาเซลเซียสเป็นระยะเวลา 0-24 ชั่วโมง 0-24 = ตัวอย่างบ่มเป็นเวลาต่างๆและผสมกับ treatment buffer, sds0-sds24 = ตัวอย่างที่ละลาย SDS เข้มข้น 5% ก่อนผสม treatment buffer, S = standard molecular weight



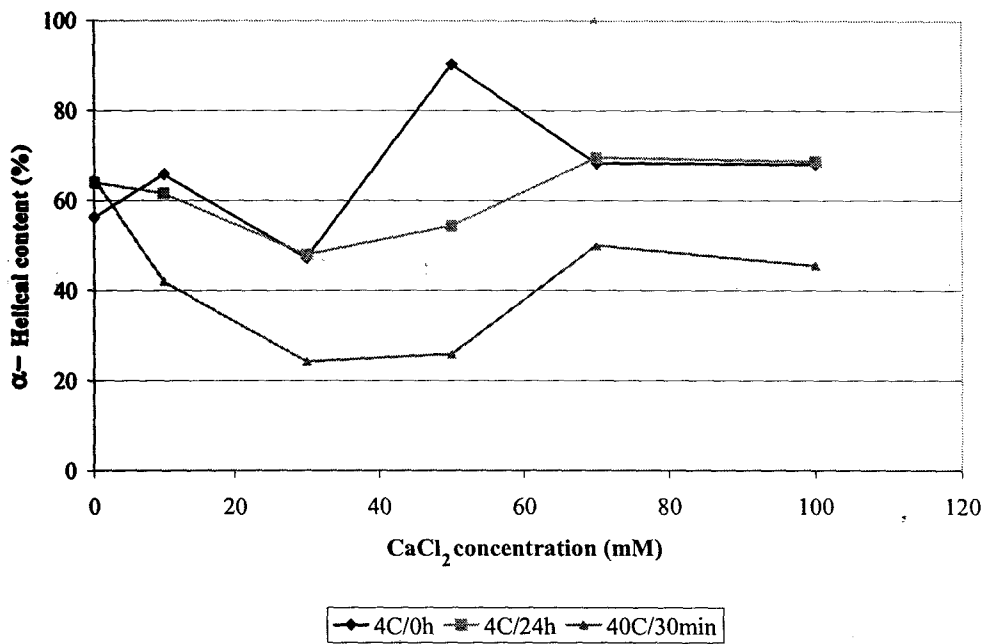
รูปที่ 20 การเปลี่ยนแปลงค่าพื้นที่ผิวไฮโดรโฟบิกของแอกโตมัยโอซินปลาไนล์ที่ระดับแคลเซียมต่างๆ และ บ่มที่ 4 องศาเซลเซียส (a) และ 40 องศาเซลเซียส (b) เป็นระยะเวลาต่างๆ

4.5 ผลของแคลเซียมต่อโครงสร้างทุติยภูมิของแอกโตมัยโอซิน

ที่ 4 องศาเซลเซียส แคลเซียมมีผลคล้ายกับช่วยเสถียรโครงสร้างทุติยภูมิของแอกโตมัยโอซิน ปลาย (รูปที่ 21a) เมื่อบ่มเป็นเวลา 24 ชั่วโมง โครงสร้างเฮลิคซ์ (helix) เปลี่ยนแปลงเล็กน้อยเมื่อเทียบกับเริ่มต้นที่ทุกระดับความเข้มข้นของแคลเซียม (ไม่ได้แสดง) ซึ่งสอดคล้องกับการเปลี่ยนแปลงพื้นผิวไฮโดรโฟบิกซึ่งเปลี่ยนแปลงเพียงเล็กน้อยเช่นกันเมื่อบ่มที่ 4 องศาเซลเซียสเป็นเวลา 24 ชั่วโมง (รูปที่ 20a) แต่เมื่อให้ความร้อนที่ 40 องศาเซลเซียส 30 นาที เกิดการสูญเสียโครงสร้างทุติยภูมิของแอกโตมัยโอซินอย่างเห็นได้ชัด (รูปที่ 21b) ซึ่งเกิดขึ้นจากความร้อน แคลเซียมมีผลเหนี่ยวนำให้เกิดการสูญเสียโครงสร้างในระดับทุติยภูมิมากขึ้น โดยเกิดการสูญเสียโครงสร้างทุติยภูมิมากที่สุดที่ระดับแคลเซียม 50 มิลลิโมลาร์ (รูปที่ 21b) โครงสร้างเฮลิคซ์ลดลงตามระดับแคลเซียมที่เพิ่มขึ้น (รูปที่ 22) การสูญเสียโครงสร้างในระดับทุติยภูมิที่ 40 องศาเซลเซียส สอดคล้องกับการเพิ่มปริมาณพื้นผิวไฮโดรโฟบิกของโปรตีน การบ่มแอกโตมัยโอซินที่ 40 องศาเซลเซียสทำให้โปรตีนเปิดตัวออก เกิดการสูญเสียโครงสร้างทุติยภูมิ โครงสร้างเฮลิคซ์ลดลง การเพิ่มแคลเซียมมีผลทำให้ระดับการเปิดตัวออกของโปรตีนมากขึ้น และโครงสร้างทุติยภูมิลดลงมากขึ้นด้วย การเปลี่ยนแปลงดังกล่าวส่งผลให้ปริมาณพื้นผิวไฮโดรโฟบิกของแอกโตมัยโอซินเพิ่มขึ้น ซึ่งเหนี่ยวนำให้เกิดแรงกระทำไฮโดรโฟบิกระหว่างแอกโตมัยโอซินเพิ่มขึ้นด้วย ดังนั้นการเกิดเซตติงที่ 40 องศาเซลเซียสนั้น เป็นผลมาจากกิจกรรมทรานสกลูตามิเนสซึ่งถูกกระตุ้นเมื่อมีปริมาณแคลเซียมที่เหมาะสม ทำให้เกิดพันธะ ϵ -(γ -glutamyl)lysine นอกจากนี้แคลเซียมยังมีผลเหนี่ยวนำให้เกิดการเปลี่ยนแปลงโครงสร้างทุติยภูมิของแอกโตมัยโอซินที่ 40 องศาเซลเซียส ซึ่งการเปลี่ยนแปลงโครงสร้างดังกล่าวเป็นการส่งเสริมแรงกระทำไฮโดรโฟบิกระหว่างสายแอกโตมัยโอซิน

4.6 ผลของแคลเซียมต่อคุณสมบัติทางเนื้อสัมผัสของแอกโตมัยโอซิน

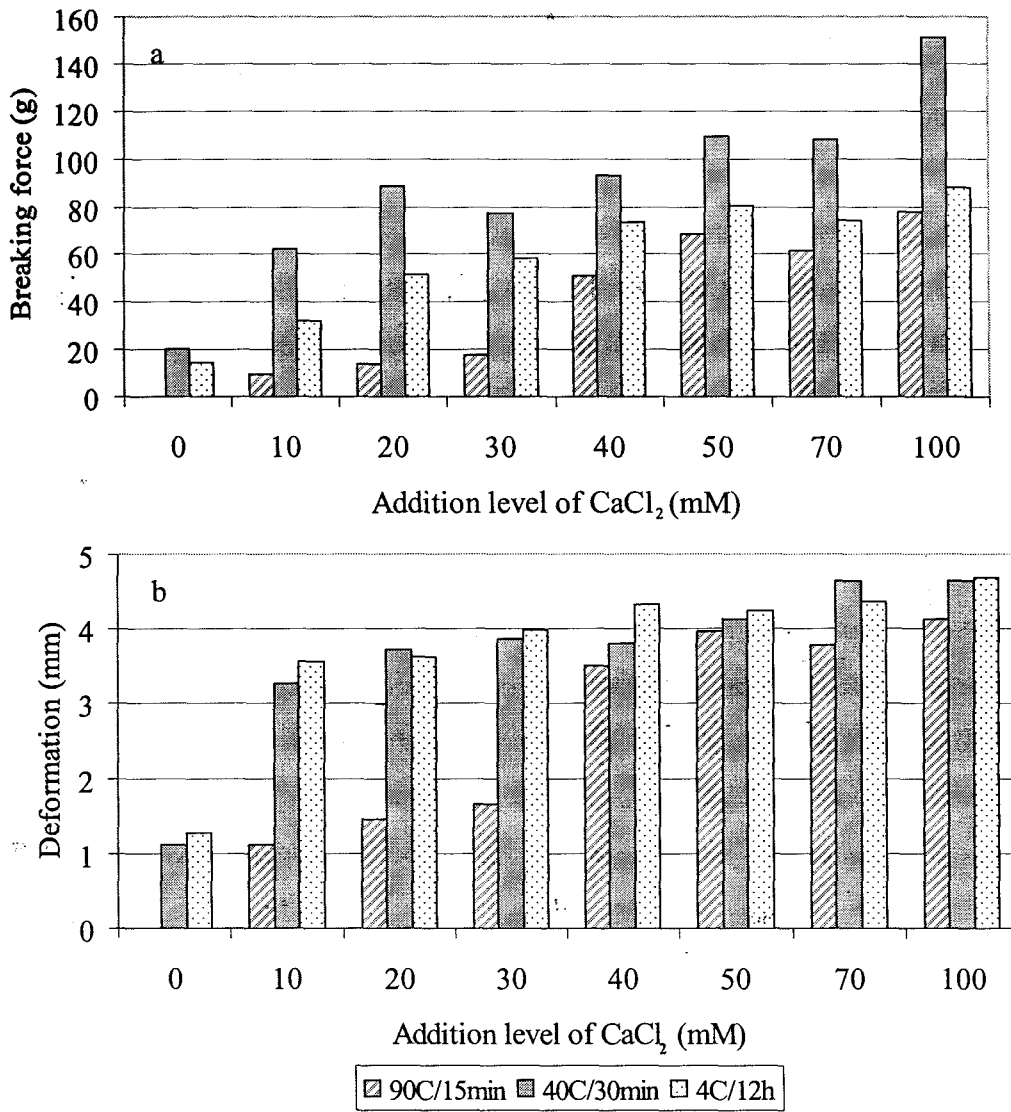
เมื่อให้ความร้อนแก่สารละลายแอกโตมัยโอซินที่ 90 องศาเซลเซียส 15 นาที ปรากฏว่าตัวอย่างที่ไม่ได้เติมแคลเซียมและที่เติมแคลเซียม 10-30 มิลลิโมลาร์ไม่เกิดเจล (รูปที่ 23a,b) สามารถวัดลักษณะเนื้อสัมผัสได้ที่ระดับแคลเซียม 40-100 มิลลิโมลาร์ การบ่มตัวอย่างที่ไม่มีแคลเซียมที่ 4 องศาเซลเซียส 12 ชั่วโมง เหนี่ยวนำให้เกิดเจล การเพิ่มปริมาณแคลเซียมทำให้ได้เจลที่ได้มีค่าแรงและระยะทาง ณ จุดแตกหักเพิ่มขึ้น ($p < 0.05$) แสดงให้เห็นว่าแคลเซียมเหนี่ยวนำให้เกิดการเซตตัวของสารละลายแอกโตมัยโอซินที่ 4 องศาเซลเซียส ซึ่งจากการศึกษาข้างต้นพันธะที่เหนี่ยวนำให้เกิดเจลในสภาวะการบ่มนี้คือแรงกระทำไฮโดรโฟบิก เป็นที่ยอมรับกันโดยทั่วไปว่าโปรตีนจากปลาในแถบร้อนไม่เกิดการเซตตัวที่อุณหภูมิต่ำ เนื่องจากโครงสร้างของมัยโอซินมีความเสถียรสูง อย่างไรก็ตามจากการศึกษานี้แสดงให้เห็น



รูปที่ 22 การเปลี่ยนแปลงโครงสร้างเฮลิกซ์ของแอกโตมัยโอซินที่ระดับแคลเซียมและสถานะการบ่ม
ต่าง ๆ

เห็นว่าโปรตีนกล้ำเนื่องจากปลาแถบร้อนเช่นปลานิล สามารถเกิดเซตคิงได้เมื่อมีปริมาณแคลเซียมเพียงพอ (> 10 มิลลิโมลาร์) ที่จะเหนี่ยวนำให้โปรตีนเปิดตัวออก และเกิดแรงกระทำไฮโดรโฟบิกได้

ปริมาณแคลเซียมมีผลเพิ่มคุณสมบัติทางเนื้อสัมผัสของเจลแอกโตมัยโอซินอย่างเด่นชัดเมื่อบ่มที่ 40 องศาเซลเซียส 30 นาที (รูปที่ 23b) ที่ระดับแคลเซียม 100 มิลลิโมลาร์ เจลแอกโตมัยโอซินมีค่าแรงสูงสุด ($p < 0.05$) การเพิ่มปริมาณแคลเซียมส่งผลให้เกิดการเร่งกิจกรรมของทรานสกลูตามิเนส ทำให้เกิดการเชื่อมโยงสายแอกโตมัยโอซินด้วยพันธะไอโซเปปไทด์ ϵ -(γ -glutamyl) lysine จึงทำให้ได้เจลที่มีความยืดหยุ่นมากขึ้น นอกจากนี้การเพิ่มแคลเซียมยังมีผลเพิ่มแรงกระทำไฮโดรโฟบิก ซึ่งเกิดจากการเพิ่มพันธะไฮโดรโฟบิกของแอกโตมัยโอซิน การเพิ่มทั้งพันธะเปปไทด์และแรงกระทำไฮโดรโฟบิก ส่งผลให้ได้เจลที่มีความแข็งและยืดหยุ่นเพิ่มขึ้น



รูปที่ 23 ค่าแรง (a) และระยะทาง ณ จุดแตกหัก (b) ของเจลแอคโตมัยโอซินปลานิลที่ระดับการเติมแคลเซียมและสถานะในการบ่ม

สรุป

กิจกรรมโปรตีนและทรานสกลูตามิเนสในกล้ามเนื้อปลามีบทบาทสำคัญต่อความสามารถในการเกิดเจล จากการศึกษาปลาน้ำจืด 9 ชนิดได้แก่ปลานิล ปลาช่อน ปลาหมอสี ปลานวลจันทร์ ปลาดุกแอฟริกัน ปลาดุกเทศ ปลาตะเพียน ปลาไน และปลาช่อน พบว่ามีกิจกรรมของเอนไซม์ทั้งสองแตกต่างกันขึ้นอยู่กับสายพันธุ์ โดยปลานิลเป็นปลาที่มีกิจกรรมทรานสกลูตามิเนสสูงสุด ในขณะที่ปลาดุกแอฟริกันมีกิจกรรมโปรตีนสูงสุด เมื่อเปรียบเทียบระหว่างปลานิล ปลาช่อน และปลานวลจันทร์ ปลานิลมีกิจกรรมทรานสกลูตามิเนสที่สูงและมีกิจกรรมโปรตีนที่ค่อนข้างต่ำ การบ่มเนื้อปลาที่ 40-55 องศาเซลเซียสซึ่งเป็นช่วงอุณหภูมิที่ทรานสกลูตามิเนสสามารถเร่งปฏิกิริยาได้ดี จะทำให้เกิดการเชื่อมโยงสายโปรตีนด้วยพันธะ ϵ -(γ -glutamyl)lysine มากขึ้น ในขณะที่การบ่มที่ 65 องศาเซลเซียสมีผลเร่งกิจกรรมโปรตีน ทำให้เกิดปรากฏการณ์เนื้อนุ่ม (texture softening) ซึ่งเห็นได้เด่นชัดในปลาช่อน การเติมแคลเซียมในระดับ 0.1-0.3% ร่วมกับการบ่มที่ 40 องศาเซลเซียส มีผลเพิ่มค่าแรงและระยะทาง ณ จุดแตกหักของเจลปลานิล เนื่องจากแคลเซียมมีผลกระตุ้น (activate) การทำงานของทรานสกลูตามิเนส นอกจากนี้แคลเซียมยังมีผลต่อการเปลี่ยนแปลงรูปแบบโครงสร้าง (conformation) ของโปรตีนกล้ามเนื้อ ทำให้แอกโตมัยโอซินเปิดตัว สูญเสียโครงสร้างในระดับทุติยภูมิโดยเฉพาะโครงสร้างแอลฟา-เฮลิกซ์ การเปลี่ยนแปลงโครงสร้างดังกล่าวทำให้พื้นผิวไฮโดรโฟบิกของโปรตีนเพิ่มขึ้น ทำให้เกิดแรงกระทำไฮโดรโฟบิกระหว่างสายแอกโตมัยโอซินเพิ่มขึ้น

เอกสารอ้างอิง

- มานพ ตั้งตรงไพโรจน์, สุจินต์ หนูขวัญ, ปกรณ์ อุ๋นประเสริฐ และ กำชัย ลาวัณยวุฒิ 2536. การเพาะเลี้ยงปลาตู้บึกก๊วย. กรมประมง กระทรวงเกษตรและสหกรณ์.
- An, H., Seymour, T. A., Wu, J. W., Morrissey, M. T. 1994. Assay systems and characterization of Pacific whiting (*Merluccius productus*) protease. *J Food Sci* 59: 277-281.
- Ashie, I.N.A., Lanier, T.C. 2000. Transglutaminases in seafood processing. . In *Seafood Enzymes Utilization and Influence on Postharvest Seafood Quality*, N.F. Haard and B.K. Simpson (Eds.), p. 147-166. Marcel Dekker, Inc., New York.
- Cao, M.J., Hara, K., Osatomi, K., Tachibana, K., Isumi, T., Ishihara, T. 1999. Myofibril-bound serine proteinase (MBP) and its degradation of myofibrillar proteins. *J. Food Sci.* 64: 644-647.
- Cao, M.J., Osatomi, K., Hara, K., Ishihara, T. 2000. Identification of a myofibril-bound proteinase (MBSP) in the skeletal muscle of lizard fish *Saurida wanieso* which specially cleaves the arginine site. *Comp. Biochem Physio B.* 125: 255-264.
- Choi, Y.J., Cho, Y.J., Lanier, T.C. 1999. Purification and characterization of proteinase from Atlantic menhaden muscle. *J. Food Sci.* 64: 772-775.
- Folk, J.E. 1980. Transglutaminase. *Ann. Rev. Biochem.* 49:517-531.
- Folk, J.E., Cole, P.W. 1966. Identification of a functional cysteine essential for the activity of guinea pig liver transglutaminase. *J. Bio. Chem.* 41: 3238-3240.
- Huff-Lonergan, E., Mitsuhashi, T., Parrish, F. C. Jr., Robson, R. M. 1996. Sodium dodecyl sulfate-polyacrylamide gel electrophoresis and western blotting comparisons of purified myofibrils and whole muscle preparation for evaluating titin and nebulin in postmortem bovine muscle. *J. Anim. Sci.* 74: 779-785.
- Iwata, K., Kobashi, K., Hase, J. 1974. Studies on muscle alkaline proteinase III distribution of alkaline protease in muscle of freshwater fish, marine fish, and in internal organs of carp. *Bull Jpn Soc Sci Fish.* 40: 201-209.
- Jiang, S.T., Wang, Y.T., Chen, C.S. 1992. Lysisomal enzyme effects on the postmortem changes in tilapia (*Tilapia nilotica* x *T. aurea*) muscle myofibrils. *J. Food Sci.* 57: 277-279, 282.

- Jiang, S.T., Wang, J.H., Chen, C.S. 1991. Purification and some properties of calpain II from tilapia muscle (*Tilapia nilotica* × *Tilapia aurea*). *J. Agric. Food Chem.* 39: 237-241.
- Kamath, G.G., Lanier, T.C., Foegeding, E.A., and Hamann, D.D. 1992. Nondisulfide covalent cross-linking of myosin heavy chain in "setting" of Alaska pollock and Atlantic croaker surimi. *Food Biochem.* 16: 151-172.
- Kang, I.S., Lanier, T.C. 2000. Heat-induced softening of surimi gels by proteinases. In *Surimi and Surimi Seafoods*, J.W. Park (Ed.), p. 445-474. Marcel Dekker, Inc., New York.
- Kato, A., Nakai, S. 1980. Hydrophobicity determined by a fluorescence probe method and its correlation with surface properties of proteins. *Biochemi. Biophys. Acta.* 624: 13-20.
- Kishi, H., Nozawa, H., Seki, N. 1991. Reactivity of muscle transglutaminase on carp myofibrils and myosin B. *Nippon Suisan Gakkaishi.* 57: 1203-1210.
- Kumazawa, Y., Sano, K., Seguro, K., Yasueda, H., Nio, N., Motoki, M. 1997. Purification and characterization of transglutaminase from Japanese oyster (*Crassostrea gigas*). *J. Agric. Food Chem.* 45: 604-610.
- Laemmli, U.K. 1970. Cleavage of structural proteins during the assembly of the head of bacteriophage T4. *Nature.* 227: 680-685.
- Lanier, T.C. 2000. Surimi gelation chemistry. In *Surimi and Surimi Seafood*, J.W. Park (Ed.), p. 237-266. Marcel Dekker, Inc., New York.
- Lee, N., Park, J.W. 1998. Calcium compounds to improve gel functionality of Pacific whiting and Alaska pollock surimi. *J. Food Sci.* 63: 969-974.
- Lowry O.H., Rosebrough N.J., Farr A.L., Randall R.J. 1951. Protein measurement with folin phenol reagent. *J. Biol. Chem.* 193: 256-275.
- Makinodan, Y., Ikeda, S. 1971. Study on fish muscle protease V. On the existence of cathepsin A, B and C. *Bull. Jap. Soc. Sci. Fish.* 37: 1002-1006.
- Makinodan, Y., Toyohara, H., Niwa, E. 1985. Implication of muscle alkaline proteinase in the textural degradation of fish meat gel. *J. Food Sci.* 50: 1351-1355.
- Nozawa, H., Mamegoshi S., Seki N. 1997. Partial purification and characterization of six transglutaminase from ordinary muscles of various fishes and marine invertebrates. *Comp. Biochem. Physiol.* 118B: 313-317.

- Ogawa, M., Kanamura, J., Miyashita, H., Tamiya, T., Tsuchiya, T. 1995. Alpha-helical structure of fish actomyosin: changes during setting. *J Food Sci*, 60: 297-299.
- Ogawa, M., Nakamura, S., Horimoto, Y., An, H., Tsuchiya, T., Nakai, S. 1999. Raman spectroscopic study of changes in fish actomyosin during setting. *J. Agric. Food Chem.* 47: 3309-3318.
- SAS. 1996. Statistical Analysis System Software. Version 6.08. Cary: SAS Institute, Inc.
- Schwartz, W.N., Bird, J.W.C. 1977. Degradation of myofibrillar proteins by cathepsins B and D. *Biochem J.* 167: 811-820.
- Seymour, T. A., Morrissey, M. T., Peters, M. Y., An, H. 1994. Purification and characterization of Pacific whiting proteases. *J. Agric. Food Chem.* 42: 2421-2427.
- Sherekar, S.V., Gore, M.S., Ninjoor, V. 1988. Purification and characterization of cathepsin B from the skeletal muscle of freshwater fish, *Tilapia mossambica*. *J. Food Sci.* 53: 1018-1023.
- Takagi, J., Saito, Y., Kikuchi, T., Inada, Y. 1986. Modification of transglutaminase assay: use of ammonium sulfate to stop the reaction. *Anal. Biochem.* 153: 295-298.
- Toyohara, H., Kinoshita, M., Shimizu, Y. 1990. Proteolytic degradation of threadfin bream meat gel. *J. Food Sci.* 55: 259-260.
- Toyahara, H., Makinodan, Y. 1989. Comparison of calpain I and II from carp muscle. *Comp. Biochem Physiol* 92B: 577-581.
- Yamashita, M., Konagaya, S. 1990a. Purification and characterization of cathepsin L from white muscle of chum salmon, *Oncorhynchus keta*. *Comp. Biochem. Physiol.* 96B: 247-252.
- Yamashita, M., Konagaya, S. 1990b. Participation of cathepsin L into extensive softening of the muscle of chum salmon caught during spawning migration. *Nippon Suisan Gakkaishi.* 56: 1271-1277
- Yamashita, M., Konagaya, S. 1991. Hydrolytic action of salmon cathepsin B and L to muscle structural proteins in respect to muscle softening. *Nippon Suisan Gakkaishi.* 57: 1917-1922.
- Yasueda, H., Kumazawa, Y., Motoki, M. 1994. Purification and characterization of a tissue-type transglutaminase from red sea bream (*Pagrus major*). *Biosci. Biotechnol. Biochem.* 58: 2041-2045.
- Yongsawatdigul, J., Park, J.W., Kolbe, E., AbuDagga, Y., and Morrissey, M.T. 1995. Ohmic heating maximizes gel functionality of Pacific whiting surimi. *J. Food Sci.* 60: 10-14.

- Yongsawatdigul, J., Park, J. W., Virulhakul, P., Viratchakul, S. 2000. Proteolytic degradation of tropical tilapia. *J. Food Sci.* 65: 129-133.
- Yongsawatdigul, J., Worratao, A., Park, J. W. 2002. Effect of endogenous transglutaminase on threadfin bream surimi gelation. *J. Food Sci.* 67: 3258-3263.
- Yongsawatdigul, J., Park, J.W. 2003. Thermal denaturation and aggregation of threadfin bream actomyosin. *Food Chem.* 83: 406-416.
- Yongsawatdigul, J., Piyadhamviboon, P. 2004. Inhibition of autolytic activity of lizardfish surimi by proteinase inhibitors. *Food Chem.* 87: 447-455.
- www.fao.org Freshwater fish from aquaculture.
- www.fisheries.go.th. Yield of freshwater culture by species and type of culture, 2001.

ประวัตินักวิจัย

EDUCATION

Ph.D., Food Science and Technology, Oregon State University, USA, 1996.
 M.S., Food Science, University of Wisconsin-Madison, Madison, USA, 1992.
 B.S. (Honor), Food Technology, Chulalongkorn University,
 Thailand, 1989.

EXPERIENCE

- June 1999-Present **ASSISTANT PROFESSOR**
School of Food Technology
Suranaree University of Technology
Nakhon Ratchasima 30000, Thailand
- May 1997-June 1999 **LECTURER**
School of Food Technology
Suranaree University of Technology
Nakhon Ratchasima 30000, Thailand
- Feb. 1996-May 1997 **RESEARCH ASSOCIATE**
Department of Food Science and Technology
Seafood Laboratory
Oregon State University
Astoria, OR. USA.
- Sept. 1992-Jan 1996 **GRADUATE RESEARCH ASSISTANT**
Department of Food Science and Technology
Oregon State University
Corvallis, OR, USA.
- Sept. 1991-May 1992 **GRADUATE RESEARCH ASSISTANT**
Department of Food Science
Univeristy of Wisconsin-Madison
Madison, WI, USA.
- 1988-1990 **PRODUCTION SUPERVISOR**
 Leamthong Flour Mill Co.
 Samutprakarn, Thailand

HORNORS AND AWARDS

1995 Recipient of Research Associate Assistance Award from The American Institute of Fishery Research Biologists. USA.

1994 Recipient of Walter G. Jones Fisheries Development Memorial Award. Recognition of an outstanding graduate student who conducts research work contributing to fisheries development. Oregon State University, USA.

1994 Recipient of Graduate Paper Competition Award from Seafood Technology Division. Institute of Food Technologists. USA.

1988 Recipient of Outstanding Food Science Student from The Food Technologists Association of Thailand.

Member:

-Institute of Food Technologists, USA

-Food Science and Technology Association Thailand

FUNDED RESEARCH GRANTS

1. Factors affecting histamine in fish sauce fermentation

Funded by Suranaree University of Technology, Thailand (1999-2001).

Funding: 600,000 Baht

2. Proteinases and transglutaminase activity in freshwater fish species

Funded by Suranaree University of Technology, Thailand (2000-2001).

Funding: 500,000 Baht

3. Reduction of biogenic amines content during fish sauce fermentation

Funded by Suranaree University of Technology, Thailand (2001-2002).

Funding: 500,000 Baht

4. Influence of freshness quality and actomyosin denaturation on gel-forming ability of threadfin bream (*Nemipterus spp.*) muscle proteins

Funded by Thailand Research Fund, Bangkok, Thailand (1999-2000).

Funding: 400,000 Baht

5. Purification and characterization of transglutaminase from Tilapia (*Oreochromis niloticus*)

Funded by National Center for Genetic Engineering and Biotechnology, Bangkok, Thailand (2001-2002).

Funding: 450,000 Baht

6. Covalent cross-linking of threadfin bream muscle proteins by transglutaminase(s)

Funded by Thailand Research Fund, Bangkok, Thailand (2001-2003).

Funding: 1,080,000 Baht

7. **Inhibition of proteolysis and application of microbial transglutaminase in lizardfish surimi**
Funded by Internation Foundation for Science, Sweden (2002-2003).
Funding: US\$11,000
8. **Process development of fishball and fish sausage from freshwater fish species**
Funded by National Center for Genetic Engineering and Biotechnology, Bangkok, Thailand (2002-2004).
Funding: 750,000 Baht
9. **Biogenic amine formation in anchovies and fermented fish products**
Funded by Suranaree University of Technology, Thailand (2003-2005)
Funding: 990,000 Baht
10. **Acceleration of fish sauce production using starter cultures and proteinases**
Funded by National Center for Genetic Engineering and Biotechnology, Bangkok, Thailand (2003-2005)
Funding: 1,200,000 Baht
11. **Study in catalytic reaction of transglutaminase in threadfin bream surimi using MALDI-TOF**
Funded by Royal Golden Jubilee Ph.D. Scholarship, Thailand Research Fund, Bangkok, Thailand, in collaboration with Peter Sporns, Ph.D. of University of Alberta, Edmonton, Canada. (Scholarship provided to a prospective Ph.D. student to work with me and Dr. Sporns) (2002-2005).
12. **Conformation changes of muscle proteins from tropical fish species.**
Funded by Royal Golden Jubilee Ph.D. Scholarship, Thailand Research Fund, Bangkok, Thailand, in collaboration with Eunice Li-Chan, Ph.D. of University of British Columbia, Vancouver, Canada. (Scholarship provided to a prospective Ph.D. student to work with me and Dr. Sporns) (2003-2006).

SELECTED PUBLICATION

- Yongsawatdigul, J.** and Piyadhamviboon, P. 2005. Effect of microbial transglutaminase on autolysis and gelation of lizardfish surimi. *J. Sci Food Agric.* In press.
- Worratao, A. and **Yongsawatdigul, J.** 2005. Purification and characterization of transglutaminase from tropical tilapia (*Oreochromis niloticus*). *Food Chemistry.* In press.
- Rodtong, S., Nawong, S, **Yongsawatdigul, J.** 2005. Histamine accumulation and histamine-forming bacteria in Indain anchovy (*Stolephorus indicus*). *Food Microbiol.* In press.
- Yongsawatdigul, J.** and Park, J.W. 2004. Effect of alkaline and acid solubilization on gelation characteristics of rockfish proteins. *J. Food Sci.* 69(7):C499-505.

- Yongsawatdigul, J., Choi, Y.S., Udomporn, S.** 2004. Biogenic amines formation in fish sauce prepared from fresh and temperature-abused Indian anchovy (*Stolephorus indicus*). *J. Food Sci.* 69(4):FCT312-319.
- Yongsawatdigul, J. and Piyadhamviboon, P.** 2004. Inhibition of autolytic activity of lizardfish surimi by proteinase inhibitors. *Food Chem.* 87: 447-455.
- Yongsawatdigul, J. and Park, J.** 2004. Effect of alkali and acid solubilization on gelation characteristics of rockfish muscle proteins. *J. Food Sci.* 69(7): C499-505.
- Yongsawatdigul, J. and Park, J.W.** 2003. Thermal denaturation and aggregation of threadfin bream actomyosin. *Food Chem.* 83(3): 406-416.
- Worratao, A and Yongsawatdigul, J.** 2003. Cross-linking of actomyosin by crude tilapia (*Oreochromis niloticus*) transglutaminase. *J. Food Biochem.* 27: 35-51.
- Yongsawatdigul, J., Worratao, A., and Park, J.** 2002. Effect of endogenous transglutaminase on gelation of threadfin bream surimi. *J. Food Sci.* 67(9): 3258-3263.
- Yongsawatdigul, J. and Park, J.W.** 2002. Biochemical and conformation changes of actomyosin from threadfin bream stored in ice. *J. Food Sci.* 67(3): 985-990.
- Klesk, K., Yongsawatdigul, J., Park, J.W., Viratchakul, S., and Virulhakul, P.** 2000. Physical behavior of tilapia (*Oreochromis niloticus*) surimi gels at various thermal treatments as compared with Alaska pollock and Pacific whiting surimi. *J. Aquat. Food Prod.* 9: 91-104.
- Yongsawatdigul, J., Park, J.W., Virulhakul, P., and Viratchakul, S.** 2000. Proteolytic degradation of tropical tilapia surimi. *J. Food Sci.* 65: 129-133.
- Yongsawatdigul, J. and Park, J.W.** 1999. Thermal aggregation and dynamic rheological properties of Pacific whiting and cod myosin as affected by heating rate. *J. Food Sci.* 64: 679-683.
- Park, J.W. and Yongsawatdigul, J.** 1999. Gelation properties of fish proteins under ohmic heating. In *Quality Attributes of Muscle Foods*, (Eds.), Xiong et al. Kluwer Academic/Plenum Publishers, New York. p. 421-429.
- Park, J.W., Yongsawatdigul, J., and Kolbe, E.** 1998. Proteolysis and gelation of fish proteins under ohmic heating. In *Process-Induced Chemical Changes in Foods*, (Eds.), F. Shahidi, C.T. Ho, and V.C. Nguyen. pp25-34.
- Yongsawatdigul, J., Park, J.W., and Kolbe, E.** 1997. Degradation kinetics of myosin heavy chain of Pacific whiting surimi. *J. Food Sci.* 62: 724-728.
- Park, J.W., Mein, T.M., and Yongsawatdigul, J.** 1997. New developments in manufacturing of surimi and surimi seafood. *Food Rev. Int.* 13(4): 577-610
- Yongsawatdigul, J. and Park, J.W.** 1996. Linear heating rate affects gel formation of Alaska pollock and Pacific whiting. *J. Food Sci.* 61: 432-438.
- Yongsawatdigul, J., Park, J.W., Kolbe, E., AbuDagga, Y., and Morrissey, M.T.** 1995. Ohmic heating maximizes gel functionality of Pacific whiting surimi. *J. Food Sci.* 60: 10-14.
- Park, J.W., Yongsawatdigul, J., and Lin, T.M.** 1994. Rheological behavior and potential cross-linking of Pacific whiting surimi. *J. Food Sci.* 59: 773-776.

Book chapters

- Yongsawatdigul, J.** and Park, J.W. 2004. Gelation of threadfin bream surimi as affected by thermal denaturation, transglutaminase, and proteinase(s) activities. In *More Efficient Utilization of Fish and Fisheries Products*. M. Sakaguchi (Ed.) Elsevier, Oxford, UK.
- Park, J.W., **Yongsawatdigul, J.**, and Kolbe, E. 1998. Proteolysis and gelation of fish proteins under ohmic heating. In *Process-Induced Chemical Changes in Foods*, (Eds.), F. Shahidi, C.T. Ho, and V.C. Nguyen. Plenum Publishing Corp, New York. pp25-34.
- Park, J.W. and **Yongsawatdigul, J.** 1999. Gelation properties of fish proteins under ohmic heating. In *Quality Attributes of Muscle Foods*, (Eds.), Xiong et al. Kluwer Academic/Plenum Publishers, New York. p. 421-429.
- Yongsawatdigul, J.** 1998. Ohmic heating of surimi seafood. In *Advanced Technology in Surimi Seafood Manufacturing Workshop Manual*. August 18-20, 1998. Bangkok Thailand.

Scientific Presentation

International Meeting

- McGill, J., Yongsawatdigul, J., Park, J.W., Hunt, A.L. 2004. Quantitative analysis of myofibrillar proteins in commercial surimi seafood. **Oral presentation.** Institute of Food Technologists (IFT) Annual Meeting, July 12-16, 2004, Las Vegas, USA.
- Park, J.W., Choi, Y.J., Yongsawatdigul, J., Kim, Y.S., Thawornchinsombut, S. 2004. Biochemical and functional properties of isolated fish proteins from Pacific whiting and rockfish using pH shifts. **Symposium.** Institute of Food Technologists (IFT) Annual Meeting, July 12-16, 2004, Las Vegas, USA.
- Yongsawatdigul, J., Piyathamviboon, P., Worratao, A. 2003. Effect of protease inhibitors and microbial transglutaminase on gelation of lizardfish surimi. **Oral presentation.** Institute of Food Technologists (IFT) Annual Meeting, July 12-16, 2003, Chicago, USA.
- Yongsawatdigul, J., Rodtong, S., Choi, Y.J., Udornporn, S. 2003. Changes of biogenic amines during fish sauce fermentation. **Oral presentation.** Institute of Food Technologists (IFT) Annual Meeting, July 12-16, 2003, Chicago, USA.
- Worratao, A. and Yongsawatdigul, J. 2003. Purification and characterization of transglutaminase from tropical tilapia (*Oreochromis niloticus*). **Poster presentation.** Institute of Food Technologists (IFT) Annual Meeting, July 12-16, 2003, Chicago, USA.
- Worratao, A. and Yongsawatdigul, J. 2002. Biochemical characterization of transglutaminase from tropical tilapia (*Oreochromis niloticus*). **Oral presentation.** 7th International Conference on Transglutaminase and Protein Cross-linking Reaction, September 14-17, 2002, Ferrara, Italy.
- Yongsawatdigul, J. and Park, J.W. 2001. Biochemical changes of threadfin bream during ice storage and their effect on thermal denaturation pattern. **Oral presentation.** Institute of Food Technologists (IFT) Annual Meeting, June 23-27, 2001. New Orleans, USA.

- Yongsawatdigul, J.** and Park, J.W. 2001. Gelation characteristics of alkaline and acid solubilization of fish muscle proteins. **Oral presentation.** Institute of Food Technologists (IFT) Annual Meeting, June 23-27, 2001. , New Orleans, USA.
- Yongsawatdigul, J.**, Kim, Y.S., and Park, J.W. 2001. Biochemical and gelation properties of acid- and alkaline-aided solubilization of fish muscle proteins. **Oral presentation.** International Symposium on More Efficient Utilization of Fish and Fisheries Products, October 7-10, 2001, Kyoto, Japan
- Yongsawatdigul, J.** and Park, J.W. 2001. Gelation of threadfin bream surimi as affected by thermal denaturation, transglutaminase, and proteinase(s) activities. **Oral presentation.** International Symposium on More Efficient Utilization of Fish and Fisheries Products, October 7-10, 2001, Kyoto, Japan
- Worratao, A. and **Yongsawatdigul, J.** 2001. Actomyosin cross-linking induced by crude transglutaminase. **Poster presentation.** International Symposium on More Efficient Utilization of Fish and Fisheries Products, October 7-10, 2001, Kyoto, Japan
- Yongsawatdigul, J.**, Park, J.W., Virulhakul, P., and Viratchakul, S. 1999. Proteolytic degradation in tropical tilapia surimi. **Oral presentation.** Institute of Food Technologists (IFT) Annual Meeting, July 24-28, 1999, Chicago, USA.
- Klesk, K., **Yongsawatdigul, J.**, Park, J.W., Viratchakul, S, Virulhakul, P. 1999. Functional properties of tropical tilapia surimi compared with Alaska Pollock and Pacific whiting surimi. **Oral presentation.** Institute of Food Technologists (IFT) Annual Meeting, July 24-28, 1999, Chicago, USA.

*Name of presenter is underlined

Meeting held in Thailand

- Siringan, P., Raksakulthai, N., **Yongsawatdigul, J.** 2004. Biochemical characteristics of endogenous proteinases in Indian Anchovy (*Stolephorus indicus*) **Oral presentation.** The 4th National Symposium on Graduate Research, Aug 10-11, 2004, Chiang Mai, Thailand.
- Nawong, S., **Yongsawatdigul, J.**, and Rodtong, S. 2004. Histamine-forming bacteria from Jullien's mud carp (*Cirrhina jullieni*) **Oral presentation.** The 4th National Symposium on Graduate Research, Aug 10-11, 2004, Chiang Mai, Thailand.
- Siringan, P., Raksakulthai, N., **Yongsawatdigul, J.** 2004. Proteinase activity and autolytic activity of Indian anchovy (*Stolephorus indicus*). **Poster presentation.** The 6th Agro-industry Annual Meeting, May 28-29, 2004. Bangkok, Thailand.
- Phetploy, J. and **Yongsawatdigul, J.** 2004. Physico-chemical changes of actomyosin from some freshwater fish during frozen storage. **Poster presentation.** The 6th Agro-industry Annual Meeting, May 28-29, 2004. Bangkok, Thailand.
- Phunphiphud, V. and **Yongsawatdigul, J.** 2004. Total omega-3 fatty acids, iodine content, and emulsifying properties of freshwater fish species. **Poster presentation.** The 6th Agro-industry Annual Meeting, May 28-29, 2004. Bangkok, Thailand. (*The second place for the excellent poster presentation*)

- Piyadhamviboon, P., Yongsawatdigul, J., and Worratao, A. 2003. Effect of egg white, whey protein concentrate, and microbial transglutaminase on lizardfish surimi gel. **Oral presentation.** 29th Congress on Science and Technology of Thailand, 20-22 Oct, 2003. Khon Kean Univerisity.
- Nawong, S., Yongsawatdigul, J., and Rodtong, S. 2003. Isolation and identification of histamine forming bacteria from anchovy. **Poster presentation.** The 5th Agro-industry Annual Meeting, May 31-June 1, 2003. Bangkok, Thailand. (*Won the third prize award for poster presentation*)
- Yongsawatdigul, J. and Worratao, A. 2002. Role of endogenous transglutaminase on gelation of fish proteins. **Oral presentation.** The 4th Agro-industry Annual Meeting, May 30-June 1, 2002. Bangkok, Thailand.
- Worratao, A. and Yongsawatdigul, J. 2002. Autolytic activities of tilapia (*Oreochromis niloticus*) and rohu (*Labeo rohital*) **Oral presentation.** The 4th Agro-industry Annual Meeting, May 30-June 1, 2002. Bangkok, Thailand.
- Worratao, A. and Yongsawatdigul, J. 2002. Gelation protperties of lizardfish surimi induced by microbial transglutaminase. **Poster presentation.** The 28th Congress on Science and Technology, Bangkok, Thailand.
- Yongsawatdigul, J., Worratao, A., Park, J. 2001. Proteolytic and transglutaminase activities in threadfin bream surimi. **Oral presentation.** The 3rd Agro-industry Annual Meeting, May 30-June 1, 2001. Bangkok, Thailand.
- Worratao, A. and Yongsawatdigul, J. 2001. Cross-linking of actomyosin induced by crude tilapia transglutaminase. **Oral presentation.** The 3rd Agro-industry Annual Meeting, May 30-June 1, 2001. Bangkok, Thailand.

*Name of presenter is underlined